

SEMNALE, CIRCUITE SI SISTEME

Partea I

2003-2004

Curs: Prof. dr. ing. Marina Dana TOPA
Seminar & Laborator: Asist. ing. Ioana POPESCU

Structura disciplinei de Semnale, circuite si sisteme:

SCS I - sem.3 ~ Teoria Semnalelor – 2C 1S 1L

SCS II - sem. 4 ~ Teoria sistemelor – 2C 1S

SCS III - sem. 5 ~ Analiza si sint. circuitelor electrice – 2C 1S 2L

Nota finală:

SCS I & SCS III: $60\%E + 30\%L + 1p (+ \text{bonus} < 20\%)$

SCS II: $80\%E + 10\%S + 1p (+ \text{bonus} < 20\%)$

Examenul constă dintr-o probă scrisă și va viza cunoașterea teoriei și abilitatea rezolvării problemelor, în proporții aproximativ egale.

Proba scrisă va fi combinată: grilă + cerere de enunțuri sau expresii + rezolvare de probleme cu mersul complet + rezolvare de probleme doar cu rezultat.

Cunoștințele dobândite la SCS I și II trebuie stăpânite cel puțin până la examenul de SCS III, altfel se sancționează la examen, prin notare negativă.

Gafele monumentale ca și necunoașterea noțiunilor de matematică se sancționează, și ele, cu note negative.

Notele L și S vor fi acordate de asistenți, care pot propune și bonusuri pentru activitatea de la laborator și seminar.

Bibliografie pentru curs:

- V. Popescu, *Semnale, circuite și sisteme, Partea I. Teoria semnalelor*, Editura Casa Cartii de Stiinta, Cluj-Napoca, 2001.
- Gh. Cartianu, M. Săvescu, I. Constantin, D. Stanomir, *Semnale, circuite și sisteme*, Editura didactică și pedagogică, București, 1980.
- Adelaida Mateescu, *Semnale, circuite și sisteme*, Editura didactică și pedagogică, București 1984.
- Adelaida Mateescu, N. Dumitriu, L. Stanciu, *Semnale și sisteme. Aplicații în filtrarea semnalelor*, Editura Teora, București 2001.
- A.V. Oppenheim, A. S. Willsky, I. T. Young, *Signals and Systems*, Prentice-Hall, 1983.
- A. D. Poularikas, S. Seely, *Signals and Systems*, PWS Publishers, Boston, 1985.

Bibliografie pentru seminar:

- Adelaida Mateescu, D. Stanomir (coordonatori), *Probleme de analiza și sinteza circuitelor*, Editura tehnică, București, 1976.
- M. Săvescu, T. Petrescu, S. Ciochină, *Semnale, circuite și sisteme. Probleme*. Editura didactică și pedagogică, București, 1981.

Bibliografie pentru laborator:

- Ioana Popescu, Victor Popescu, Erwin Szopos, Marina Dana Țopa, *Semnale, circuite și sisteme. Îndrumător de laborator IV*, Editura Casa Cărții de Știință, Cluj-Napoca, 2003.

SCS I : Teoria semnalelor

Capitolul 1. **Introducere**

Capitolul 2. **O privire generală**

Capitolul 3. **Semnale periodice**

Capitolul 4. **Semnale aperiodice**

Capitolul 5. **Semnale eşantionate**

Capitolul 6. **Semnale modulate**

1. INTRODUCERE

- **SEMNAL** = o mărime fizică deterministă sau aleatoare, capabilă să transmită informație.
- **CIRCUIT** = un ansamblu de componente electrice și electronice, interconectate prin conductoare sau prin câmp electromagnetic, care transmit și prelucrează semnale electrice.
- **SISTEM** = un ansamblu de circuite interconectate în vederea unei funcționări unitare.

2. O PRIVIRE GENERALA

2.1 Transmisia informatiei prin semnale

2.2 Spectre si filtre

2.3 Clasificarea semnalelor

2.4 Aspecte energetice

2.1 Transmisia informatiei prin semnale

Semnale:

- **semnale utile** $x_u(t)$
- **perturbatii** $p(t)$

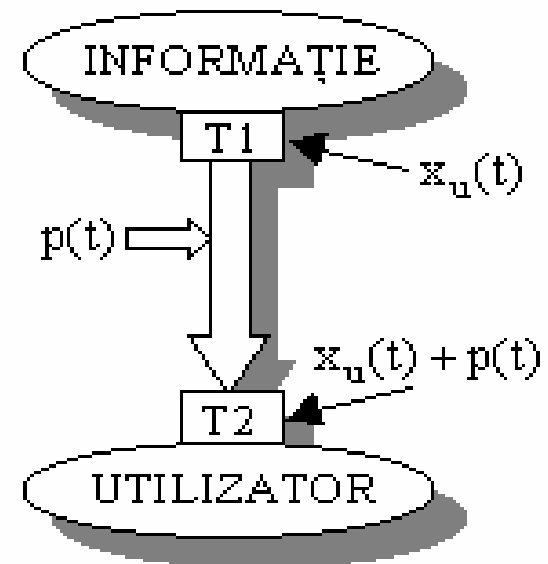


Figura 2.1. Transmisia informației prin semnale.

2.1 Transmisia informatiei prin semnale

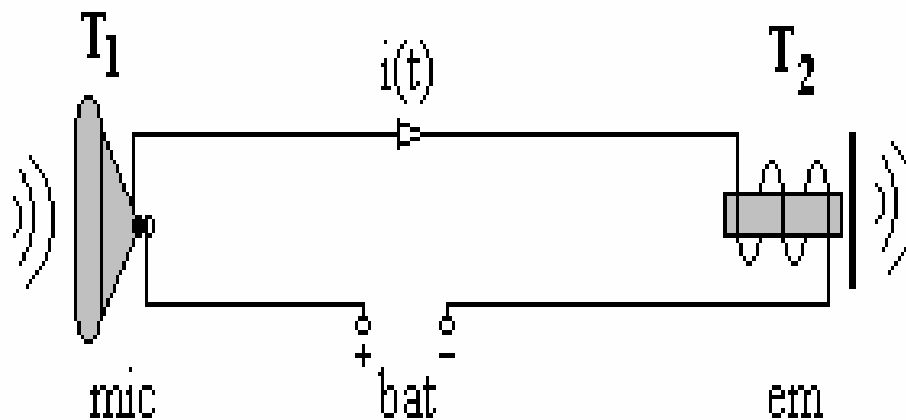


Figura 2.2. Legătură telefonică unilaterală.

2.1 Transmisia informației prin semnale

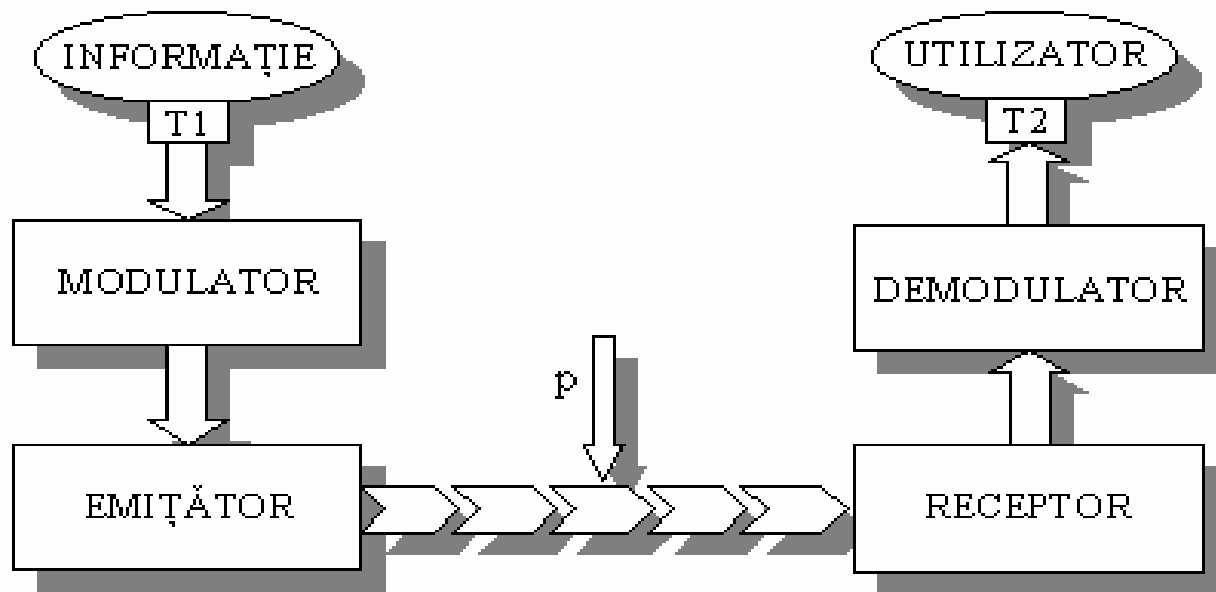


Figura 2.3. Sistem de comunicații radio, cu semnale modulate.

2.2 Spectre si filtre

Analiza semnalelor

- in timp;
- in frecventa - spectru;
- prin corelatie.

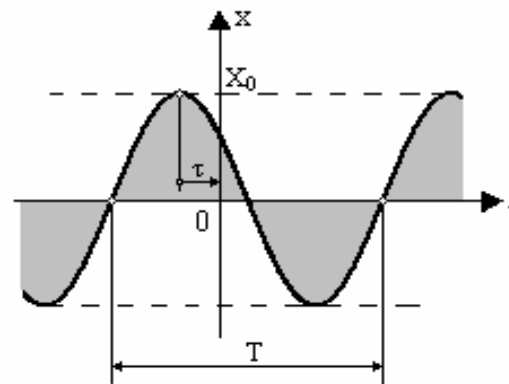


Figura 2.4. Graficul semnalului armonic

Exemplu:

$$x(t) = X_1 \cdot \cos(2\pi f_1 t + \varphi_{x1}) \quad (2.1)$$

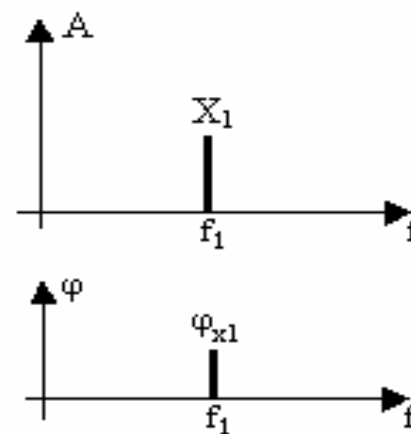


Figura 2.5. Spectrul semnalului armonic

2.2 Spectre si filtre

Spectrul unui semnal:

- Amplitudine $A > 0$
- Faza. $-\pi \leq \varphi \leq \pi$

$$x(t) = X_1 \cdot \cos(2\pi f_1 t + \varphi_{x1}) \quad (2.1)$$

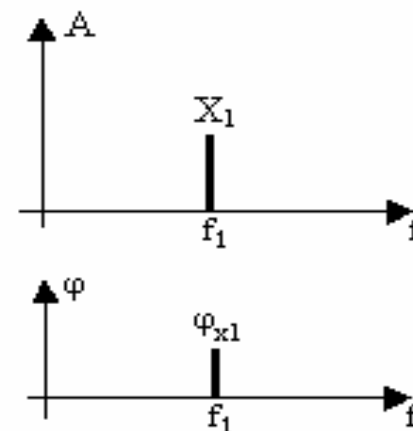
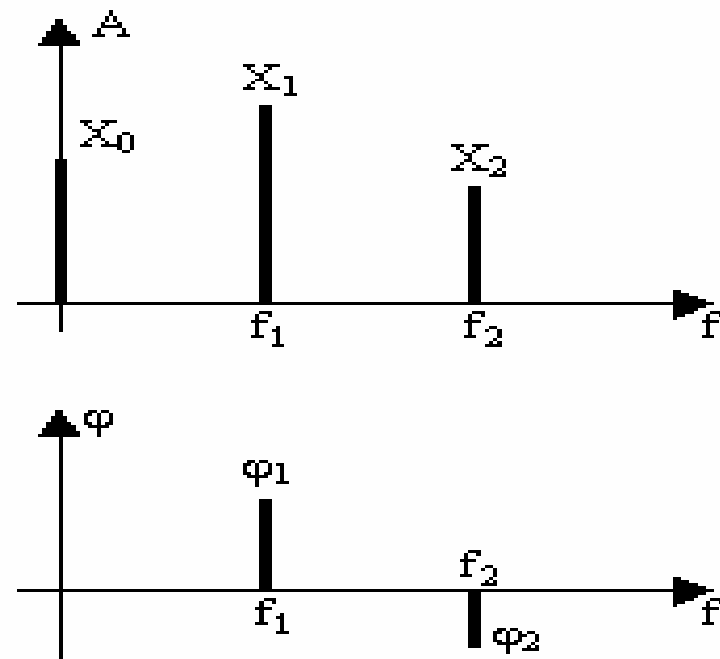


Figura 2.5. Spectrul semnalului armonic

2.2 Spectre si filtre

Exemplu:

$$x(t) = X_0 + X_1 \cos(2\pi f_1 t + \varphi_{x_1}) + X_2 \cos(2\pi f_2 t + \varphi_{x_2}) \quad (2.4)$$



X_0 – componenta continua

X_1, X_2 – componente armonice

$[0, f_2]$ – banda de frecventa

Figura 2.6. Spectrul semnalului (2.4).

2.2 Spectre si filtre

Frecventa negativa

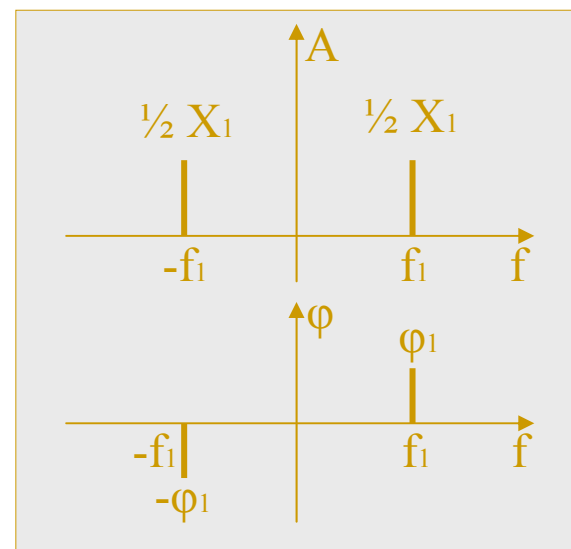
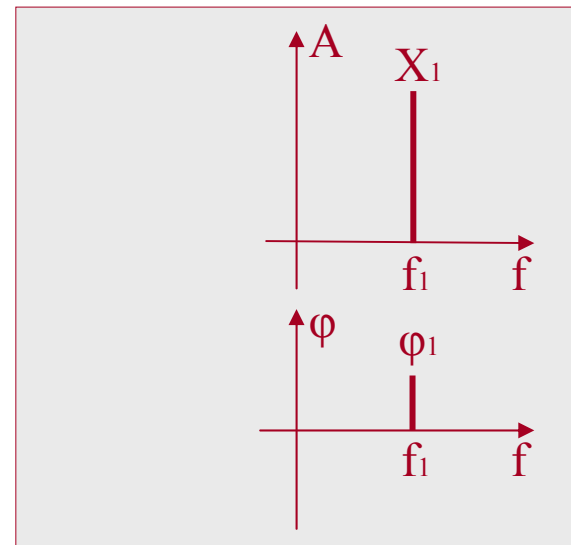
Reprezentare unilaterala a spectrului

$$x(t) = X_1 \cos(2\pi f_1 t + \varphi_1) =$$

Relatia lui Euler

$$= \frac{1}{2} \cdot X_1 \cdot e^{j\varphi_1} \cdot e^{j2\pi f_1 t} + \frac{1}{2} \cdot X_1 \cdot e^{-j\varphi_1} \cdot e^{-j2\pi f_1 t}$$

Reprezentare bilaterala a spectrului



2.2 Spectre si filtre

$$x(t) = \frac{1}{2} \cdot X_1 \cdot e^{j\varphi_1} \cdot e^{j2\pi f_1 t} + \frac{1}{2} \cdot X_1 \cdot e^{-j\varphi_1} \cdot e^{-j2\pi f_1 t}$$

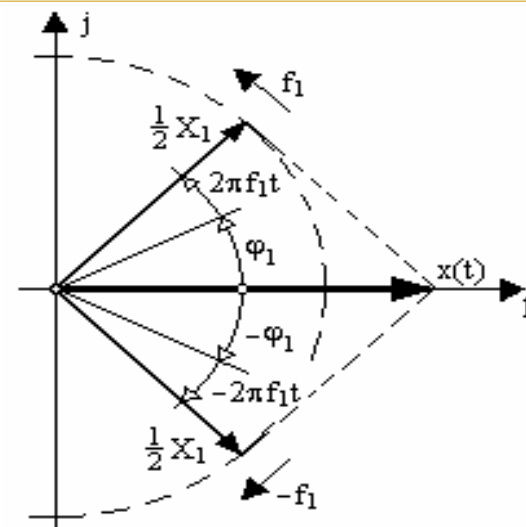


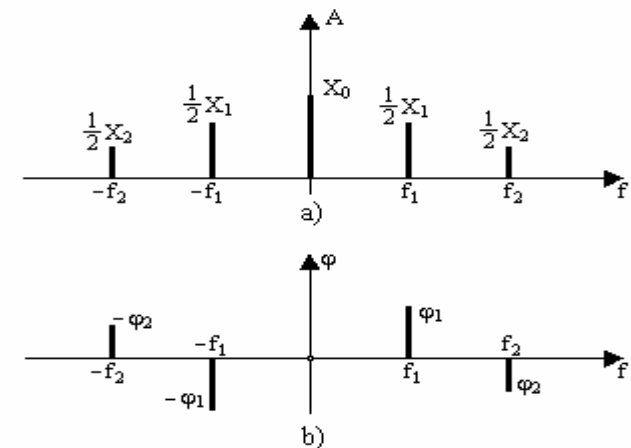
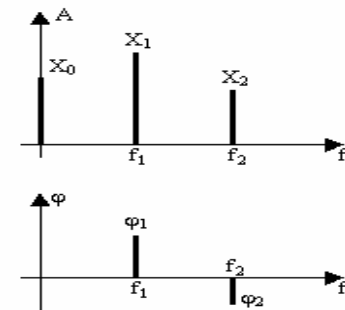
Figura 2.7. Reprezentare vectorială în planul complex a semnalului $x(t)$

2.2 Spectre si filtre

Reprezentare unilaterala a spectrului

$$\begin{aligned}
 x(t) &= X_0 + X_1 \cos(2\pi f_1 t + \varphi_{x_1}) + \\
 &+ X_2 \cos(2\pi f_2 t + \varphi_{x_2}) = \\
 &= X_0 + \frac{1}{2} X_1 e^{j\varphi_{x_1}} e^{j2\pi f_1 t} + \frac{1}{2} X_1 e^{-j\varphi_{x_1}} e^{-j2\pi f_1 t} + \\
 &+ \frac{1}{2} X_2 e^{j\varphi_{x_2}} e^{j2\pi f_2 t} + \frac{1}{2} X_2 e^{-j\varphi_{x_2}} e^{-j2\pi f_2 t}
 \end{aligned}$$

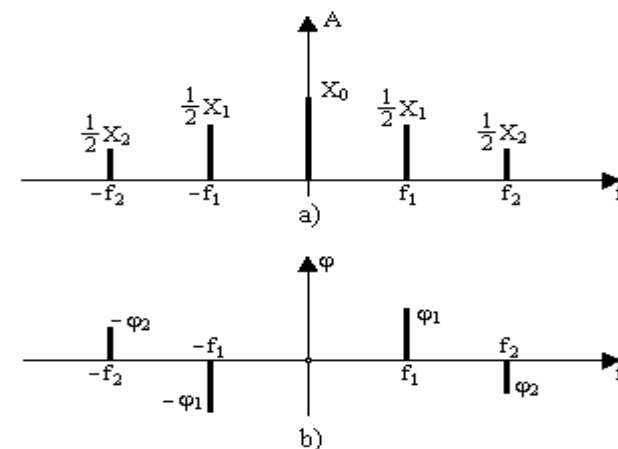
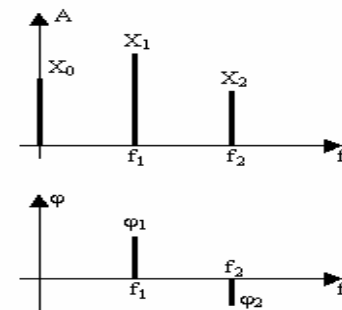
Reprezentare bilaterala a spectrului



2.2 Spectre si filtre

Reprezentarile spectrului

- Spectrul de amplitudini in reprezentare bilaterala prezinta o simetrie para, avand amplitudinile reduse la jumatate fata de reprezentarea unilaterala.
- Spectrul de faze in reprezentare bilaterala prezinta o simetrie impară, semiplanul drept reproducand fara modificari valorile din reprezentarea unilaterala.
- Componenta continua apare cu aceeasi valoare in ambele reprezentari.



SCS I : Teoria semnalelor

Capitolul 1. **Introducere**

Capitolul 2. *O privire generală*

Capitolul 3. **Semnale periodice**

Capitolul 4. **Semnale aperiodice**

Capitolul 5. **Semnale eşantionate**

Capitolul 6. **Semnale modulate**

2. O PRIVIRE GENERALA

2.1 Transmisia informatiei prin semnale

2.2 Spectre si filtre

2.3 Clasificarea semnalelor

2.4 Aspecte energetice

2.2 Spectre si filtre

2.2.1 Spectrul armonic (unilateral) al semnalelor

2.2.2 Notiunea de frecventa negativa

2.2.3 Reprezentarea bilaterala a spectrului

2.2.4 Caracteristici de frecventa (filtre)

2.2.5 Raspunsul sistemelor la semnale

2.2 Spectre si filtre

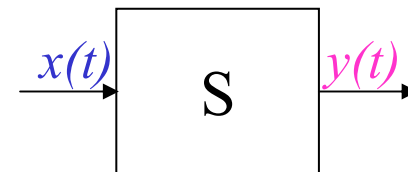
2.2.4 Caracteristici de frecventa (filtre)

Liniaritatea:

Daca $x_1(t) \rightarrow y_1(t)$
 $x_2(t) \rightarrow y_2(t)$

Atunci

$$x(t) = \alpha x_1(t) + \beta x_2(t) \rightarrow y(t) = \alpha y_1(t) + \beta y_2(t)$$



*Figura 2.9. Sistem
liniar cu o intrare și o
ieșire.*

$$x(t) = X_1 \cdot \cos(2\pi f_1 t + \varphi_{x_1}) \rightarrow y(t) = Y_1 \cdot \cos(2\pi f_1 t + \varphi_{y_1})$$

2.2 Spectre si filtre

$$x(t) = \frac{1}{2} \cdot X_1 \cdot e^{j\varphi_{x_1}} \cdot e^{j2\pi f_1 t} + \frac{1}{2} \cdot X_1 \cdot e^{-j\varphi_{x_1}} \cdot e^{-j2\pi f_1 t}$$

$$y(t) = \frac{1}{2} \cdot Y_1 \cdot e^{j\varphi_{y_1}} \cdot e^{j2\pi f_1 t} + \frac{1}{2} \cdot Y_1 \cdot e^{-j\varphi_{y_1}} \cdot e^{-j2\pi f_1 t}$$

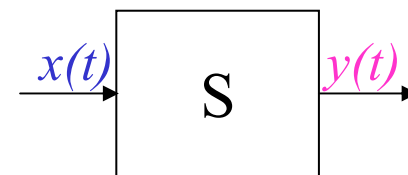


Figura 2.9. Sistem
liniar cu o intrare și o
ieșire.

$$H(f_1) = \frac{Y_1}{X_1} \cdot e^{j(\varphi_{y_1} - \varphi_{x_1})} = |H(f_1)| \cdot e^{j\varphi(f_1)}$$

$$H(-f_1) = \frac{Y_1}{X_1} \cdot e^{-j(\varphi_{y_1} - \varphi_{x_1})} = |H(-f_1)| \cdot e^{j\varphi(-f_1)}$$



$$|H(f_1)| = |H(-f_1)|$$

$$\varphi(f_1) = -\varphi(-f_1)$$

2.2 Spectre si filtre

Raspunsul in frecventa

$$H(f) = \left. \frac{y(t)}{x(t)} \right|_{x(t)=e^{j2\pi ft}}$$

Răspunsul la frecvență al unui sistem real este o mărime **complexă**, funcție de frecvență, care:

- prin **modulul** sau, exprimă **amplificarea** sistemului la frecvența respectivă;
- prin **argumentul** sau, exprimă **defazajul** semnalului armonic de ieșire față de semnalul de intrare, la frecvența respectivă;
- prezintă simetria complex–conjugată.

2.2 Spectre si filtre

Caracteristici de frecvență

- Modulul raspunsului in frecventa reprezintă **caracteristica amplificării** sistemului;

$$|H(f)| = \frac{Y_1}{X_1}$$

- Argumentul raspunsului in frecventa reprezinta **caracteristica defazajului**.

$$\arg\{H(f)\} = \varphi_{y_1} - \varphi_{x_1} = \varphi(f)$$

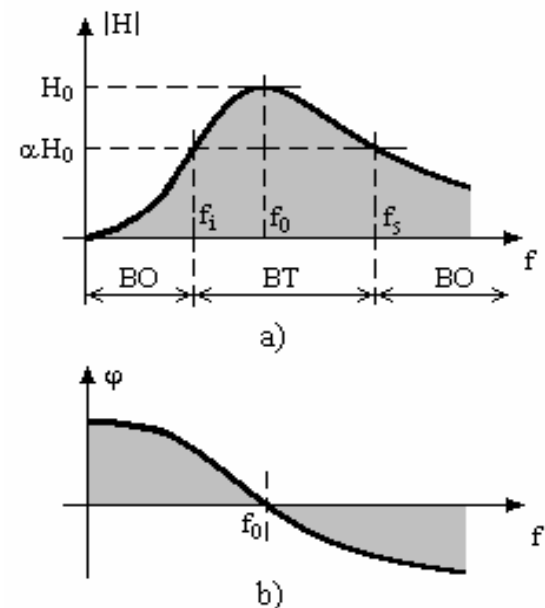


Figura 2.10. Exemplu de caracteristici de frecvență

2.2 Spectre si filtre

Filtru de frecvență = sistem
selectiv in frecventa

- BT = banda de trecere
- BO = banda de oprire

Filtre elementare:

- Trece-jos FTJ
- Trece-sus FTS
- Trece-banda FTB
- Opreste-banda FOB

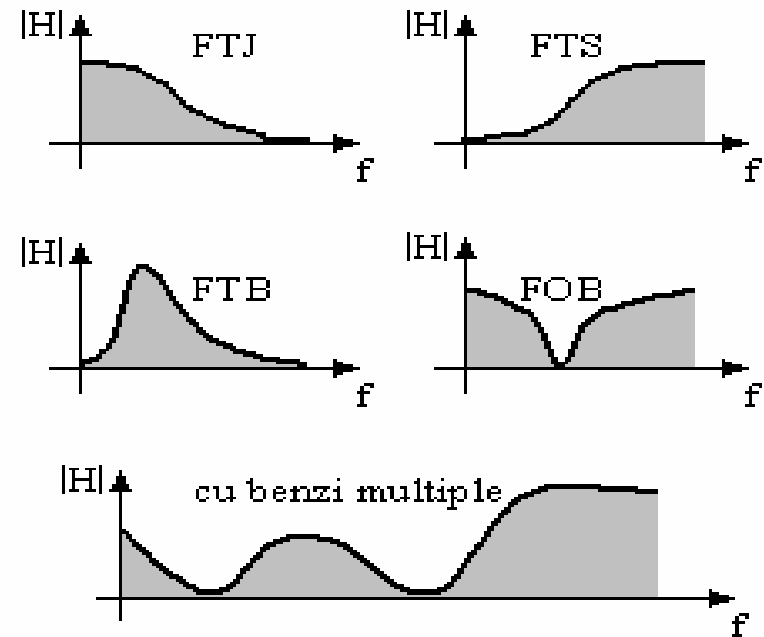


Figura 2.11. Aspecte tipice de caracteristici de frecvență.

2.3 Spectre si filtre

2.2.5 Raspunsul sistemelor la semnale

Daca
$$x(t) = X_0 + \sum_{k=1}^N X_k \cos(2\pi f_k t + \varphi_{x_k})$$

Atunci

$$y(t) = H(0)X_0 + \sum_{k=1}^N |H(f_k)| \cdot X_k \cos(2\pi f_k t + \varphi_{x_k} + \arg\{H(f_k)\})$$

2.3 Clasificarea semnalelor

2.3.1 Caracterul determinist

2.3.2 Criteriul periodicitatii

2.3.3 Criteriul continuitatii

2.3.4 Alte criterii de clasificare

2.3 Clasificarea semnalelor

2.3.1 Caracterul determinist

Semnale

- deterministe;
- aleatoare.

2.3 Clasificarea semnalelor

2.3.2 Criteriul periodicitatii

Un semnal este *periodic* dacă poate fi găsit un interval T , astfel încât:

$$x(t) = x(t+T) \text{ pentru orice } t \in \mathbb{R}$$

Cea mai mică valoare a lui T care verifică această relație = perioada.

Semnalul periodic poate fi descris de

$$x(t) = \sum_{k=-\infty}^{\infty} x_1(t-kT)$$

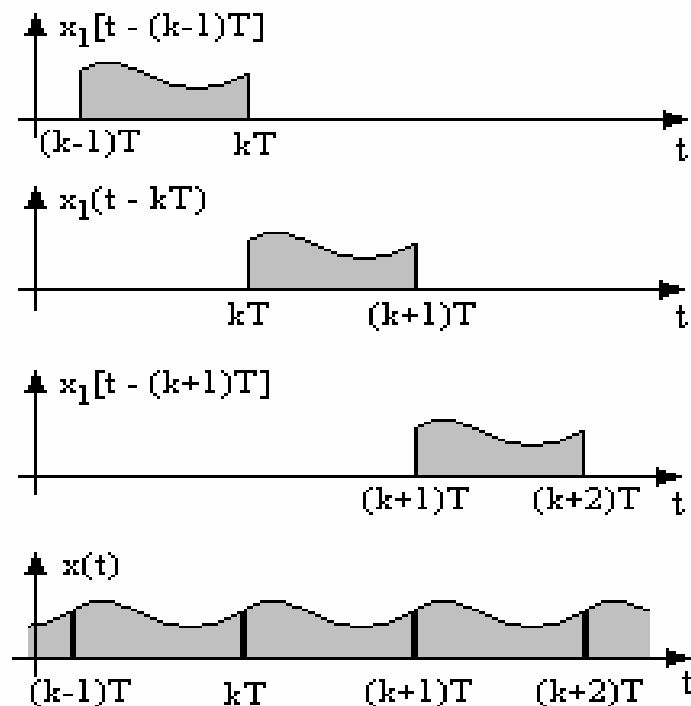


Figura 2.13. Compunerea semnalului periodic din descrierile pe o perioadă.

2.3 Clasificarea semnalelor

2.3.2 Criteriul periodicitatii

Semnale deterministe

- periodice:

- armonice; $x(t) = X_1 \cos(2\pi f_1 t + \varphi_{x_1})$

- nearmonice. $x(t) = X_0 + \sum_{n=1}^N X_n \cos(2\pi n f_1 t + \varphi_n)$

- aperiodice:

- cvasiperiodice; $x(t) = X_0 + \sum_{n=1}^N X_n \cos(2\pi f_n t + \varphi_n)$

- impulsuri.

2.3 Clasificarea semnalelor

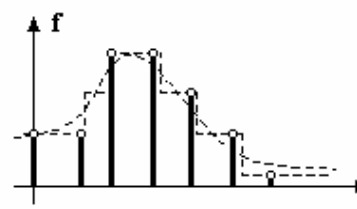
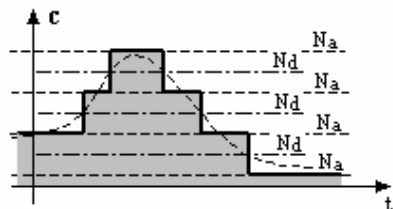
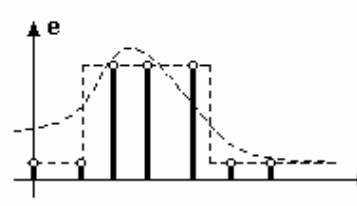
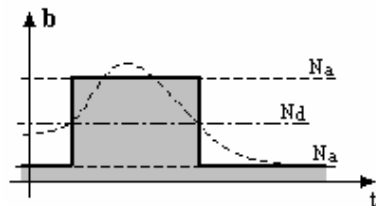
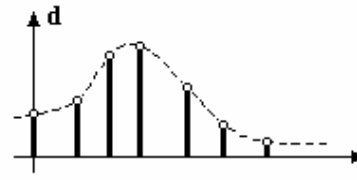
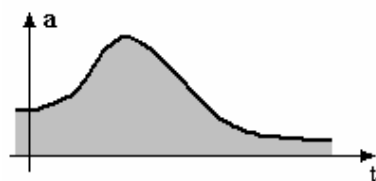
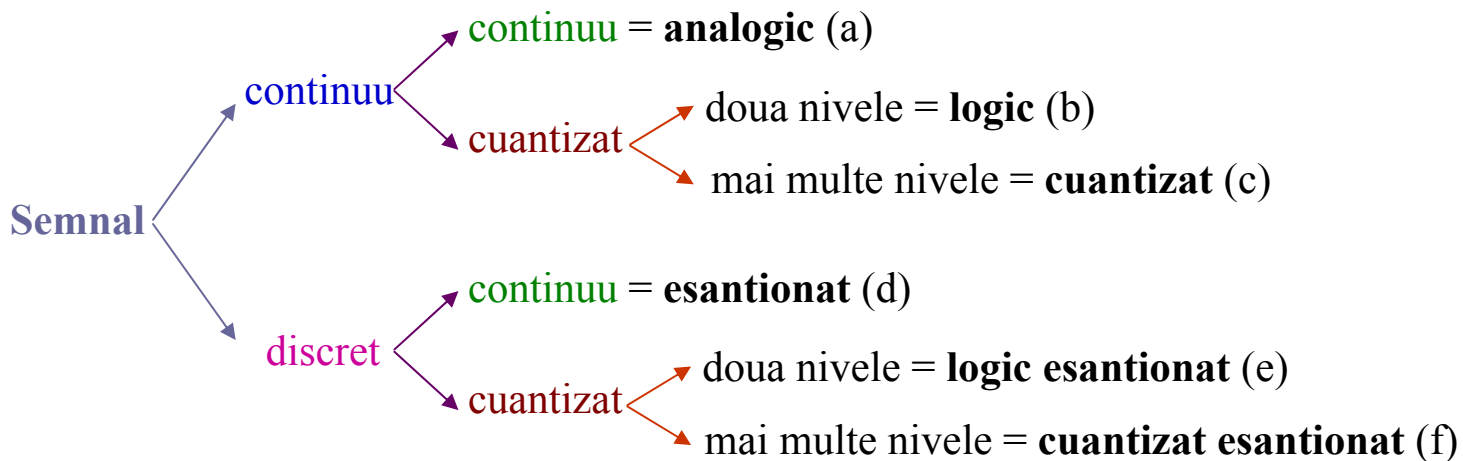
2.3.3 Criteriul continuitatii

⇒ în domeniul timp:

- continuu;
- discret.

⇒ în domeniul valorilor

- continuu;
- cuantizat.



2.3 Clasificarea semnalelor

2.3.4 Alte criterii de clasificare

Semnale

- de banda larga – $B \sim f_0$
- de banda ingusta – $B \ll f_0$

Semnale

- de frecventa joasa
- de frecventa medie
- de frecventa inalta

2.4 Aspecte energetice

2.4.1 Energia (puterea) de semnal

2.4.2 Puterea semnalelor armonice

2.4.3 Calculul puterii si a energiei in domeniul timp

2.4 Aspecte energetice

2.4.1 Energia (puterea) de semnal = energia (puterea) pe care semnalul electric ar dezvolta-o într-o rezistență unitară.

⇒ *pt. semnale periodice* - energia totală este infinită; puterea medie este finită → **semnale de putere**

⇒ *pt. semnale aperiodice* - energia totală este finită; puterea medie este nulă → **semnale de energie**

2.4 Aspecte energetice

2.4.2 Puterea semnalelor armonice

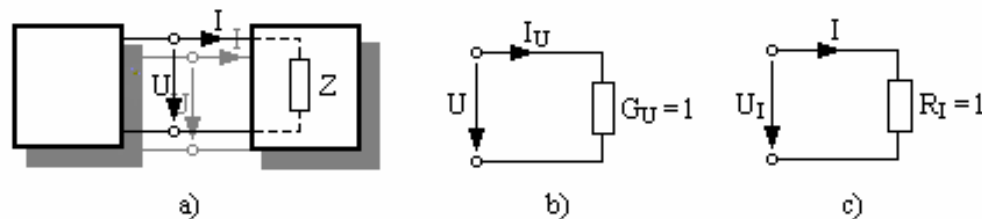


Fig.2.16. Secțiune printr-un lanț de transmisie.

$$\underline{U} = \underline{Z} \underline{I}, \text{ unde: } \underline{Z} = R_z + jX_z$$

$$P_z = \frac{1}{2} R_z \cdot |\underline{I}|^2 = \frac{1}{2} R_z \cdot I^2 = \frac{1}{2} G_z \cdot |\underline{U}|^2 = \frac{1}{2} G_z \cdot U^2$$

$$P_U = \frac{1}{2} G_U \cdot U^2 = \frac{1}{2} U^2; \quad P_I = \frac{1}{2} R_I \cdot I^2 = \frac{1}{2} I^2.$$

2.4 Aspecte energetice

Puterea de semnal a unui semnal armonic, de amplitudine X , se exprimă prin relația:

$$P = \frac{1}{2} X^2 \quad (2.27)$$

Pentru componenta continuă, puterea se calculează similar, dar fără factorul $1/2$:

$$P_0 = X_0^2 \quad (2.28)$$

2.4 Aspecte energetice

2.4.3 Calculul puterii și a energiei în domeniul timp

Energia totală de semnal în intervalul (t_1, t_2)

$$W_{1,2} = \int_{t_1}^{t_2} x^2(t) dt$$

\Rightarrow pt. semnale periodice

$$W_T = \int_T x^2(t) dt, \quad P = \frac{1}{T} \int_T x^2(t) dt.$$

\Rightarrow pt. semnale aperiodice

$$W_{tot} = \int_{-\infty}^{\infty} x^2(t) dt.$$

SCS I : Teoria semnalelor

Capitolul 1. **Introducere**

Capitolul 2. *O privire generală*

Capitolul 3. **Semnale periodice**

Capitolul 4. **Semnale aperiodice**

Capitolul 5. **Semnale eşantionate**

Capitolul 6. **Semnale modulate**

2. O PRIVIRE GENERALA

2.1 Transmisia informatiei prin semnale

2.2 Spectre si filtre

2.3 Clasificarea semnalelor

2.4 Aspecte energetice

2.3 Clasificarea semnalelor

2.3.1 Caracterul determinist

2.3.2 Criteriul periodicitatii

2.3.3 Criteriul continuitatii

2.3.4 Alte criterii de clasificare

2.3 Clasificarea semnalelor

2.3.2 Criteriul periodicitatii

Semnale deterministe

- periodice:

- armonice; $x(t) = X_1 \cos(2\pi f_1 t + \varphi_{x_1})$

- nearmonice. $x(t) = X_0 + \sum_{n=1}^N X_n \cos(2\pi n f_1 t + \varphi_n)$

- aperiodice:

- cvasiperiodice; $x(t) = X_0 + \sum_{n=1}^N X_n \cos(2\pi f_n t + \varphi_n)$

- impulsuri.

2.3 Clasificarea semnalelor

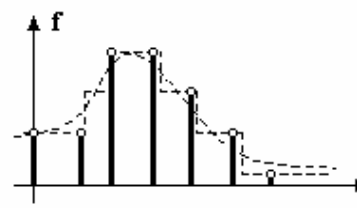
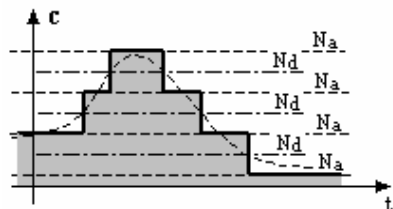
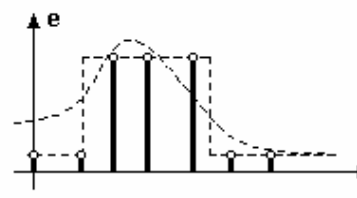
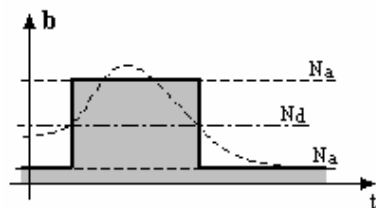
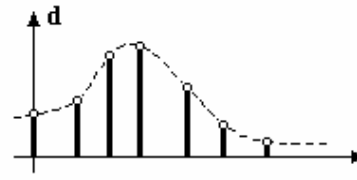
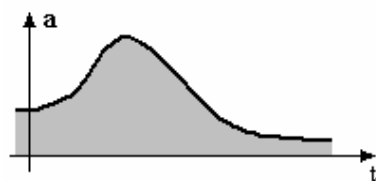
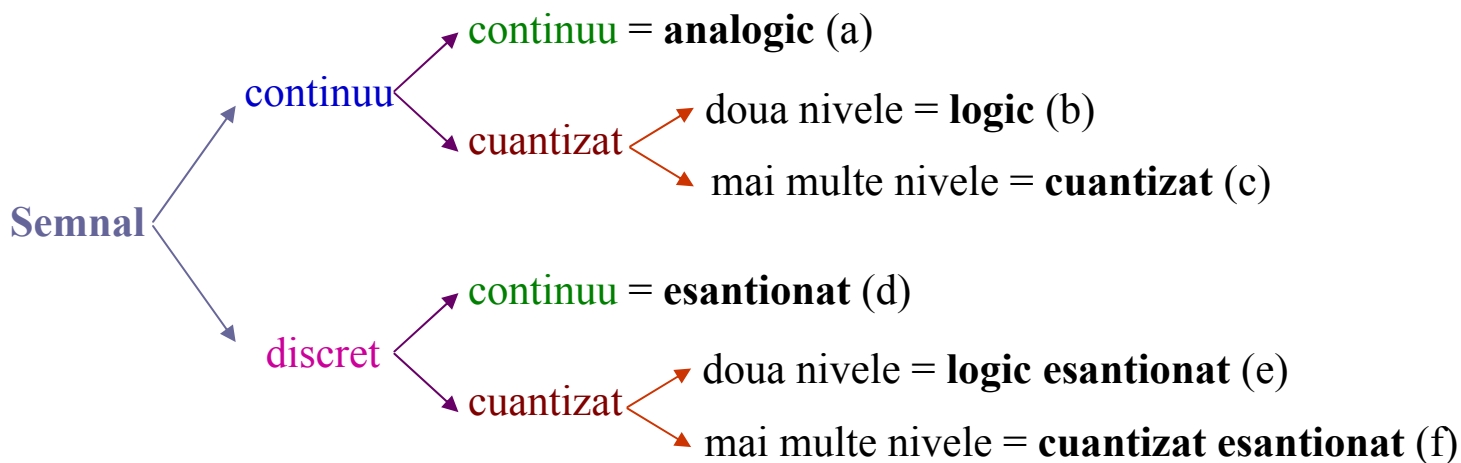
2.3.3 Criteriul continuitatii

⇒ în domeniul timp:

- continuu;
- discret.

⇒ în domeniul valorilor

- continuu;
- cuantizat.



2.3 Clasificarea semnalelor

2.3.4 Alte criterii de clasificare

Semnale

- de banda larga – $B \sim f_0$
- de banda ingusta – $B \ll f_0$

Semnale

- de frecventa joasa
- de frecventa medie
- de frecventa inalta

2.4 Aspecte energetice

2.4.1 Energia (puterea) de semnal

2.4.2 Puterea semnalelor armonice

2.4.3 Calculul puterii si a energiei in domeniul timp

2.4 Aspecte energetice

2.4.1 Energia (puterea) de semnal = energia (puterea) pe care semnalul electric ar dezvolta-o într-o rezistență unitară.

⇒ *pt. semnale periodice* - energia totală este infinită; puterea medie este finită → **semnale de putere**

⇒ *pt. semnale aperiodice* - energia totală este finită; puterea medie este nulă → **semnale de energie**

2.4 Aspecte energetice

2.4.2 Puterea semnalelor armonice

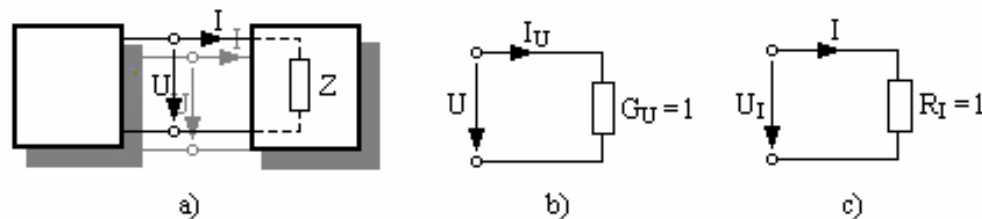


Fig.2.16. Secțiune printr-un lanț de transmisie.

$$\underline{U} = \underline{Z} \underline{I}, \text{ unde: } \underline{Z} = R_z + jX_z$$

$$P_z = \frac{1}{2} R_z \cdot |\underline{I}|^2 = \frac{1}{2} R_z \cdot I^2 = \frac{1}{2} G_z \cdot |\underline{U}|^2 = \frac{1}{2} G_z \cdot U^2$$

$$P_U = \frac{1}{2} G_U \cdot U^2 = \frac{1}{2} U^2; \quad P_I = \frac{1}{2} R_I \cdot I^2 = \frac{1}{2} I^2.$$

2.4 Aspecte energetice

Puterea de semnal a unui semnal armonic, de amplitudine X , se exprimă prin relația:

$$P = \frac{1}{2} X^2 \quad (2.27)$$

Pentru componenta continuă, puterea se calculează similar, dar fără factorul $1/2$:

$$P_0 = X_0^2 \quad (2.28)$$

2.4 Aspecte energetice

2.4.3 Calculul puterii și a energiei în domeniul timp

Energia totală de semnal în intervalul (t_1, t_2)

$$W_{1,2} = \int_{t_1}^{t_2} x^2(t) dt$$

\Rightarrow pt. semnale periodice

$$W_T = \int_T x^2(t) dt, \quad P = \frac{1}{T} \int_T x^2(t) dt.$$

\Rightarrow pt. semnale aperiodice

$$W_{tot} = \int_{-\infty}^{\infty} x^2(t) dt.$$

3. SEMNALE PERIODICE

3.1 Seturi de funcții ortogonale

3.2 Analiza armonică a semnalelor periodice

3.3 Metoda delta – periodic

3.12 Seturi de funcții ortogonale

Dezvoltare de tip *Fourier*:

$$x(t) = \sum_k a_k g_k(t)$$

- seria să fie convergentă;
- coeficienții a_k să fie relativ ușor de determinat și independenți unul de celălalt;
- funcțiile elementare să fie simplu de manevrat și adecvate scopului analizei.

⇒ utilizarea de seturi de funcții ortogonale

3.1 Seturi de funcții ortogonale

Un set de funcții $\{g_k(t)\}$ este **ortogonal** dacă:

$$\int_T g_i(t) \cdot g_j^*(t) dt = \begin{cases} N^2, & \text{pentru } i = j \\ 0, & \text{pentru } i \neq j \end{cases} \quad (3.2)$$

unde:

- T este domeniul de ortogonalitate;
- $*$ = complex-conjugat;
- N reprezintă norma setului de funcții. ; dacă $N = 1$, setul este orto-normat.

Un *set complet* de funcții elementare pentru o clasă de semnale este un set cu care se poate analiza orice semnal din acea clasă.

3.1 Seturi de funcții ortogonale

Daca se considera o dezvoltare de tip *Fourier*:

$$x(t) = \sum_k a_k g_k(t),$$

atunci coeficientii *Fourier* se calculeaza cu:

$$a_n = \frac{1}{N^2} \int_T x(t) \cdot g_n^*(t) dt.$$

3.1 Seturi de funcții ortogonale

Se considera dezvoltările de tip *Fourier*:

$$x(t) = \sum_k a_k g_k(t), \quad \text{unde} \quad a_n = \frac{1}{N^2} \int_T x(t) \cdot g_n^*(t) dt$$

$$x(t) = \sum_k b_k g_k(t).$$

Presupunem $b_k \neq a_k$.

3.1 Seturi de funcții ortogonale

Eroarea medie patratică:

$$\begin{aligned}
 \varepsilon^2 &= \frac{1}{T} \int_T [x(t) - \sum_k b_k g_k(t)]^2 dt = \\
 &= \frac{1}{T} \int_T x^2(t) dt - \frac{2}{T} \sum_k b_k \int_T x(t) g_k(t) dt + \frac{1}{T} \int_T [\sum_k b_k g_k(t)]^2 dt = \\
 \varepsilon^2 &= \frac{1}{T} \cdot \int_T x^2(t) dt - \frac{2N^2}{T} \cdot \sum_k a_k b_k + \frac{N^2}{T} \cdot \sum_k b_k^2 \pm \frac{N^2}{T} \cdot \sum_k a_k^2 = \\
 &= \frac{1}{T} \cdot \int_T x^2(t) dt - \frac{N^2}{T} \cdot \sum_k a_k^2 + \frac{N^2}{T} \cdot \sum_k (a_k - b_k)^2
 \end{aligned}$$



3.1 Seturi de funcții ortogonale

Egalitatea lui Parseval:

$$\frac{N^2}{T} \cdot \sum_k a_k^2 = \frac{1}{T} \cdot \int_T x^2(t) dt$$

→ Un set de funcții ortogonale este *complet* în raport cu o clasă de semnale, dacă egalitatea lui Parseval se verifică. \Leftrightarrow **Suma puterilor componentelor este egală cu puterea semnalului analizat.**

3.2 Analiza armonică a semnalelor periodice

3.2.1 Seria *Fourier* armonica

3.2.2 Spectrul *Fourier* armonic

3.2.3 Proprietățile SFA

3.2 Analiza armonică a semnalelor periodice

3.2.1 Seria *Fourier* armonica

Set de functii: $\frac{1}{2}$; $\cos(2\pi n f_1 t)$; $\sin(2\pi n f_1 t)$; *pentru* : $n = \overline{1, \infty}$.

Forma trigonometrica SFA:

$$x(t) = \frac{1}{2} C_0 + \sum_{n=1}^{\infty} C_n \cos(2\pi n f_1 t) + \sum_{n=1}^{\infty} S_n \sin(2\pi n f_1 t)$$

$$\text{unde } C_0 = \frac{2}{T} \cdot \int_T x(t) dt ; C_n = \frac{2}{T} \cdot \int_T x(t) \cos(2\pi n f_1 t) dt ; S_n = \frac{2}{T} \cdot \int_T x(t) \sin(2\pi n f_1 t) dt$$

Forma armonica a SFA:

$$x(t) = A_0 + \sum_{n=1}^{\infty} A_n \cos(2\pi n f_1 t + \varphi_n)$$

$$\text{unde } A_0 = \frac{C_0}{2} ; A_n = \sqrt{C_n^2 + S_n^2} ; \varphi_n = - \arctg \frac{S_n}{C_n}$$

Forma complexa a SFA:

$$x(t) = A_0 + \frac{1}{2} \sum_{n=-\infty}^{\infty} A_{nc} e^{j2\pi n f_1 t}$$

$$\text{unde } A_{nc} = \frac{2}{T} \int_T x(t) e^{-j2\pi n f_1 t} dt, A_{nc} = C_n - j \cdot S_n, |A_{nc}| = A_n ; \arg \{A_{nc}\} = \varphi_n.$$

SCS I : Teoria semnalelor

Capitolul 1. **Introducere**

Capitolul 2. **O privire generală**

Capitolul 3. ***Semnale periodice***

Capitolul 4. **Semnale aperiodice**

Capitolul 5. **Semnale eşantionate**

Capitolul 6. **Semnale modulate**

3. SEMNALE PERIODICE

3.1 Seturi de funcții ortogonale

3.2 Analiza armonică a semnalelor periodice

3.3 Metoda delta – periodic

3.12 Seturi de funcții ortogonale

Dezvoltare de tip *Fourier*:

$$x(t) = \sum_k a_k g_k(t)$$

- seria să fie convergentă;
- coeficienții a_k să fie relativ ușor de determinat și independenți unul de celălalt;
- funcțiile elementare să fie simplu de manevrat și adecvate scopului analizei.

⇒ utilizarea de seturi de funcții ortogonale

3.1 Seturi de funcții ortogonale

Un set de funcții $\{g_k(t)\}$ este **ortogonal** dacă:

$$\int_T g_i(t) \cdot g_j^*(t) dt = \begin{cases} N^2, & \text{pentru } i = j \\ 0, & \text{pentru } i \neq j \end{cases} \quad (3.2)$$

unde:

- T este domeniul de ortogonalitate;
- $*$ = complex-conjugat;
- N reprezintă norma setului de funcții. ; dacă $N = 1$, setul este orto-normat.

Un *set complet* de funcții elementare pentru o clasă de semnale este un set cu care se poate analiza orice semnal din acea clasă.

3.1 Seturi de funcții ortogonale

Daca se considera o dezvoltare de tip *Fourier*:

$$x(t) = \sum_k a_k g_k(t),$$

atunci coeficientii *Fourier* se calculeaza cu:

$$a_n = \frac{1}{N^2} \int_T x(t) \cdot g_n^*(t) dt.$$

3.1 Seturi de funcții ortogonale

Se considera dezvoltările de tip *Fourier*:

$$x(t) = \sum_k a_k g_k(t), \quad \text{unde} \quad a_n = \frac{1}{N^2} \int_T x(t) \cdot g_n^*(t) dt$$

$$x(t) = \sum_k b_k g_k(t).$$

Presupunem $b_k \neq a_k$.

3.1 Seturi de funcții ortogonale

Eroarea medie patratică:

$$\begin{aligned}
 \varepsilon^2 &= \frac{1}{T} \int_T [x(t) - \sum_k b_k g_k(t)]^2 dt = \\
 &= \frac{1}{T} \int_T x^2(t) dt - \frac{2}{T} \sum_k b_k \int_T x(t) g_k(t) dt + \frac{1}{T} \int_T [\sum_k b_k g_k(t)]^2 dt = \\
 \varepsilon^2 &= \frac{1}{T} \cdot \int_T x^2(t) dt - \frac{2N^2}{T} \cdot \sum_k a_k b_k + \frac{N^2}{T} \cdot \sum_k b_k^2 \pm \frac{N^2}{T} \cdot \sum_k a_k^2 = \\
 &= \frac{1}{T} \cdot \int_T x^2(t) dt - \frac{N^2}{T} \cdot \sum_k a_k^2 + \frac{N^2}{T} \cdot \sum_k (a_k - b_k)^2
 \end{aligned}$$



3.1 Seturi de funcții ortogonale

Egalitatea lui Parseval:

$$\frac{N^2}{T} \cdot \sum_k a_k^2 = \frac{1}{T} \cdot \int_T x^2(t) dt$$

→ Un set de funcții ortogonale este *complet* în raport cu o clasă de semnale, dacă egalitatea lui Parseval se verifică. \Leftrightarrow **Suma puterilor componentelor este egală cu puterea semnalului analizat.**

3.2 Analiza armonică a semnalelor periodice

3.2.1 Seria *Fourier* armonica

3.2.2 Spectrul *Fourier* armonic

3.2.3 Proprietățile SFA

3.2 Analiza armonică a semnalelor periodice

3.2.1 Seria *Fourier* armonica

Set de functii: $\frac{1}{2}$; $\cos(2\pi n f_1 t)$; $\sin(2\pi n f_1 t)$; pentru : $n = \overline{1, \infty}$.

Forma trigonometrica SFA:

$$x(t) = \frac{1}{2} C_0 + \sum_{n=1}^{\infty} C_n \cos(2\pi n f_1 t) + \sum_{n=1}^{\infty} S_n \sin(2\pi n f_1 t)$$

$$\text{unde } C_0 = \frac{2}{T} \cdot \int_T x(t) dt ; C_n = \frac{2}{T} \cdot \int_T x(t) \cos(2\pi n f_1 t) dt ; S_n = \frac{2}{T} \cdot \int_T x(t) \sin(2\pi n f_1 t) dt$$

Forma armonica a SFA:

$$x(t) = A_0 + \sum_{n=1}^{\infty} A_n \cos(2\pi n f_1 t + \varphi_n)$$

$$\text{unde } A_0 = \frac{C_0}{2} ; A_n = \sqrt{C_n^2 + S_n^2} ; \varphi_n = - \arctg \frac{S_n}{C_n}$$

Forma complexa a SFA:

$$x(t) = \frac{1}{2} \sum_{n=-\infty}^{\infty} A_{nc} e^{j2\pi n f_1 t} = A_0 + \frac{1}{2} \sum_{n=-\infty, n \neq 0}^{\infty} A_{nc} e^{j2\pi n f_1 t}$$

$$\text{unde } A_{0c} = \frac{2}{T} \int_T x(t) dt = \frac{1}{2} A_0 ; n \neq 0, A_{nc} = \frac{2}{T} \int_T x(t) e^{-j2\pi n f_1 t} dt ;$$

$$A_{nc} = C_n - j \cdot S_n, |A_{nc}| = A_n ; \arg \{A_{nc}\} = \varphi_n.$$

Set de functii: $e^{j2\pi n f_1 t}$

3.2 Analiza armonică a semnalelor periodice

Exemplu $x(t) = \sum_{k=-\infty}^{\infty} x_1(t - kT)$ unde $x_1(t) = \begin{cases} X_0 + \frac{2X_0}{T}t, t \in \left[-\frac{T}{2}, \frac{T}{2}\right] \\ 0 \text{ in rest} \end{cases}$

Forma trigonometrica:

$$C_0 = \frac{2}{T} \int_{-\frac{T}{2}}^{\frac{T}{2}} \left(X_0 + \frac{2X_0}{T}t \right) dt = \frac{2}{T} X_0 T = 2X_0; \quad C_n = \frac{2}{T} \int_{-\frac{T}{2}}^{\frac{T}{2}} \left(X_0 + \frac{2X_0}{T}t \right) \cos(2\pi n f_1 t) dt;$$

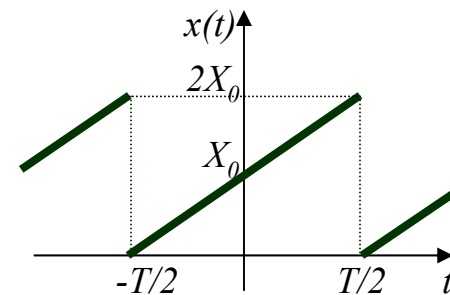
$$S_n = \frac{2}{T} \int_{-\frac{T}{2}}^{\frac{T}{2}} \left(X_0 + \frac{2X_0}{T}t \right) \sin(2\pi n f_1 t) dt = \frac{2}{T} \left[- \left(X_0 + \frac{2X_0}{T}t \right) \frac{\cos(2\pi n f_1 t)}{2\pi n f_1} \right]_{-\frac{T}{2}}^{\frac{T}{2}} + \frac{2X_0}{T} \frac{1}{2\pi n f_1} \int_{-\frac{T}{2}}^{\frac{T}{2}} \cos(2\pi n f_1 t) dt = \frac{2X_0}{\pi n} (-1)^{n+1}$$

$$x(t) = \frac{1}{2} 2X_0 + \sum_{n=1}^{\infty} \frac{2X_0}{\pi n} (-1)^{n+1} \sin(2\pi n f_1 t)$$

Forma armonică:

$$A_0 = \frac{C_0}{2} = X_0; \quad A_n = \sqrt{C_n^2 + S_n^2} = \frac{2X_0}{\pi n}; \quad \varphi_n = - \arctg \frac{S_n}{C_n} = \begin{cases} \frac{\pi}{2}, n = 2k + 1 \\ -\frac{\pi}{2}, n = 2k \end{cases}$$

$$x(t) = X_0 + \sum_{n=1}^{\infty} \frac{2X_0}{\pi n} \cos(2\pi n f_1 t + \varphi_n)$$



3.2 Analiza armonică a semnalelor periodice

$x(t)$

Forma complexa:

$$A_{0c} = \frac{2}{T} \int_{-\frac{T}{2}}^{\frac{T}{2}} \left(X_0 + \frac{2X_0}{T}t \right) dt = 2X_0 = 2A_0$$

$$A_{nc} = \frac{2}{T} \int_{-\frac{T}{2}}^{\frac{T}{2}} \left(X_0 + \frac{2X_0}{T}t \right) e^{-j2\pi n f_1 t} dt = \frac{2}{T} \left[\left(X_0 + \frac{2X_0}{T}t \right) \frac{e^{-j2\pi n f_1 t}}{-j2\pi n f_1} \right]_{-\frac{T}{2}}^{\frac{T}{2}} - \int_{-\frac{T}{2}}^{\frac{T}{2}} \frac{e^{-j2\pi n f_1 t}}{-j2\pi n f_1} \frac{2X_0}{T} dt = j \frac{2(-1)^n}{\pi n}$$

$$x(t) = A_0 + \frac{1}{2} \sum_{n=-\infty, n \neq 0}^{\infty} j \frac{2(-1)^n}{\pi n} e^{j2\pi n f_1 t}$$

3.2 Analiza armonică a semnalelor periodice

3.2.2 Spectrul *Fourier* armonic

$$x(t) = A_0 + \sum_{n=1}^{\infty} A_n \cos(2\pi n f_1 t + \varphi_n)$$

$$x(t) = A_0 + \frac{1}{2} \sum_{n=-\infty}^{\infty} A_{nc} e^{j2\pi n f_1 t}$$

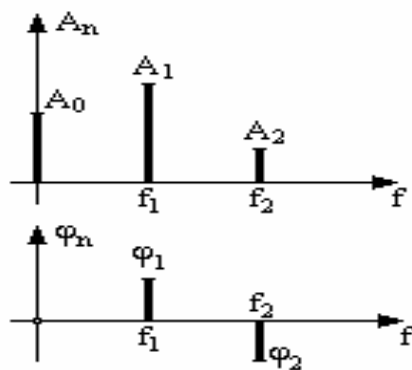


Fig.3.2. Exemplu de spectru în reprezentare unilaterală.

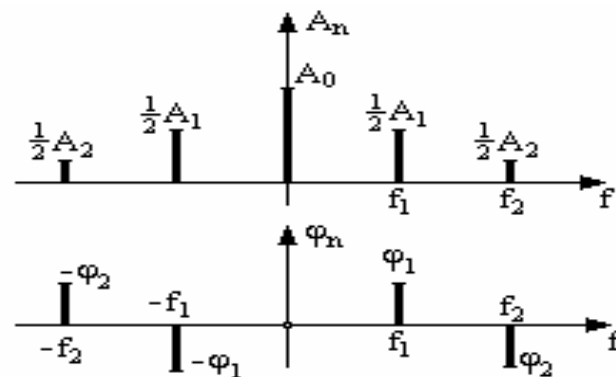
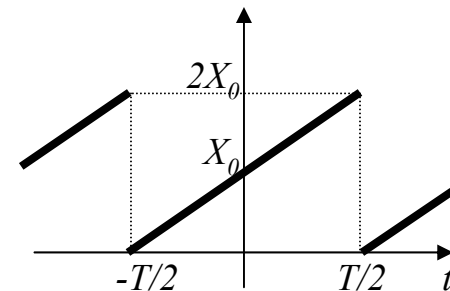


Figura 3.3. Spectrul din figura 3.2 în reprezentare bilaterală.

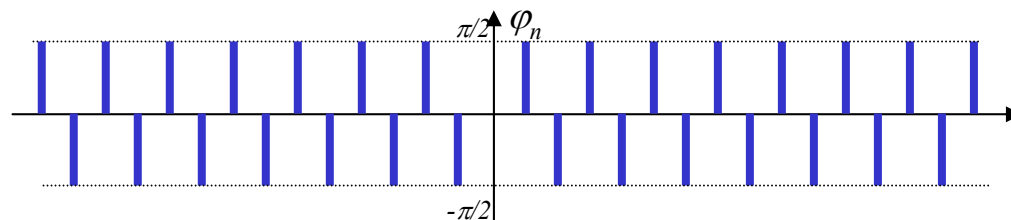
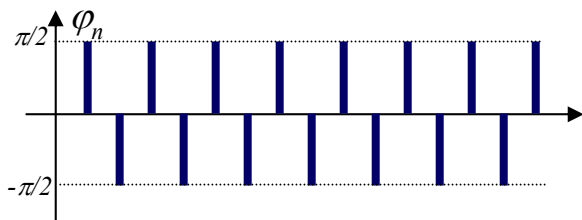
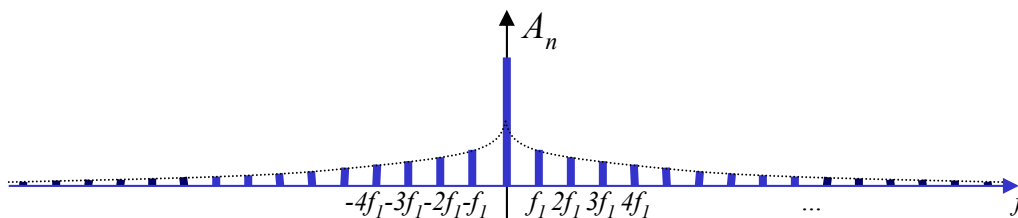
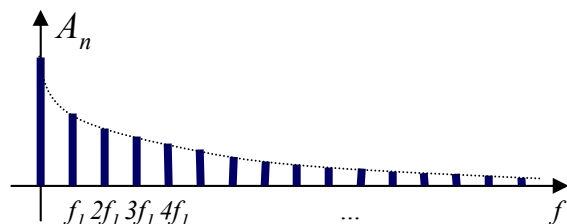
3.2 Analiza armonică a semnalelor periodice

Exemplu $x(t) = \sum_{k=-\infty}^{\infty} x_1(t - kT)$ unde $x_1(t) = \begin{cases} X_0 + \frac{2X_0}{T}t, & t \in \left[-\frac{T}{2}, \frac{T}{2}\right] \\ 0 & \text{in rest} \end{cases}$



$$x(t) = X_0 + \sum_{n=1}^{\infty} \frac{2X_0}{\pi n} \cos(2\pi n f_1 t + \varphi_n)$$

$$x(t) = A_0 + \frac{1}{2} \sum_{n=-\infty, n \neq 0}^{\infty} j \frac{2(-1)^n}{\pi n} e^{j2\pi n f_1 t}$$



3.2 Analiza armonică a semnalelor periodice

3.2.3 Proprietățile SFA

Notatie: $x(t) \Leftrightarrow A_{ncx}$

a. Teorema liniarității.

$$x(t) = \alpha x_1(t) + \beta x_2(t) \Leftrightarrow A_{nc} = \alpha A_{nc1} + \beta A_{nc2}$$

b. Teorema întârzierii.

$$x_1(t) = x(t - \tau) \Leftrightarrow A_{nc1} = A_{nc} e^{-j2\pi n f_1 \tau}$$

c. Teorema modulării.

$$\text{Daca } x_1(t) = x(t) \cdot e^{j2\pi f_0 t},$$

$$\text{atunci } x_1(t) = \left[\frac{1}{2} \sum_{n=-\infty}^{\infty} A_{nc} \cdot e^{j2\pi n f_1 t} \right] \cdot e^{j2\pi f_0 t} = \frac{1}{2} \sum_{n=-\infty}^{\infty} A_{nc} \cdot e^{j2\pi (f_0 + n f_1) t}$$

3.2 Analiza armonică a semnalelor periodice

3.2.3 Proprietățile SFA

d. Teorema derivării.

$$x_1(t) = x^{(k)}(t) \Leftrightarrow A_{nc1} = (j2\pi n f_1)^k \cdot A_{nc}$$

e. Teorema integrării.

$$x_1(t) = \int_{-\infty}^t x(\tau) d\tau \Leftrightarrow A_{nc1} = \frac{A_{nc}}{j2\pi n f_1}$$

SCS I : Teoria semnalelor

Capitolul 1. **Introducere**

Capitolul 2. **O privire generală**

Capitolul 3. ***Semnale periodice***

Capitolul 4. **Semnale aperiodice**

Capitolul 5. **Semnale eşantionate**

Capitolul 6. **Semnale modulate**

3. SEMNALE PERIODICE

3.1 Seturi de funcții ortogonale

3.2 Analiza armonică a semnalelor periodice

3.3 Metoda delta – periodic

3.4 Distribuția spectrală a puterii

3.5 Analiza aproximativă a semnalelor periodice

3.2 Analiza armonică a semnalelor periodice

3.2.1 Seria *Fourier* armonica

3.2.2 Spectrul *Fourier* armonic

3.2.3 Proprietățile SFA

3.2 Analiza armonică a semnalelor periodice

3.2.1 Seria *Fourier* armonica

Forma complexa a SFA:

$$x(t) = \frac{1}{2} \sum_{n=-\infty}^{\infty} A_{nc} e^{j2\pi n f_1 t} = A_0 + \frac{1}{2} \sum_{n=-\infty, n \neq 0}^{\infty} A_{nc} e^{j2\pi n f_1 t}$$

$$\text{unde } A_{0c} = \frac{2}{T} \int_T x(t) dt = \frac{1}{2} A_0; n \neq 0, A_{nc} = \frac{2}{T} \int_T x(t) e^{-j2\pi n f_1 t} dt;$$

Forma armonica a SFA:

$$x(t) = A_0 + \sum_{n=1}^{\infty} A_n \cos (2\pi n f_1 t + \varphi_n)$$

$$\text{unde } A_0 = \frac{A_{0c}}{2}; A_n = |A_{nc}|; \varphi_n = \arg \{A_{nc}\}$$

3.2 Analiza armonică a semnalelor periodice

Exemplu: tren de impulsuri dreptunghiulare

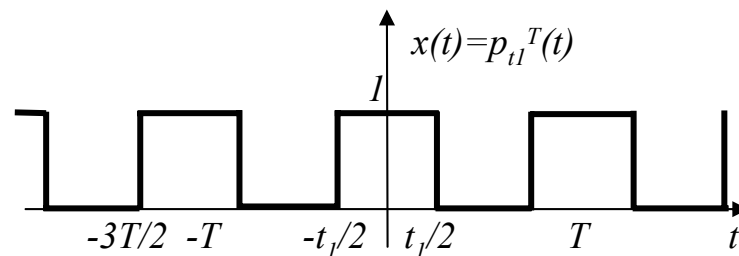
$$x(t) = p_{t_1}^T(t) = \sum_{k=-\infty}^{\infty} x_1(t - kT)$$

$$\text{unde } x_1(t) = \begin{cases} 1, & |t| < \frac{t_1}{2} \\ 0, & \frac{t_1}{2} < |t| < \frac{T}{2} \end{cases}$$

$$A_0 = \frac{1}{T} \int_{-\frac{t_1}{2}}^{\frac{t_1}{2}} dt = \frac{t_1}{T};$$

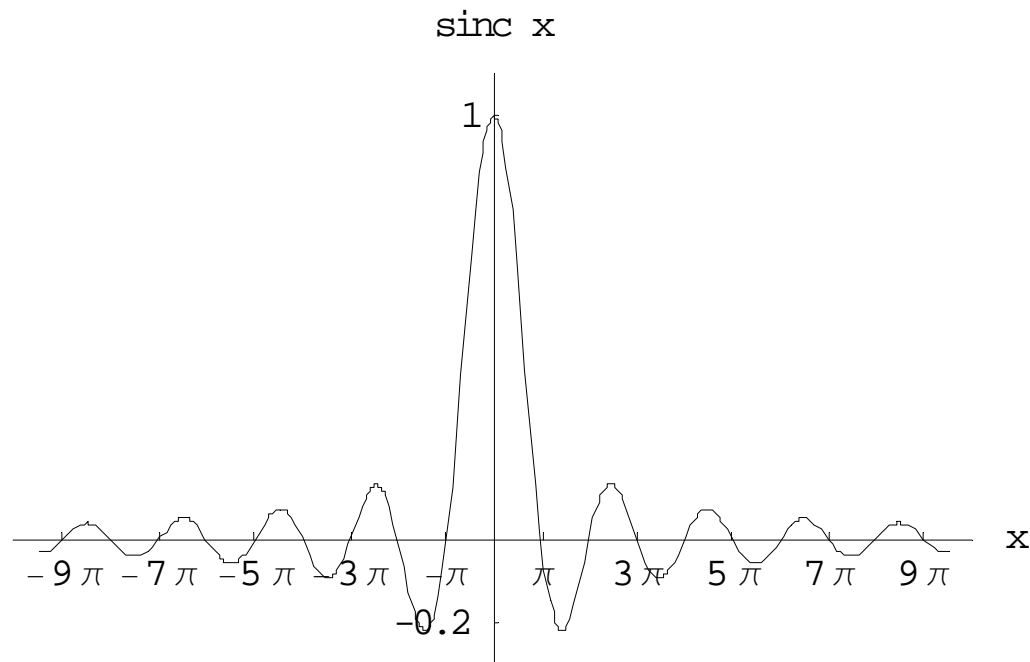
$$n \neq 0, A_{nc} = \frac{2}{T} \int_{-\frac{t_1}{2}}^{\frac{t_1}{2}} e^{-j2\pi n f_1 t} dt = \frac{2}{T} \frac{e^{-j2\pi n f_1 t}}{-j2\pi n f_1} \Big|_{-\frac{t_1}{2}}^{\frac{t_1}{2}} = \frac{2t_1}{T} \operatorname{sinc}\left(\pi n \frac{t_1}{T}\right)$$

$$\Rightarrow \begin{cases} A_n = |A_{nc}| = \frac{2t_1}{T} \left| \operatorname{sinc}\left(\pi n \frac{t_1}{T}\right) \right| \\ \varphi_n = \arg\{A_{nc}\} = 0 \text{ or } \pi \end{cases}$$



3.2 Analiza armonică a semnalelor periodice

$$\sin c(x) = \frac{\sin(x)}{x}$$

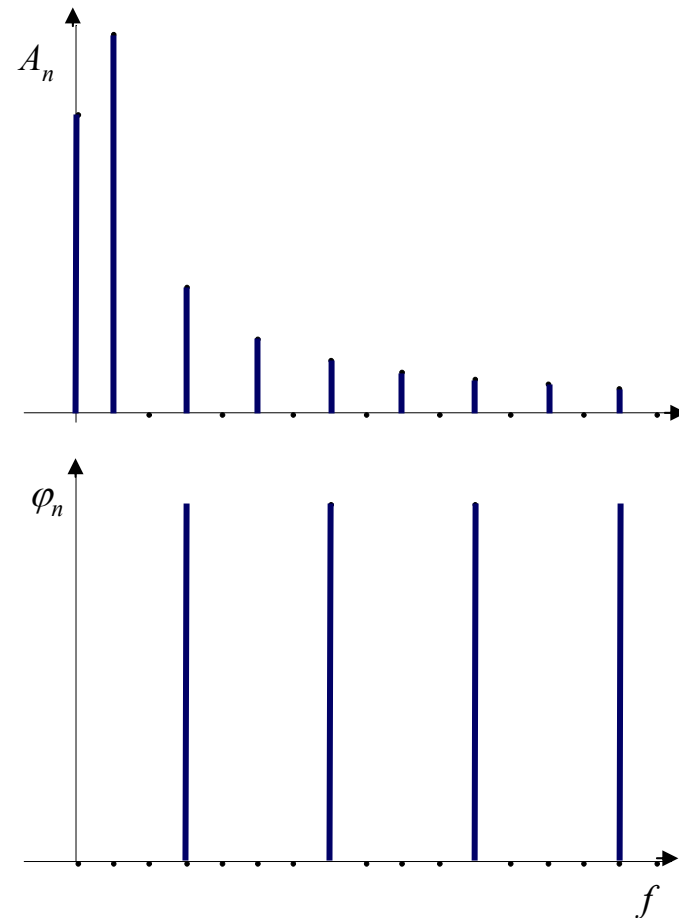


3.2 Analiza armonică a semnalelor periodice

$$t_1 = T/2:$$

$$A_0 = \frac{1}{2}; n \neq 0, A_{nc} = \text{sinc}\left(n \frac{\pi}{2}\right)$$

n	0	1	2	3	4	5	6	7	8
A_{nc}	1	$\frac{2}{\pi}$	0	$-\frac{2}{3\pi}$	0	$\frac{2}{5\pi}$	0	$-\frac{2}{7\pi}$	0
A_n	$\frac{1}{2}$	$\frac{2}{\pi}$	0	$\frac{2}{3\pi}$	0	$\frac{2}{5\pi}$	0	$\frac{2}{7\pi}$	0
φ_n		0	0	π	0	0	0	π	0

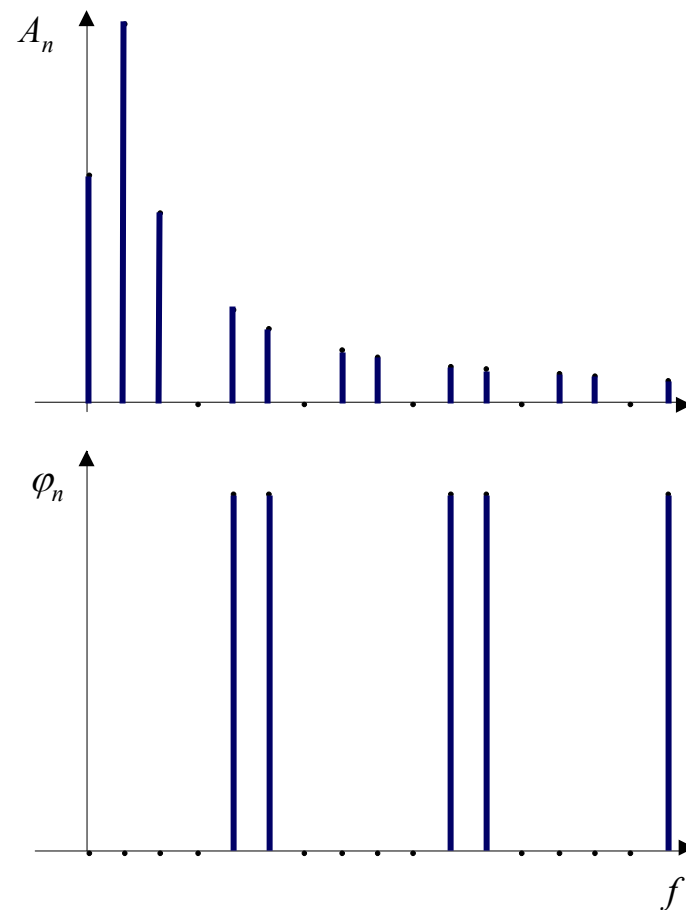


3.2 Analiza armonică a semnalelor periodice

$t_I = T/3$:

$$A_0 = \frac{1}{3}; n \neq 0, A_{nc} = \frac{2}{3} \operatorname{sinc}\left(n \frac{\pi}{3}\right)$$

n	0	1	2	3	4	5	6	7	8
A_{nc}	$\frac{2}{3}$	$\frac{\sqrt{3}}{\pi}$	$\frac{\sqrt{3}}{2\pi}$	0	$-\frac{\sqrt{3}}{4\pi}$	$-\frac{\sqrt{4}}{5\pi}$	0	$\frac{\sqrt{3}}{7\pi}$	$\frac{\sqrt{3}}{8\pi}$
$\Rightarrow A_n$	$\frac{1}{3}$	$\frac{\sqrt{3}}{\pi}$	$\frac{\sqrt{3}}{2\pi}$	0	$\frac{\sqrt{3}}{4\pi}$	$\frac{\sqrt{3}}{5\pi}$	0	$\frac{\sqrt{3}}{7\pi}$	$\frac{\sqrt{3}}{8\pi}$
φ_n		0	0	0	π	π	0	0	0



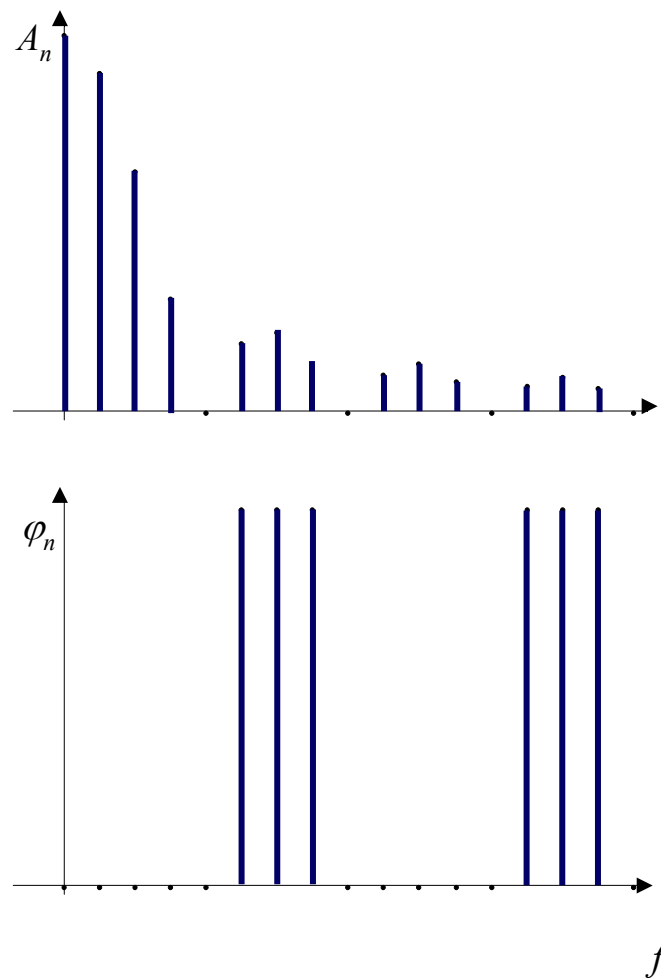
3.2 Analiza armonică a semnalelor periodice

$t_1 = T/4:$

$$A_0 = \frac{1}{4}; n \neq 0, A_{nc} = \frac{1}{2} \operatorname{sinc}\left(n \frac{\pi}{4}\right)$$

$$\Rightarrow$$

n	0	1	2	3	4	5	6	7	8
A_{nc}	$\frac{1}{2}$	$\frac{\sqrt{2}}{\pi}$	$\frac{1}{\pi}$	$\frac{\sqrt{2}}{3\pi}$	0	$-\frac{\sqrt{2}}{5\pi}$	$-\frac{1}{3\pi}$	$-\frac{\sqrt{2}}{7\pi}$	0
A_n	$\frac{1}{4}$	$\frac{\sqrt{2}}{\pi}$	$\frac{1}{\pi}$	$\frac{\sqrt{2}}{3\pi}$	0	$\frac{\sqrt{2}}{5\pi}$	$\frac{1}{3\pi}$	$\frac{\sqrt{2}}{7\pi}$	0
φ_n		0	0	0	0	π	π	π	0



3.2 Analiza armonică a semnalelor periodice

3.2.3 Proprietățile SFA

Notatie: $x(t) \Leftrightarrow A_{ncx}$

a. Teorema liniarității.

$$x(t) = \alpha x_1(t) + \beta x_2(t) \Leftrightarrow A_{nc} = \alpha A_{nc1} + \beta A_{nc2}$$

b. Teorema întârzierii.

$$x_1(t) = x(t - \tau) \Leftrightarrow A_{nc1} = A_{nc} e^{-j2\pi n f_1 \tau}$$

c. Teorema modulării.

$$\text{Daca } x_1(t) = x(t) \cdot e^{j2\pi f_0 t},$$

$$\text{atunci } x_1(t) = \left[\frac{1}{2} \sum_{n=-\infty}^{\infty} A_{nc} \cdot e^{j2\pi n f_1 t} \right] \cdot e^{j2\pi f_0 t} = \frac{1}{2} \sum_{n=-\infty}^{\infty} A_{nc} \cdot e^{j2\pi (f_0 + n f_1) t}$$

3.2 Analiza armonică a semnalelor periodice

3.2.3 Proprietățile SFA

d. Teorema derivării.

$$x_1(t) = x^{(k)}(t) \Leftrightarrow A_{nc1} = (j2\pi n f_1)^k \cdot A_{nc}$$

e. Teorema integrării.

$$x_1(t) = \int_{-\infty}^t x(\tau) d\tau \Leftrightarrow A_{nc1} = \frac{A_{nc}}{j2\pi n f_1}$$

3.3 Metoda delta periodic

3.3.1 Distributii

3.3.2 Semnalul delta – periodic (δ_T)

3.3.3 Prezentarea metodei delta – periodic (δ_T)

3.3 Metoda delta periodic

3.3.1 Distributii

Distribuția f , bazată pe funcționala $f(t)$, atribuie funcției $x(t)$ – numită funcție test – o valoare $V_f(x)$.

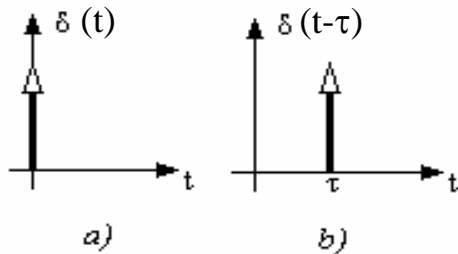
$$\int_{-\infty}^{\infty} x(t) f(t) dt = V_f(x)$$

3.3 Metoda delta periodic

Distribuția impuls ideal (*Dirac*)

Distribuția impuls ideal (*Dirac*) este o funcțională – $\delta(t)$ – care atribuie funcției $x(t)$, continuă în $t = 0$, valoarea $V_\delta(x) = x(0)$:

$$V_\delta(x) = \int_{-\infty}^{\infty} x(t) \cdot \delta(t) dt = x(0)$$



- relația de normare $\int_{-\infty}^{\infty} \delta(t) dt = 1$

- sondare $\int_{-\infty}^{\infty} x(t) \cdot \delta(t-\tau) dt = x(\tau)$

- filtrare $\int_{-\infty}^{\infty} X(f) \cdot \delta(f-f_1) df = X(f_1)$

$$!!! \quad x(t) \cdot \delta(t-\tau) = x(\tau) \cdot \delta(t-\tau)$$

3.3 Metoda delta periodic

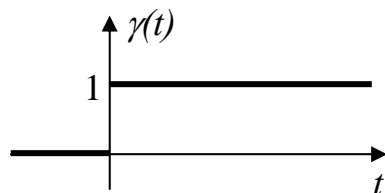
Distribuția treaptă unitară (*Heaviside*)

Distribuția treaptă unitate (*Heaviside*), $\gamma(t)$, atribuie funcției test $x(t)$, integrabilă în \mathcal{R}_+ , valoarea:

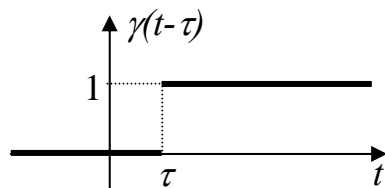
$$V_\gamma(x) = \int_0^{\infty} x(t) dt$$

Rezultă relația de definiție a distribuției treaptă unitară:

$$\int_{-\infty}^{\infty} x(t) \cdot \gamma(t) dt = \int_0^{\infty} x(t) dt$$



$$\gamma(t) = \begin{cases} 0, & \text{pentru } t < 0 \\ 1, & \text{pentru } t > 0 \end{cases}$$

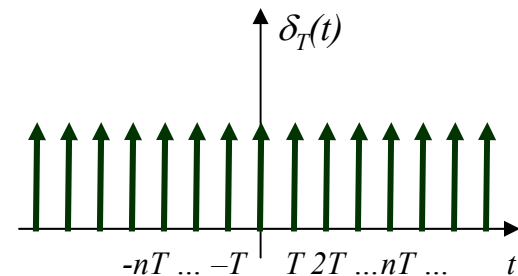


$$\frac{d\gamma}{dt} = \delta(t) ; \gamma(t) = \int_{-\infty}^t \delta(\tau) d\tau$$

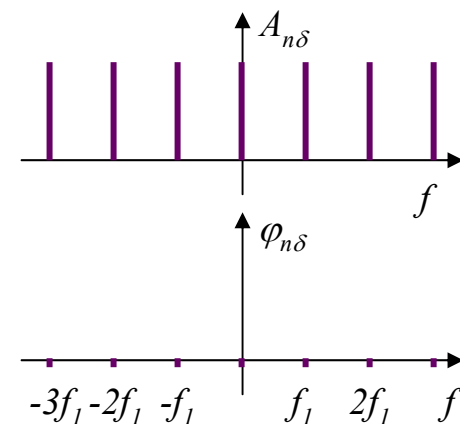
3.3 Metoda delta periodic

3.3.2 Semnalul delta – periodic (δ_T)

$$\delta_T(t) = \sum_{k=-\infty}^{\infty} \delta(t - kT)$$



$$\begin{aligned} A_{nc\delta} &= \frac{2}{T} \int_{-\frac{T}{2}}^{\frac{T}{2}} \delta_T(t) \cdot e^{-j2\pi n f_1 t} dt = \frac{2}{T} \int_{-\frac{T}{2}}^{\frac{T}{2}} \delta(t) \cdot e^{-j2\pi n f_1 t} dt = \frac{2}{T} \\ \Rightarrow \delta_T(t) &= \frac{2}{T} \sum_{n=-\infty}^{\infty} e^{j2\pi n f_1 t} = \\ &= \frac{2}{T} [0.5 + \cos(2\pi \cdot f_1 t) + \cos(2\pi \cdot 2 f_1 t) + \cos(2\pi \cdot 3 f_1 t) + \dots] \end{aligned}$$



3.3 Metoda delta periodic

$$\delta_T(t) = \sum_{k=-\infty}^{\infty} \delta(t - kT)$$

$$\delta_T(t - t_1) = \sum_{k=-\infty}^{\infty} \delta(t - t_1 - kT)$$

$$A_{nc\delta_T(t)} = \frac{2}{T}$$

$$A_{nc\delta_T(t-t_1)} = \frac{2}{T} e^{-j2\pi n f_1 t_1}$$

$$A_{nc\delta'_T(t)} = \frac{2}{T} (j2\pi n f_1)$$

$$A_{nc\delta'_T(t-t_1)} = \frac{2}{T} (j2\pi n f_1) e^{-j2\pi n f_1 t_1}$$

$$A_{nc\delta''_T(t)} = \frac{2}{T} (j2\pi n f_1)^2$$

$$A_{nc\delta''_T(t-t_1)} = \frac{2}{T} (j2\pi n f_1)^2 e^{-j2\pi n f_1 t_1}$$

$$A_{nc\delta^{(k)}_T(t)} = \frac{2}{T} (j2\pi n f_1)^k$$

$$A_{nc\delta^{(k)}_T(t-t_1)} = \frac{2}{T} (j2\pi n f_1)^k e^{-j2\pi n f_1 t_1}$$

3.3 Metoda delta periodic

3.3.3 Prezentarea metodei delta – periodic (δ_T)

1. Derivarea semnalului de un număr (k) de ori, suficient ca derivata să fie exprimată numai prin impulsuri *Dirac* și, eventual, derivate ale acestora; acest lucru este posibil numai în cazul funcțiilor polinomiale.
2. Scrierea coeficienților complecși ($A_{nc\delta}$) ai *SFA* corespunzătoare trenului de impulsuri obținut.
3. Revenirea la coeficienții *SFA* ai semnalului inițial, prin aplicarea (de k ori) a teoremei integrării:

$$A_{nc} = \frac{A_{nc\delta}}{(j2\pi n f_1)^k}$$

3.3 Metoda delta periodic

$$x_1(t) = P_1(t) \cdot \gamma(t) + \sum_{m=1}^{\lambda-1} [P_{m+1}(t) - P_m(t)] \cdot \gamma(t - t_m) - P_\lambda(t - T)$$



$$t < 0 \rightarrow x_1(t) = 0$$

$$0 < t < t_1 \rightarrow x_1(t) = P_1(t)$$

$$t_1 < t < t_2 \rightarrow x_1(t) = P_1(t) + [P_2(t) - P_1(t)] = P_2(t)$$

$$t_2 < t < t_3 \rightarrow x_1(t) = P_1(t) + [P_2(t) - P_1(t)] + [P_3(t) - P_2(t)] = P_3(t)$$

... ..

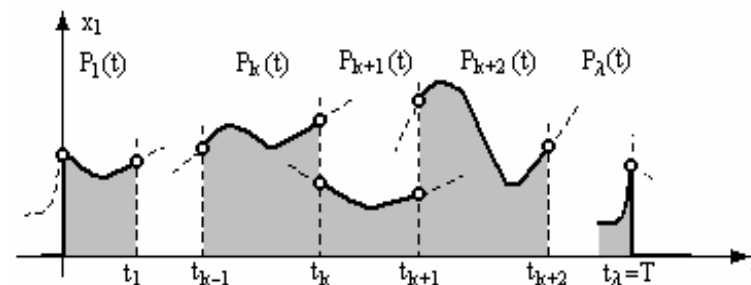


Figura 3.8. Descriere polinomială pe porțiuni a unui semnal periodic.

3.3 Metoda delta periodice

$$x_1(t) = P_1(t) \cdot \gamma(t) + \sum_{m=1}^{\lambda-1} [P_{m+1}(t) - P_m(t)] \cdot \gamma(t - t_m) - P_\lambda(t - T) \gamma(t - T)$$

$$\begin{aligned} x_1'(t) = & P_1'(t) \cdot \gamma(t) + P_1(0) \cdot \delta(t) + \\ & + \sum_{m=1}^{\lambda-1} \left\{ [P_{m+1}'(t) - P_m'(t)] \cdot \gamma(t - t_m) + [P_{m+1}(t_m) - P_m(t_m)] \cdot \delta(t - t_m) \right\} - \\ & - P_\lambda'(t) \cdot \gamma(t - T) - P_\lambda(T) \cdot \delta(t - T) \end{aligned}$$

SCS I : Teoria semnalelor

Capitolul 1. **Introducere**

Capitolul 2. **O privire generală**

Capitolul 3. ***Semnale periodice***

Capitolul 4. **Semnale aperiodice**

Capitolul 5. **Semnale eşantionate**

Capitolul 6. **Semnale modulate**

3.3 Metoda delta periodic

3.3.1 Distributii

3.3.2 Semnalul delta – periodic (δ_T)

3.3.3 Prezentarea metodei delta – periodic (δ_T)

3.3 Metoda delta periodic

3.3.1 Distributii

Distribuția f , bazată pe funcționala $f(t)$, atribuie funcției $x(t)$ – numită funcție test – o valoare $V_f(x)$.

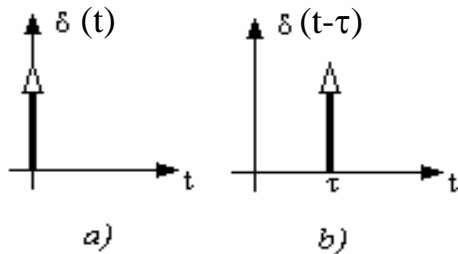
$$\int_{-\infty}^{\infty} x(t) f(t) dt = V_f(x)$$

3.3 Metoda delta periodic

Distribuția impuls ideal (*Dirac*)

Distribuția impuls ideal (*Dirac*) este o funcțională – $\delta(t)$ – care atribuie funcției $x(t)$, continuă în $t = 0$, valoarea $V_\delta(x) = x(0)$:

$$V_\delta(x) = \int_{-\infty}^{\infty} x(t) \cdot \delta(t) dt = x(0) \Leftrightarrow \delta(t) = \begin{cases} \infty, & t = 0 \\ 0, & t \neq 0 \end{cases}$$



- relația de normare $\int_{-\infty}^{\infty} \delta(t) dt = 1$

- sondare $\int_{-\infty}^{\infty} x(t) \cdot \delta(t-\tau) dt = x(\tau)$

- filtrare $\int_{-\infty}^{\infty} X(f) \cdot \delta(f-f_1) df = X(f_1)$

!!!

$$x(t) \cdot \delta(t-\tau) = x(\tau) \cdot \delta(t-\tau)$$

$$X(f) \cdot \delta(f-f_1) = X(f_1) \cdot \delta(f-f_1)$$

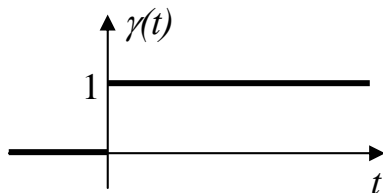
3.3 Metoda delta periodic

Distribuția treaptă unitară (*Heaviside*)

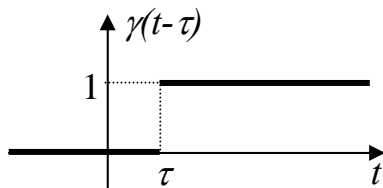
Distribuția treaptă unitate (*Heaviside*), $\gamma(t)$, atribuie funcției test

$x(t)$, integrabilă în \mathfrak{R}_+ , valoarea: $V_\gamma(x) = \int_0^\infty x(t) dt$

$$\int_{-\infty}^{\infty} x(t) \cdot \gamma(t) dt = \int_0^{\infty} x(t) dt \Leftrightarrow \gamma(t) = \begin{cases} 0, & \text{for } t < 0 \\ 1, & \text{for } t > 0 \end{cases}$$



$$\frac{d\gamma}{dt} = \delta(t) ;$$

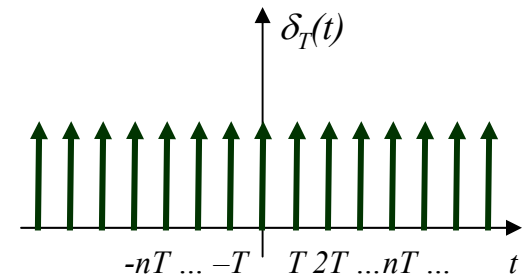


$$\gamma(t) = \int_{-\infty}^t \delta(\tau) d\tau.$$

3.3 Metoda delta periodic

3.3.2 Semnalul delta – periodic (δ_T)

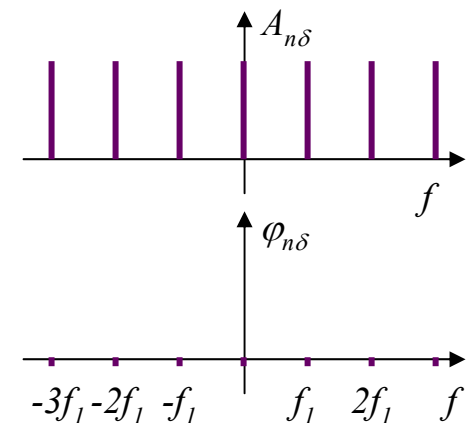
$$\delta_T(t) = \sum_{k=-\infty}^{\infty} \delta(t - kT)$$



$$A_{nc\delta} = \frac{2}{T} \int_T \delta_T(t) \cdot e^{-j2\pi n f_1 t} dt = \frac{2}{T} \int_{-\frac{T}{2}}^{\frac{T}{2}} \delta(t) \cdot e^{-j2\pi n f_1 t} dt = \frac{2}{T}$$

$$\Rightarrow \delta_T(t) = \frac{2}{T} \sum_{n=-\infty}^{\infty} e^{j2\pi n f_1 t} =$$

$$= \frac{2}{T} [0.5 + \cos(2\pi \cdot f_1 t) + \cos(2\pi \cdot 2 f_1 t) + \cos(2\pi \cdot 3 f_1 t) + \dots]$$



3.3 Metoda delta periodic

$$\delta_T(t) = \sum_{k=-\infty}^{\infty} \delta(t - kT)$$

$$\delta_T(t - t_1) = \sum_{k=-\infty}^{\infty} \delta(t - t_1 - kT)$$

$$A_{nc\delta_T(t)} = \frac{2}{T}$$

$$A_{nc\delta_T(t-t_1)} = \frac{2}{T} e^{-j2\pi n f_1 t_1}$$

$$A_{nc\delta'_T(t)} = \frac{2}{T} (j2\pi n f_1)$$

$$A_{nc\delta'_T(t-t_1)} = \frac{2}{T} (j2\pi n f_1) e^{-j2\pi n f_1 t_1}$$

$$A_{nc\delta''_T(t)} = \frac{2}{T} (j2\pi n f_1)^2$$

$$A_{nc\delta''_T(t-t_1)} = \frac{2}{T} (j2\pi n f_1)^2 e^{-j2\pi n f_1 t_1}$$

$$A_{nc\delta^{(k)}_T(t)} = \frac{2}{T} (j2\pi n f_1)^k$$

$$A_{nc\delta^{(k)}_T(t-t_1)} = \frac{2}{T} (j2\pi n f_1)^k e^{-j2\pi n f_1 t_1}$$

3.3 Metoda delta periodic

3.3.3 Prezentarea metodei delta – periodic (δ_T)

1. Derivarea semnalului de un număr (k) de ori, suficient ca derivata să fie exprimată numai prin impulsuri *Dirac* și, eventual, derivate ale acestora; acest lucru este posibil numai în cazul funcțiilor polinomiale.
2. Scrierea coeficienților complecși ($A_{nc\delta}$) ai *SFA* corespunzătoare trenului de impulsuri obținut.
3. Revenirea la coeficienții *SFA* ai semnalului inițial, prin aplicarea (de k ori) a teoremei integrării:

$$A_{nc} = \frac{A_{nc\delta}}{(j2\pi n f_1)^k}$$

3.3 Metoda delta periodic

$$x_1(t) = P_1(t) \cdot \gamma(t) + \sum_{m=1}^{\lambda-1} [P_{m+1}(t) - P_m(t)] \cdot \gamma(t - t_m) - P_\lambda(t) \cdot \gamma(t - T)$$



$$t < 0 \rightarrow x_1(t) = 0$$

$$0 < t < t_1 \rightarrow x_1(t) = P_1(t)$$

$$t_1 < t < t_2 \rightarrow x_1(t) = P_1(t) + [P_2(t) - P_1(t)] = P_2(t)$$

$$t_2 < t < t_3 \rightarrow x_1(t) = P_1(t) + [P_2(t) - P_1(t)] + [P_3(t) - P_2(t)] = P_3(t)$$

... ..

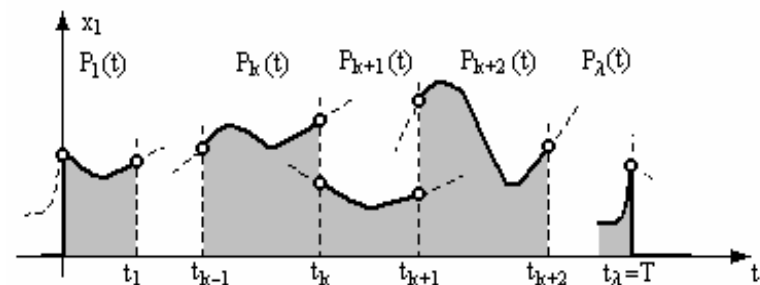


Figura 3.8. Descriere polinomială pe porțiuni a unui semnal periodic.

3.3 Metoda delta periodic

$$x_1(t) = P_1(t) \cdot \gamma(t) + \sum_{m=1}^{\lambda-1} [P_{m+1}(t) - P_m(t)] \cdot \gamma(t - t_m) - P_\lambda(t) \cdot \gamma(t - T)$$

$$\begin{aligned} x_1'(t) = & P_1'(t) \cdot \gamma(t) + P_1(0) \cdot \delta(t) + \\ & + \sum_{m=1}^{\lambda-1} \left\{ [P_{m+1}'(t) - P_m'(t)] \cdot \gamma(t - t_m) + [P_{m+1}(t_m) - P_m(t_m)] \cdot \delta(t - t_m) \right\} - \\ & - P_\lambda'(t) \cdot \gamma(t - T) - P_\lambda(T) \cdot \delta(t - T) \end{aligned}$$

$$\begin{aligned} x_1''(t) = & P_1''(t) \cdot \gamma(t) + P_1'(t) \cdot \delta(t) + P_1(0) \cdot \delta'(t) + \\ & + \sum_{m=1}^{\lambda-1} \left\{ [P_{m+1}''(t) - P_m''(t)] \cdot \gamma(t - t_m) + [P_{m+1}'(t) - P_m'(t)] \cdot \delta(t - t_m) + [P_{m+1}(t_m) - P_m(t_m)] \cdot \delta'(t - t_m) \right\} - \\ & - P_\lambda''(t) \cdot \gamma(t - T) - P_\lambda'(t) \cdot \delta(t - T) - P_\lambda(T) \cdot \delta'(t - T) \end{aligned}$$

.....

3.3 Metoda delta periodic

Exemplu:

$$x(t) = \begin{cases} 2t^2, & t \in [3k, 3k+1) \\ 2, & t \in [3k+1, 3k+2) \\ 0, & t \in [3k+2, 3(k+1)) \end{cases}$$

$$x_1(t) = 2t^2 \cdot \gamma(t) + (2 - 2t^2) \cdot \gamma(t-1) - 2 \cdot \gamma(t-2)$$

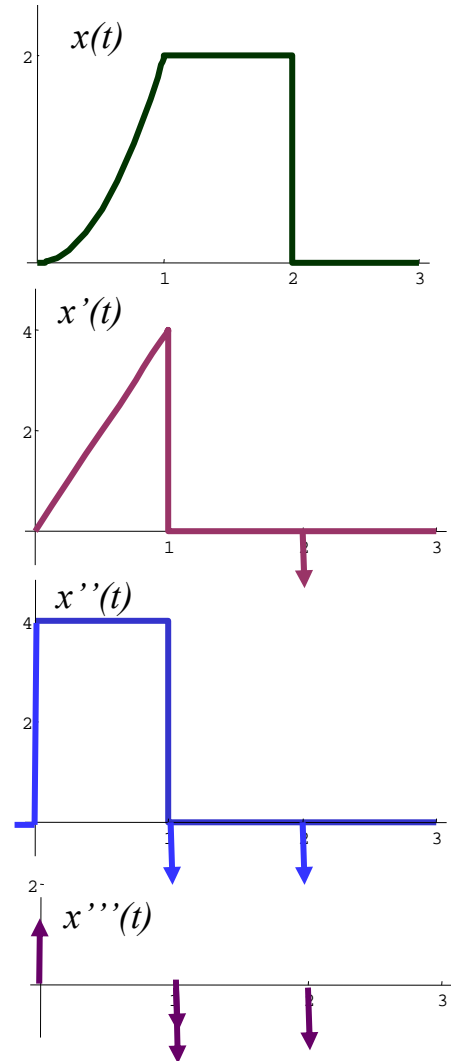
$$x_1'(t) = 4t \cdot \gamma(t) + 2t^2 \cdot \delta(t) + (-4t) \cdot \gamma(t-1) + (2 - 2t^2) \cdot \delta(t-1) - 2 \cdot \delta(t-2) = 4t \cdot \gamma(t) - 4t \cdot \gamma(t-1) - 2 \cdot \delta(t-2)$$

$$\begin{aligned} x_1''(t) &= 4 \cdot \gamma(t) + 4t \cdot \delta(t) - 4 \cdot \gamma(t-1) - 4t \cdot \delta(t-1) - 2 \cdot \delta'(t-2) = \\ &= 4 \cdot \gamma(t) - 4 \cdot \gamma(t-1) + 4 \cdot \delta(t-1) - 2 \cdot \delta'(t-2) \end{aligned}$$

$$x_1'''(t) = 4 \cdot \delta(t) - 4 \cdot \delta(t-1) + 4 \cdot \delta'(t-1) - 2 \cdot \delta''(t-2)$$

$$n \neq 0, A_{nc}^{(III)} = 4 \frac{2}{3} - 4 \frac{2}{3} e^{\frac{-j2\pi n}{3}} - 4 \frac{2}{3} e^{\frac{-j2\pi n}{3}} \left(\frac{j2\pi n}{3} \right) - 2 \frac{2}{3} e^{\frac{-4\pi n}{3}} \left(\frac{j2\pi n}{3} \right)^2$$

$$n \neq 0, A_{nc} = \frac{A_{nc}^{(III)}}{\left(\frac{j2\pi n}{3} \right)^3}, \quad A_0 = \frac{8}{9}$$



3. SEMNALE PERIODICE

3.1 Seturi de funcții ortogonale

3.2 Analiza armonică a semnalelor periodice

3.3 Metoda delta – periodic

3.4 *Distributia spectrala a puterii*

3.5 *Analiza aproximativa a semnalelor periodice*

3.4 Distribuția spectrală a puterii

$$P = \frac{1}{T} \int_T x^2(t) dt = A_0^2 + \frac{1}{2} \sum_{n=1}^{\infty} A_n^2 = A_0^2 + \frac{1}{2} \sum_{n=1}^{\infty} A_{nc} \cdot A_{nc}^*$$

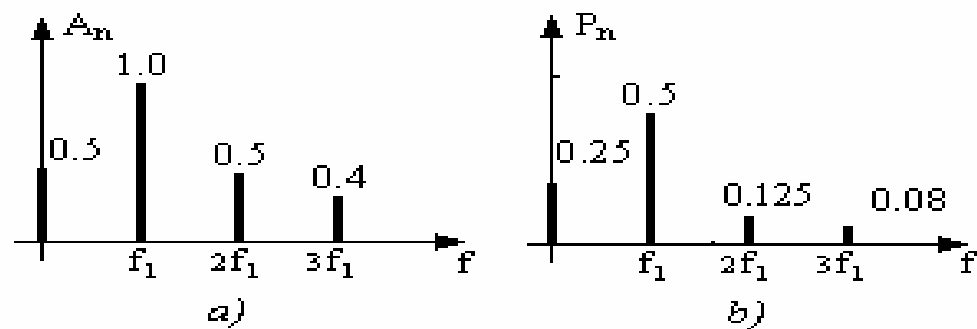


Figura 3.9. Exemplu de spectru de amplitudini (a) și spectrul de putere corespunzător (b).

3.5 Analiza aproximativa a semnalelor periodice

3.5.1 Analiza Fourier-Walsh

3.5.2 Analiza Fourier-Haar

3.5 Analiza aproximativa a semnalelor periodice

3.5.1 Analiza Fourier-Walsh

Funcții Rademacher:

$$r_n(\theta) = \text{sign}[\sin(2^n \pi \theta)]$$

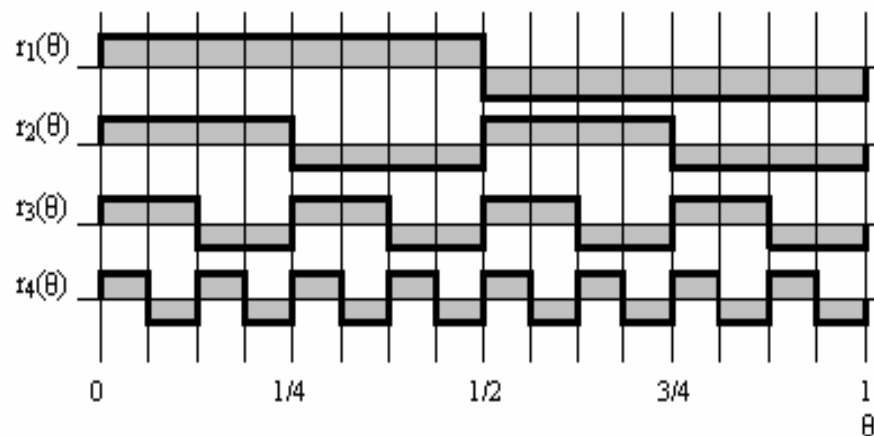


Figura 3.10. Primele patru funcții Rademacher.

3.5 Analiza aproximativa a semnalelor periodice

3.5.1 Analiza Fourier-Walsh

Functii Walsh:

$$wal_m(\theta) = \prod_{k=1}^n \left[r_k(\theta) \right]^{p_{mk}},$$

$$\text{unde } p_{mk} = m_k \oplus m_{k+1}$$

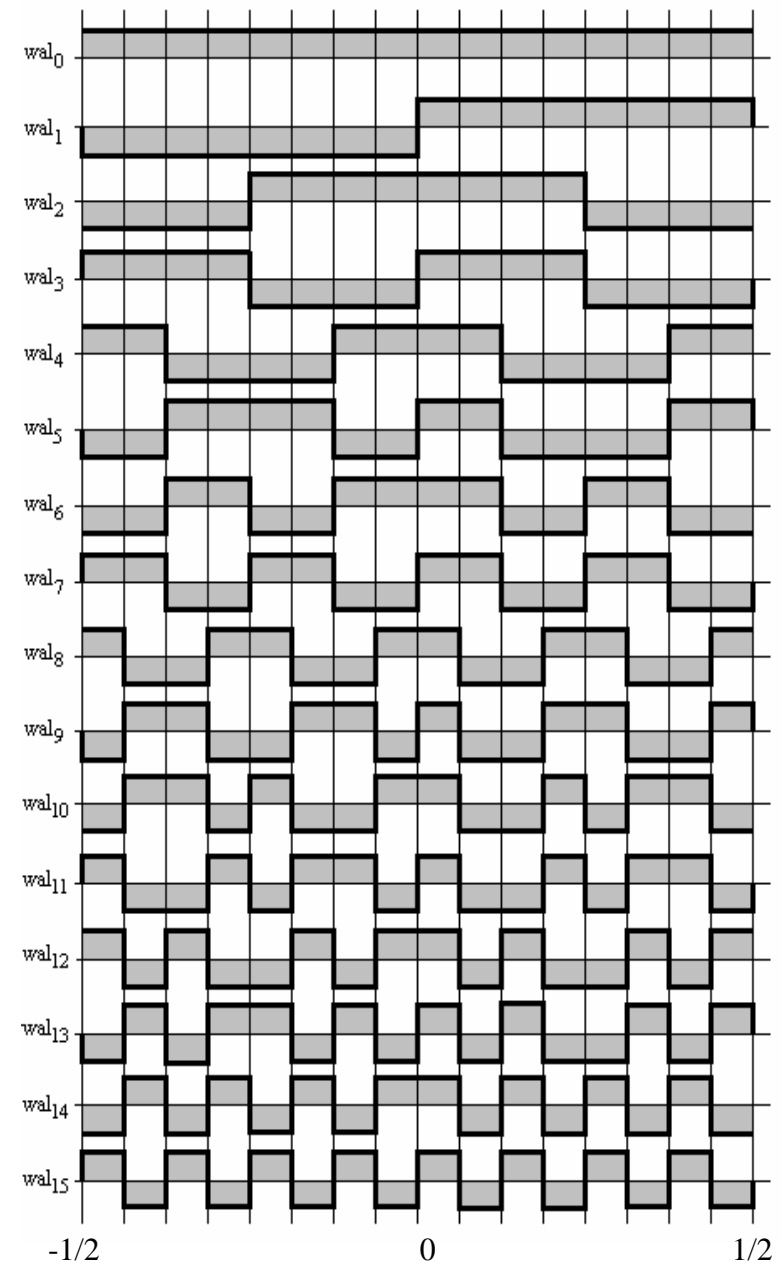


Figura 3.11. Primele 16 funcții Walsh.

3.5 Analiza aproximativa a semnalelor periodice

3.5.1 Analiza Fourier-Walsh

$$x(\theta T) = \sum_{k=0}^K W_k \cdot \text{wal}_k(\theta) \quad W_k = \int_{-\frac{1}{2}}^{\frac{1}{2}} x(\theta T) \cdot \text{wal}_k(\theta) d\theta$$

$$x(t) = \sum_{k=0}^K W_k \text{wal}_k\left(\frac{t}{T}\right) \quad W_k = \frac{1}{T} \int_{-\frac{T}{2}}^{\frac{T}{2}} x(t) \cdot \text{wal}_k\left(\frac{t}{T}\right) dt$$

Exemplu:

K=3

$$W_0 = \frac{1}{T} (I_1 + I_2 + I_3 + I_4)$$

$$W_1 = \frac{1}{T} (-I_1 - I_2 + I_3 + I_4)$$

$$W_2 = \frac{1}{T} (-I_1 + I_2 + I_3 - I_4)$$

$$W_3 = \frac{1}{T} (I_1 - I_2 + I_3 - I_4)$$

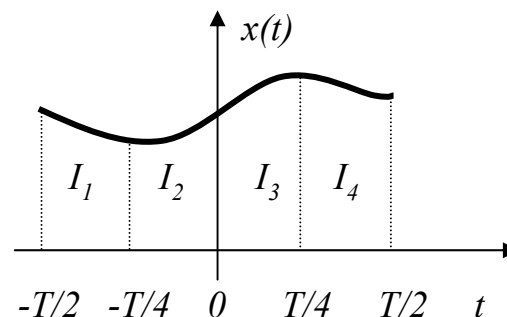


Figura 3.12. Împărțirea perioadei în patru intervale egale.

3.5 Analiza aproximativa a semnalelor periodice

3.5.2 Analiza Fourier-Haar

Functii Haar:

$$har_n(\theta) = \begin{cases} \sqrt{2^{p-1}}, & \text{pentru } \frac{m}{2^{p-1}} \leq \theta < \frac{m+0.5}{2^{p-1}} \\ -\sqrt{2^{p-1}}, & \text{pentru } \frac{m+0.5}{2^{p-1}} \leq \theta < \frac{m+1}{2^{p-1}}, \\ 0, & \text{in rest} \end{cases}$$

$$n = 2^{p-1} + m$$

unde:

n = ordinul funcției *Haar* în cadrul setului;

p = ordinul grupei;

m = ordinul funcției în cadrul grupei ($m = 0, 1, \dots, 2^{p-1} - 1$).

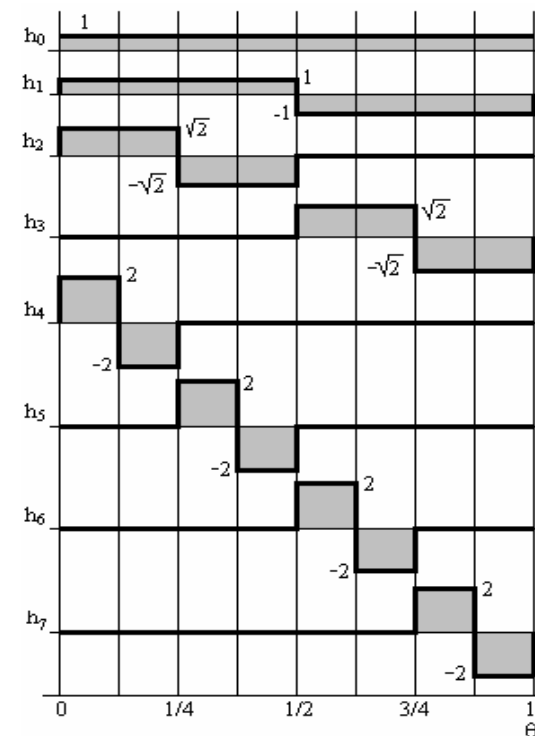


Figura 3.13. Primele opt funcții Haar.

3.5 Analiza aproximativa a semnalelor periodice

$$x(\theta T) = \sum_{n=0}^N H_n \cdot \text{har}_n(\theta) \quad H_n = \int_0^1 x(\theta T) \cdot \text{har}_n(\theta) d\theta$$

$$x(t) = \sum_{n=0}^N H_n \cdot \text{har}_n\left(\frac{t}{T}\right) \quad H_n = \frac{1}{T} \int_0^T x(t) \cdot \text{har}_n\left(\frac{t}{T}\right) dt$$

Exemplu: N=7

Grupa a treia:

$$H_4 = 2 (S_1 - S_2); H_6 = 2 (S_5 - S_6);$$

$$H_5 = 2 (S_3 - S_4); H_7 = 2 (S_7 - S_8)$$

Grupa a doua:

$$H_2 = \sqrt{2} (S_1 + S_2 - S_3 - S_4)$$

$$H_3 = \sqrt{2} (S_5 + S_6 - S_7 - S_8)$$

Grupa intai:

$$H_1 = S_1 + S_2 + S_3 + S_4 - S_5 - S_6 - S_7 - S_8$$

$$H_0 = S_1 + S_2 + S_3 + S_4 + S_5 + S_6 + S_7 + S_8$$

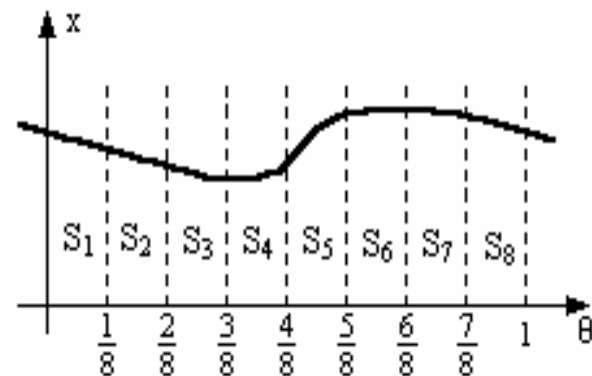


Figura 3.14. Împărțirea perioadei în opt părți egale.

SCS I : Teoria semnalelor

Capitolul 1. **Introducere**

Capitolul 2. **O privire generală**

Capitolul 3. **Semnale periodice**

Capitolul 4. ***Semnale aperiodice***

Capitolul 5. **Semnale eşantionate**

Capitolul 6. **Semnale modulate**

4. SEMNALE APERIODICE

4.1 Analiza semnalelor prin transformarea Fourier

4.2 Distributia spectrala a energiei

4.3 Corelatia semnalelor

4.4 Convolutia semnalelor aperiodice

4.5 Transformarea Laplace

4.6 Functii de transfer

4.1 Analiza semnalelor prin transformarea Fourier

4.1.1 O privire generala

4.1.2 Transformarea Fourier

4.1.3 Proprietatile transformatei Fourier

4.1.1 O privire generală

Semnale aperiodice:

- *cvasiperiodice*
- **impulsuri.**

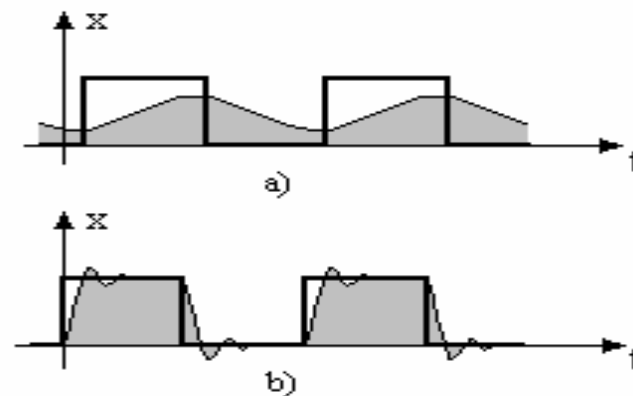


Figura 4.1. Interpretarea semnalelor în funcție de răspunsul sistemului.

4.1.2 Transformarea Fourier

Transformarea Fourier directa

$$X(f) = \int_{-\infty}^{\infty} x(t) e^{-j2\pi f t} dt$$

Transformarea Fourier inversa

$$x(t) = \int_{-\infty}^{\infty} X(f) e^{j2\pi f t} df$$

Observatie:

$$\exists X(f) \text{ (converge)} \quad \text{daca} \quad \int_{-\infty}^{\infty} |x(t)| \cdot dt < \infty \text{ (absolut integrabila)}$$

4.1.2 Transformarea Fourier

Daca $x(t) \neq 0$ pentru $t_1 < t < t_2, 0 \leq t_1 \text{ \& } t_2 \leq T$

$$\text{atunci } A_{nc} = \frac{2}{T} \cdot \int_{t_1}^{t_2} x(t) e^{-j2\pi n f_1 t} dt.$$

$$\begin{aligned} \Rightarrow x(t) &= \frac{1}{2} \sum_{n=-\infty}^{\infty} \left[\frac{2}{T} \cdot \int_{t_1}^{t_2} x(\tau) e^{-j2\pi n f_1 \tau} d\tau \right] e^{j2\pi n f_1 t} = \\ &= \sum_{n=-\infty}^{\infty} \left[\int_{t_1}^{t_2} x(\tau) e^{-j2\pi n f_1 \tau} d\tau \right] e^{j2\pi n f_1 t} \cdot f_1 \end{aligned}$$

Notam $1/T = f_1 \Rightarrow T \rightarrow \infty, f_1 \rightarrow df, n f_1 \rightarrow f$

$$x(t) = \int_{-\infty}^{\infty} \left[\int_{-\infty}^{\infty} x(\tau) e^{-j2\pi f \tau} d\tau \right] e^{j2\pi f t} df$$

4.1.2 Transformarea Fourier

Pereche Fourier: $x(t) \Leftrightarrow X(f)$

$X(f)$ densitate spectrala

$$X(f) = X_{re}(f) + j \cdot X_{im}(f) ,$$

$$X_{re}(f) = \int_{-\infty}^{\infty} x(t) \cos(2\pi ft) dt ; X_{re}(-f) = X_{re}(f)$$

$$X_{im}(f) = - \int_{-\infty}^{\infty} x(t) \sin(2\pi ft) dt ; X_{im}(-f) = -X_{im}(f)$$

4.1.2 Transformarea Fourier

Densitate spectrala de amplitudine

$$|X(f)| = \sqrt{X_{re}^2(f) + X_{im}^2(f)} , \quad |X(-f)| = |X(f)|$$

Spectrul de fază

$$\varphi(f) = \arctg \frac{X_{im}(f)}{X_{re}(f)} , \quad \varphi(-f) = -\varphi(f)$$

4.1.2 Transformarea Fourier

Legatura dintre coeficientii complecsi A_{nc} ai seriei Fourier ai semnalului periodic $x(t)$ si densitatea spectrala $X(f)$ a impulsului $x_1(t)$

$$A_{nc} = \frac{2}{T} X(nf_1)$$

$$\text{unde } x(t) = \sum_{k=-\infty}^{\infty} x_1(t - kT)$$

4.1.3 Proprietatile transformatei Fourier

Teorema liniaritatii

$$\alpha x_1(t) + \beta x_2(t) \Leftrightarrow \alpha X_1(f) + \beta X_2(f)$$

Teorema derivarii

$$x'(t) \Leftrightarrow j2\pi f X(f)$$

Teorema integrarii

$$\int_{-\infty}^t x(\tau) d\tau \Leftrightarrow \frac{1}{j2\pi f} X(f)$$

Teorema intarzierii

$$x(t - t_0) \Leftrightarrow e^{-j2\pi f t_0} X(f)$$

4.1.3 Proprietatile transformatei Fourier

Teorema modularii

$$x(t) e^{j2\pi f_0 t} \Leftrightarrow X(f - f_0)$$

Teorema comprimării timpului

$$x\left(\frac{t}{\alpha}\right) \Leftrightarrow \alpha X(\alpha f)$$

Teorema simetriei

$$x(t) \Leftrightarrow X(f)$$

$$x_1(t) = X(t) \Leftrightarrow X_1(f) = x(-f)$$

Teorema lui Parseval

$$\int_{-\infty}^{\infty} x_1(t) x_2(t) dt = \int_{-\infty}^{\infty} X_1(f) X_2(-f) df$$

4.2 Distribuția spectrală a energiei

Energia totală a unui impuls

$$\begin{aligned} W &= \int_{-\infty}^{\infty} x^2(t) dt = \int_{-\infty}^{\infty} |X(f)|^2 df = \\ &= \int_{-\infty}^{\infty} S(f) df = 2 \int_0^{\infty} S(f) df \end{aligned}$$

SCS I : Teoria semnalelor

Capitolul 1. **Introducere**

Capitolul 2. **O privire generală**

Capitolul 3. **Semnale periodice**

Capitolul 4. ***Semnale aperiodice***

Capitolul 5. **Semnale eşantionate**

Capitolul 6. **Semnale modulate**

4. SEMNALE APERIODICE

4.1 Analiza semnalelor prin transformarea Fourier

4.2 Distributia spectrala a energiei

4.3 Corelatia semnalelor

4.4 Convolutia semnalelor aperiodice

4.5 Transformarea Laplace

4.6 Functii de transfer

4.3 Corelatia semnalelor

4.3.1 Functia de intercorelatie

4.3.2 Functia de autocorelatie

4.3 Corelatia semnalelor

4.3.1 Functia de intercorelatie

$$R_{xy}(\tau) = \lim_{\theta \rightarrow \infty} \frac{1}{\theta} \int_{-\frac{\theta}{2}}^{\frac{\theta}{2}} x(t + \tau) \cdot y(t) \, dt = \lim_{\theta \rightarrow \infty} \frac{1}{\theta} \int_{-\frac{\theta}{2}}^{\frac{\theta}{2}} x(t) \cdot y(t - \tau) \, dt$$

Pentru semnale periodice de perioada T:

$$R_{xy}(\tau) = \frac{1}{T} \int_{-\frac{T}{2}}^{\frac{T}{2}} x(t + \tau) \cdot y(t) \, dt = \frac{1}{T} \int_{-\frac{T}{2}}^{\frac{T}{2}} x(t) \cdot y(t - \tau) \, dt$$

Pentru semnale aperiodice:

$$R_{xy}(\tau) = \int_{-\infty}^{\infty} x(t + \tau) \cdot y(t) \cdot dt = \int_{-\infty}^{\infty} x(t) \cdot y(t - \tau) \cdot dt$$

4.3 Corelatia semnalelor

Proprietati:

$$R_{xy}(\tau) = R_{yx}(-\tau)$$

$$R_{xy}(\tau) \equiv 0 \Leftrightarrow x(t), y(t) \text{ necorelate}$$

Pentru semnale periodice de perioada T:

$$S_{nc} = \frac{1}{2} \cdot A_{ncx} \cdot A_{ncy}^*$$

Pentru semnale aperiodice:

$$S_{xy}(f) = X(f) \cdot Y^*(f)$$

4.3 Corelatia semnalelor

4.3.2 Functia de autocorelatie

Pentru semnale periodice de perioada T:

$$R_{xx}(\tau) = \frac{1}{T} \int_{-\frac{T}{2}}^{\frac{T}{2}} x(t+\tau) \cdot x(t) dt \quad S_{nc} = \frac{1}{2} \cdot A_{ncx} \cdot A_{ncx}^* = \frac{1}{2} |A_{nc}|^2 = \frac{1}{2} A_n^2$$

Pentru semnale aperiodice:

$$R_{xx}(\tau) = \int_{-\infty}^{\infty} x(t+\tau) \cdot x(t) dt \quad S_{xx} = X(f) \cdot X^*(f) = |X(f)|^2 = S(f)$$

Proprietati:

$$R_{xx}(\tau) = R_{xx}(-\tau)$$

$$R_{xx}(0) \geq R_{xx}(\tau)$$

4.4 Convolutia semnalelor aperiodice

4.4.1 Produsul de convolutie

4.4.2 Convolutia in analiza semnalelor

4.4.3 Convolutia in analiza sistemelor

4.4 Convolutia semnalelor aperiodice

4.4.1 Produsul de convolutie

$$x(t) = x_1(t) \otimes x_2(t) = \int_{-\infty}^{\infty} x_1(\tau) \cdot x_2(t - \tau) \cdot d\tau \quad \Leftrightarrow \quad X(f) = X_1(f) \cdot X_2(f)$$

Proprietatile convolutiei:

$$x'(t) = x_1'(t) \otimes x_2(t) = x_1(t) \otimes x_2'(t)$$

$$x(t) = x_1(t) \cdot x_2(t) \quad \Leftrightarrow \quad X(f) = X_1(f) \otimes X_2(f) = \int_{-\infty}^{\infty} X_1(\lambda) \cdot X_2(f - \lambda) \cdot d\lambda$$

4.4 Convolutia semnalelor aperiodice

4.4.2 Convolutia in analiza semnalelor

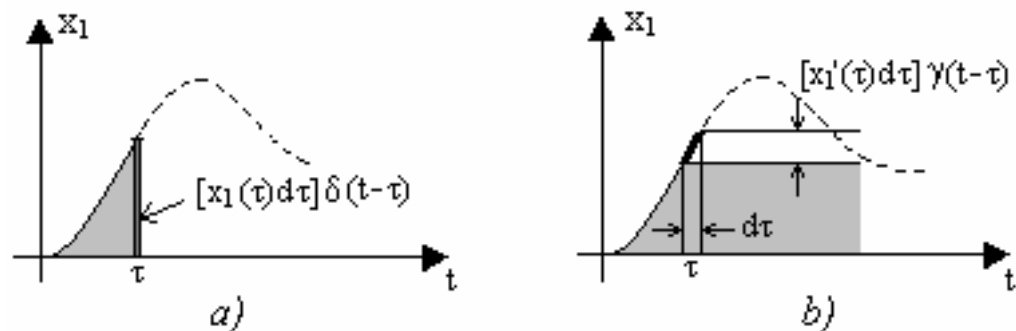


Figura 4.2 Inspectia semnalului in fasii verticale (a), respectiv orizontale (b)

$$x_1(t) = \int_{-\infty}^{\infty} x_1(\tau) \cdot \delta(t-\tau) d\tau \quad x_1(t) = \int_{-\infty}^t x_1'(\tau) \cdot \gamma(t-\tau) d\tau$$

4.4 Convolutia semnalelor aperiodice

4.4.3 Convolutia in analiza sistemelor

$$\delta(t) \rightarrow h(t) \text{ (functia pondere)}$$

$$\delta(t - \tau) \rightarrow h(t - \tau)$$

$$\int_{-\infty}^{\infty} x(\tau) \cdot \delta(t - \tau) d\tau \rightarrow \int_{-\infty}^{\infty} x(\tau) \cdot h(t - \tau) d\tau$$

$$x(t) \rightarrow y(t)$$

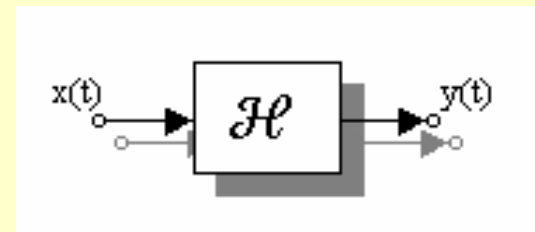


Figura 4.3 Sistem linear cu o intrare si o iesire

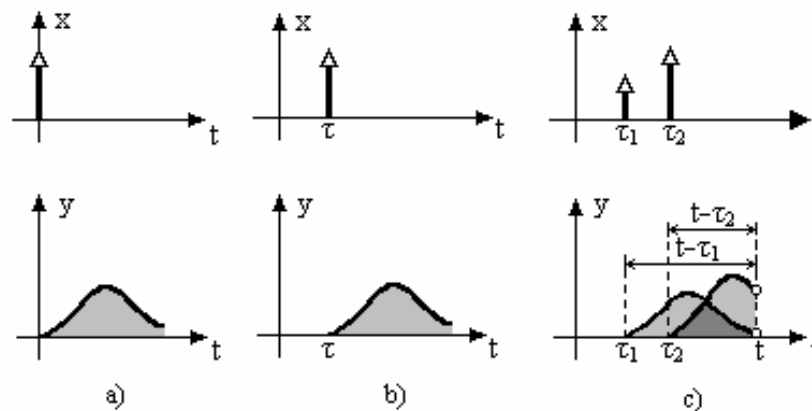


Figura 4.4 Raspunsul unui sistem linear si invariant la impulsuri

4.4 Convolutia semnalelor aperiodice

$$x(t) \rightarrow y(t) = \int_{-\infty}^t x(\tau) \cdot h(t - \tau) \cdot d\tau \quad \Leftrightarrow \quad Y(f) = X(f) \cdot H(f)$$

$$\gamma(t) \rightarrow a(t) \quad (\text{raspuns indicial})$$

$$x(t) \rightarrow y(t) = \int_{-\infty}^t x'(\tau) \cdot a(t - \tau) \cdot d\tau$$

$$\begin{aligned} y(t) &= x(0)a(t) + \int_{+0}^t x'(\tau) \cdot a(t - \tau) \cdot d\tau = x(t)a(0) + \int_{+0}^t x(\tau) \cdot a'(t - \tau) \cdot d\tau = \\ &\quad (\text{relatiile lui Duhamel}) \\ &= x(0)a(t) + \int_{+0}^t x'(t - \tau) \cdot a(\tau) \cdot d\tau = x(t)a(0) + \int_{+0}^t x(t - \tau) \cdot a'(\tau) \cdot d\tau \end{aligned}$$

SCS I : Teoria semnalelor

Capitolul 1. **Introducere**

Capitolul 2. **O privire generală**

Capitolul 3. **Semnale periodice**

Capitolul 4. ***Semnale aperiodice***

Capitolul 5. **Semnale eşantionate**

Capitolul 6. **Semnale modulate**

4. SEMNALE APERIODICE

4.1 Analiza semnalelor prin transformarea Fourier

4.2 Distributia spectrala a energiei

4.3 Corelatia semnalelor

4.4 Convolutia semnalelor aperiodice

4.5 Transformarea Laplace

4.6 Functii de transfer

4.5 Transformarea Laplace (Fourier complexa)

4.5.1 Transformarea Laplace bilaterală

4.5.2 Transformarea Laplace (unilaterală)

4.5.3 Condiții de existență a transformatei Fourier

4.5.4 Transformarea Laplace inversă

4.5.5 Proprietăți ale transformatei Laplace

4.5 Transformarea Laplace (Fourier complexa)

4.5.1 Transformarea Laplace bilaterală

$$X(s) = \int_{-\infty}^{\infty} x(t) \cdot e^{-st} dt$$

Convergența transformatei

$$x_1(t) = x(t) \cdot e^{-\alpha t}$$

$$\int_{-\infty}^{\infty} |x_1(t)| dt \leq \infty \Rightarrow$$

$$|x(t)| \leq \begin{cases} M_1 e^{at}, & 0 < t_1 < t \\ M_2 e^{bt}, & t < t_2 < 0 \end{cases} \Rightarrow a < \alpha < b$$

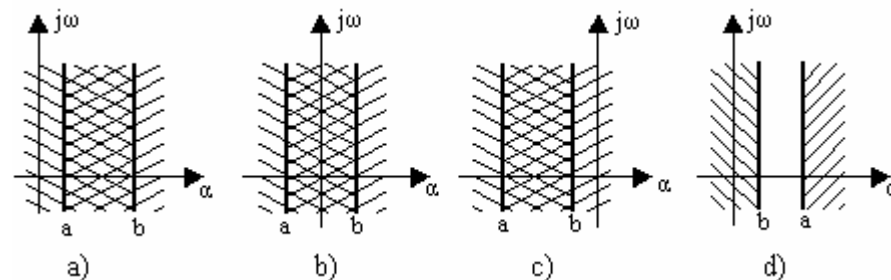


Figura 4.6 Variante de domenii de convergență

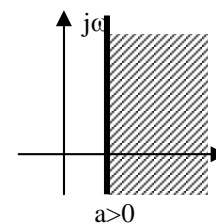
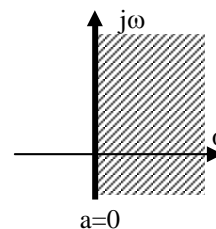
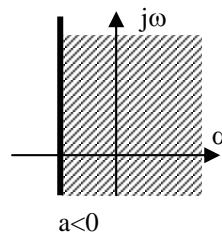
4.5 Transformarea Laplace (Fourier complexa)

4.5.2 Transformarea Laplace (unilaterală)

$$X(s) = \int_0^{\infty} x(t) \cdot e^{-st} dt$$

Convergența transformatei

$$\alpha > a$$



Puncte critice:

-poli p_k $X(p_k) = \infty$

-zerouri z_k $X(z_k) = 0$

4.5 Transformarea Laplace (Fourier complexa)

4.5.3 Conditii de existenta a transformatei Fourier

- **daca toti polii transformatei Laplace sunt situati strict in semiplanul stang, atunci:**

$$X(f) = X(s) \Big|_{s=j2\pi f}$$

- **daca polii transformatei Laplace sunt in semiplanul stang, dar exista poli imaginari, atunci:**

$$X(f) = \lim_{s \rightarrow j2\pi f} X(s)$$

4.5 Transformarea Laplace (Fourier complexa)

4.5.4 Transformarea Laplace inversa

$$x(t) = \frac{1}{2\pi j} \cdot \int_{c-j\infty}^{c+j\infty} X(s) \cdot e^{st} ds$$

$$x(t) = \sum_{k=1}^n \underset{p_k}{\text{rez}} \left[X(s) \cdot e^{p_k t} \right]$$

$$\text{Pt. poli simpli } x(t) = \sum_{k=1}^n a_k \cdot e^{p_k t}$$

$e^{p_k t}$ = mod de oscilatie

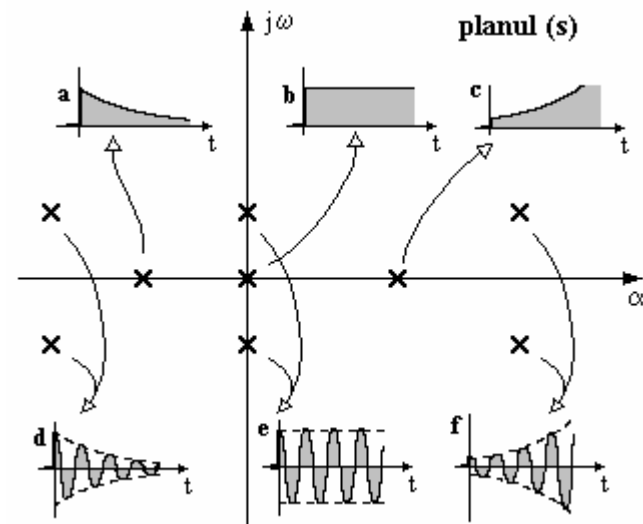


Figura 4.7 Aspectul modurilor de oscilatie in functie de pozitia polilor in planul complex s

4.5 Transformarea Laplace (Fourier complexa)

4.5.5 Proprietati ale transformatei Laplace

$$x(t) \Leftrightarrow X(s)$$

Teorema liniaritatii

$$\alpha x_1(t) + \beta x_2(t) \Leftrightarrow \alpha X_1(s) + \beta X_2(s)$$

Teorema derivarii originalului

$$x'(t) \Leftrightarrow s X(s) - x(0_+)$$

Teorema integrarii originalului

$$\int_{-\infty}^t x(\tau) d\tau \Leftrightarrow \frac{1}{s} X(s)$$

Teorema intarzierii originalului

$$x(t - t_0) \Leftrightarrow e^{-st_0} X(s)$$

4.5 Transformarea Laplace (Fourier complexa)

Teorema modularii

$$x(t) e^{s_0 t} \Leftrightarrow X(s - s_0)$$

Teorema comprimării timpului

$$x\left(\frac{t}{\alpha}\right) \Leftrightarrow \alpha X(\alpha s)$$

Teorema derivării imaginii

$$t \cdot x(t) \Leftrightarrow -X'(s)$$

Teorema integrării imaginii

$$\frac{x(t)}{t} \Leftrightarrow \int_s^{\infty} X(s) ds$$

4.5 Transformarea Laplace (Fourier complexa)

Teorema convolutiei in timp

$$x_1(t) \otimes x_2(t) \Leftrightarrow X_1(s) \cdot X_2(s)$$

Teorema convolutiei in s

$$x_1(t) \cdot x_2(t) \Leftrightarrow X_1(s) \otimes X_2(s)$$

4.6 Functii de transfer (f.d.t)

$$a_n \frac{d^n y(t)}{dt^n} + \dots + a_1 \frac{dy(t)}{dt} + a_0 y(t) = b_m \frac{d^m x(t)}{dt^m} + \dots + b_1 \frac{dx(t)}{dt} + b_0 x(t)$$

in conditii initiale nule

$$\Rightarrow \frac{Y(s)}{X(s)} = \frac{b_m s^m + \dots + b_1 s + b_0}{a_n s^n + \dots + a_1 s + a_0}$$

Funcția de transfer (f.d.t)

$$H(s) = \left. \frac{Y(s)}{X(s)} \right|_{\text{conditii initiale nule}}$$

Observatii:

$$H(s) = L\{h(t)\}$$

$$H(j\omega) = H(s) \Big|_{s=j\omega}$$

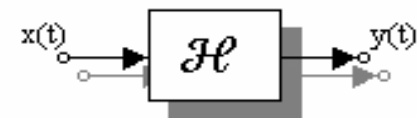


Figura 4.3 Sistem liniar cu o intrare si o iesire

5. SEMNALE ESANTIONATE

5.1 Generalitati

5.2 Esantionarea reala

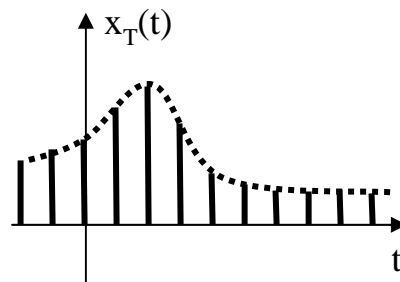
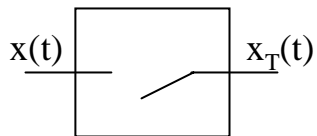
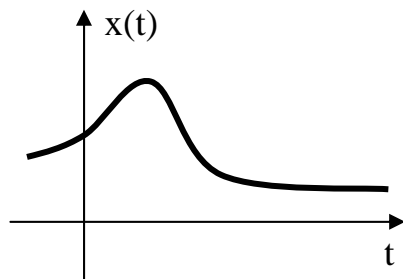
5.3 Esantionarea ideala

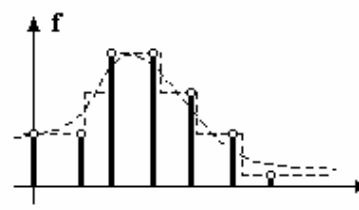
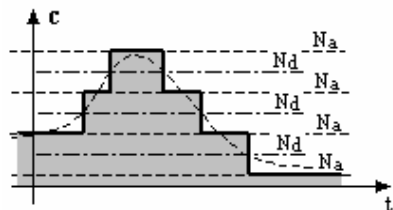
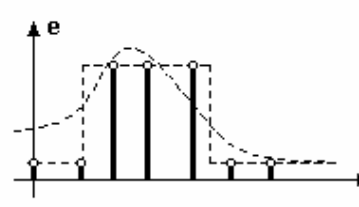
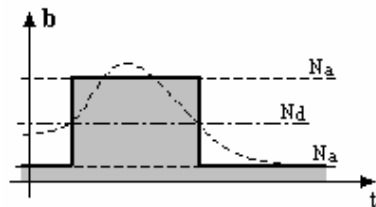
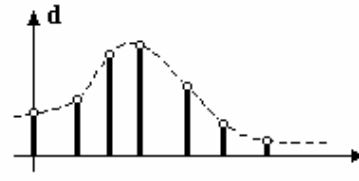
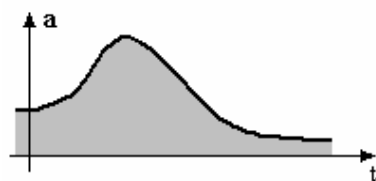
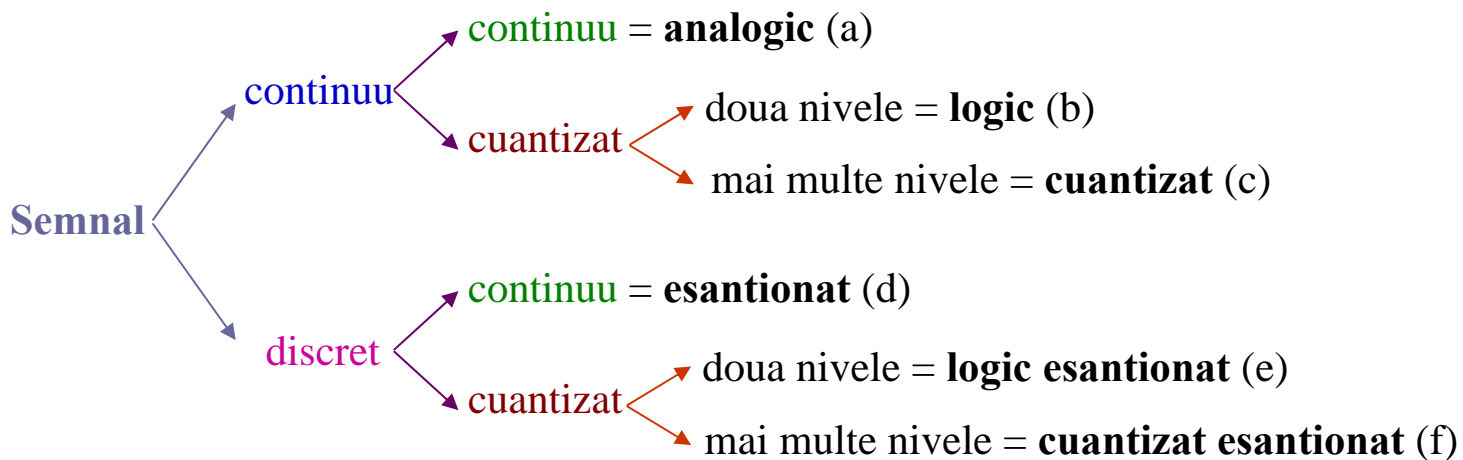
5.4 Transformata Z

5.5 Reconstituirea semnalelor esantionate

5. SEMNALE ESANTIONATE

5.1 Generalitati





5. SEMNALE ESANTIONATE

5.2 Esantionarea reala

$$x_T(t) = x(t) \cdot p_\tau^T(t)$$

$$p_\tau^T(t) = A_0 + \frac{1}{2} \sum_{n=-\infty, n \neq 0}^{\infty} A_{ncp} \cdot e^{j2\pi n f_p t}$$

$$\text{unde: } f_p = \frac{1}{T}; A_0 = \frac{\tau}{T}; A_{ncp} = \frac{2}{T} \cdot \tau \cdot \text{Sa}(\pi n f_p \tau)$$

$$x_T(t) = A_0 \cdot x(t) + \frac{1}{2} \sum_{n=-\infty, n \neq 0}^{\infty} A_{ncp} \cdot [x(t) \cdot e^{j2\pi n f_p t}]$$

$$\Rightarrow X_T(f) = A_0 \cdot X(f) + \frac{1}{2} \sum_{n=-\infty, n \neq 0}^{\infty} A_{ncp} \cdot X(f - n f_p)$$

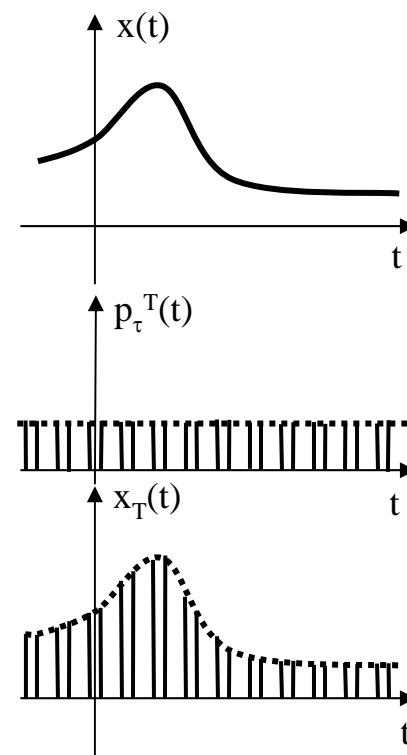


Figura 5.2 Esantionarea reala

5. SEMNALE ESANTIONATE

Teorema esantionarii (Shannon): Pentru ca semnalul analogic sa poata fi reconstituit din esantioanele sale, frecventa de esantionare trebuie sa fie mai mare decat dublul frecventei maxime din spectrul semnalului analogic transmis:

$$f_p > 2f_s$$

SCS I : Teoria semnalelor

Capitolul 1. **Introducere**

Capitolul 2. **O privire generală**

Capitolul 3. **Semnale periodice**

Capitolul 4. **Semnale aperiodice**

Capitolul 5. ***Semnale eșantionate***

Capitolul 6. **Semnale modulate**

5. SEMNALE ESANTIONATE

5.1 Generalitati

5.2 Esantionarea reala

5.3 Esantionarea ideala

5.4 Transformata Z

5.5 Reconstituirea semnalelor esantionate

5. SEMNALE ESANTIONATE

5.1 Generalitati

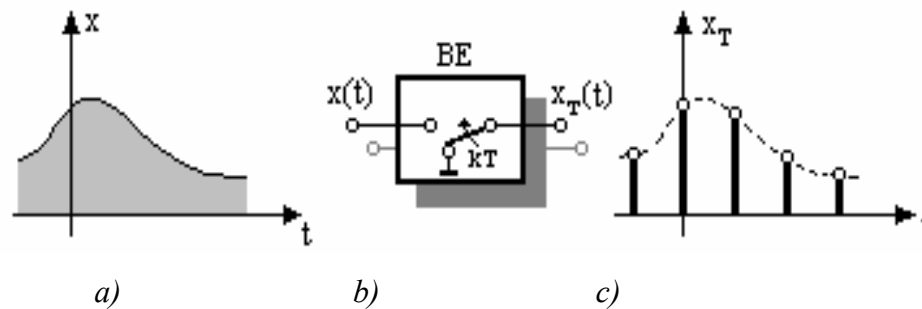
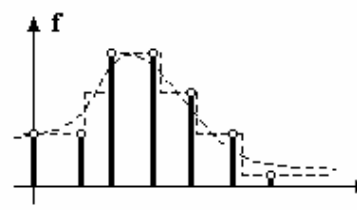
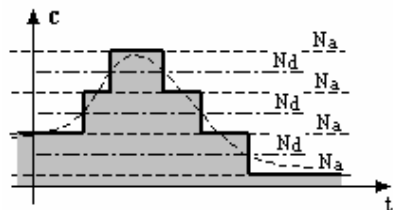
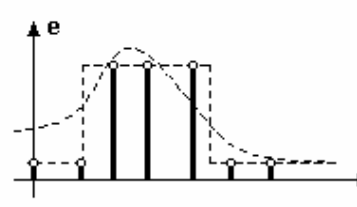
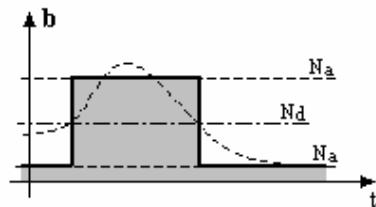
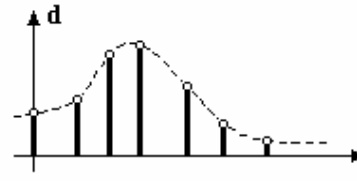
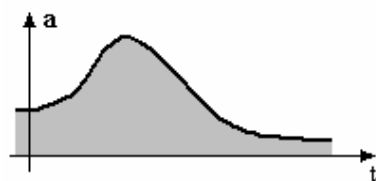
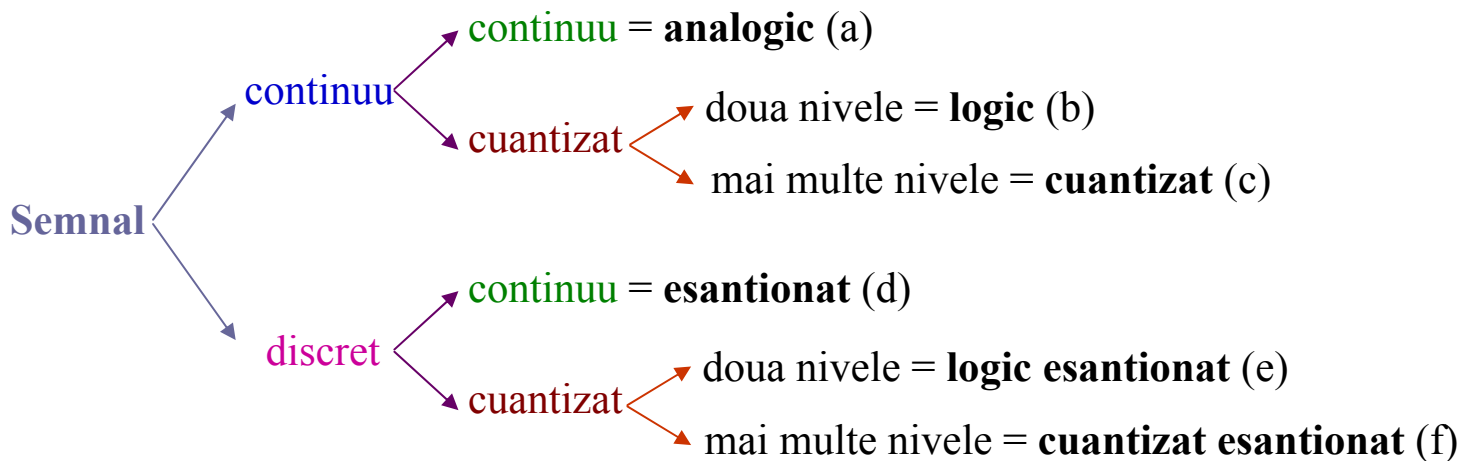


Figura 5.1. Eșantionarea unui semnal analogic.



5. SEMNALE ESANTIONATE

5.2 Esantionarea reala

$$x_T(t) = x(t) \cdot p_\tau^T(t)$$

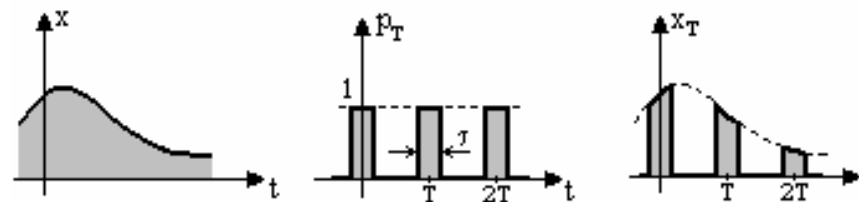


Figura 5.2 Esantionarea reala

$$p_\tau^T(t) = \frac{1}{2} \sum_{n=-\infty}^{\infty} A_{ncp} \cdot e^{j2\pi n f_p t}$$

$$\text{unde: } f_p = \frac{1}{T}; A_{ncp} = \frac{2}{T} \cdot \tau \cdot \text{Sa}(\pi n f_p t)$$

$$x_T(t) = \frac{1}{2} \sum_{n=-\infty}^{\infty} A_{ncp} \cdot \left[x(t) \cdot e^{j2\pi n f_p t} \right]$$

$$\Rightarrow X_T(f) = \frac{1}{2} \sum_{n=-\infty}^{\infty} A_{ncp} \cdot X(f - n f_p)$$

5. SEMNALE ESANTIONATE

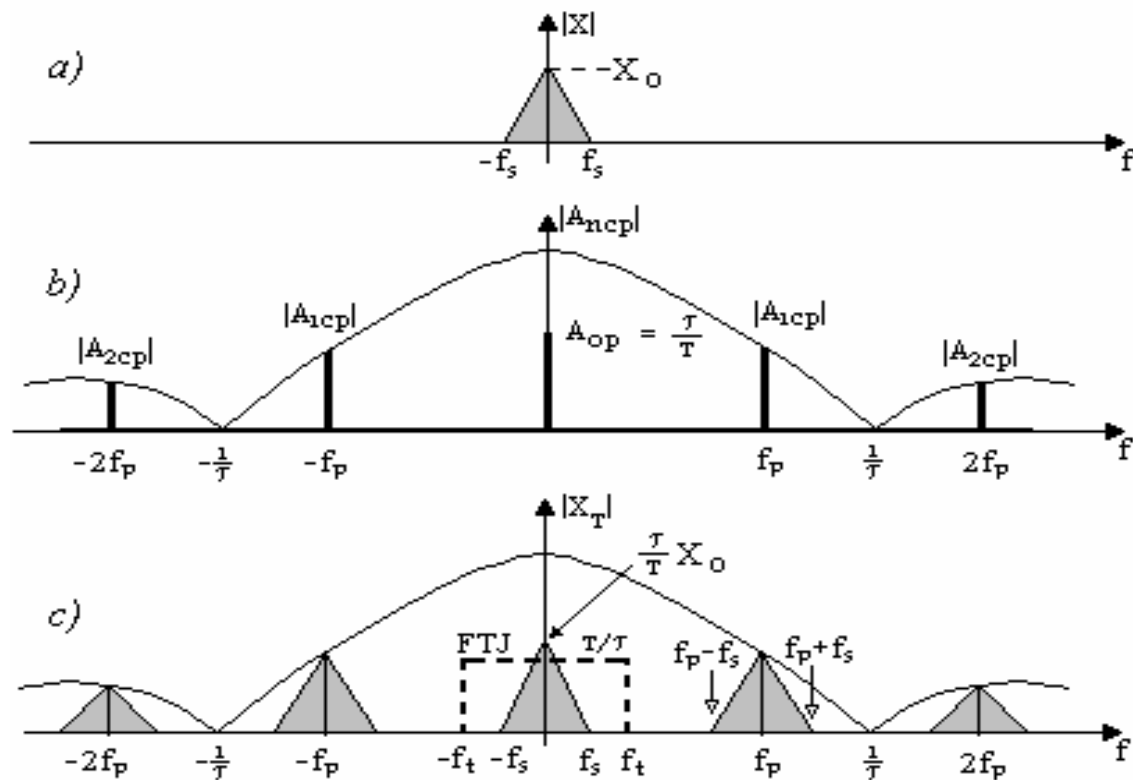


Figura 5.3. Spectrele semnalului analog (a), al trenului de impulsuri (b) și al semnalului eșantionat (c).

5. SEMNALE ESANTIONATE

Teorema esantionarii (Shannon): Pentru ca semnalul analogic sa poata fi reconstituit din esantioanele sale, frecventa de esantionare trebuie sa fie mai mare decat dublul frecventei maxime din spectrul semnalului analogic transmis:

$$f_p > 2f_s$$

5. SEMNALE ESANTIONATE

5.3 Esantionarea ideala

$$x_T(t) = x(t) \cdot \delta_T(t) = \sum_{k=-\infty}^{\infty} x(kT) \delta(t - kT)$$

$$X_T(f) = \frac{1}{T} \sum_{n=-\infty}^{\infty} X(f - nf_p)$$

5. SEMNALE ESANTIONATE

5.4 Transformata Z

- **Transformata Z bilaterala**

$$X(z) = \sum_{k=-\infty}^{\infty} x(kT) z^{-k} = X_{+}(z) + X_{-}(z)$$

- **Transformata Z unilaterala**

$$X(z) = X_{+}(z) = \sum_{k=0}^{\infty} x(kT) \cdot z^{-k}$$

5. SEMNALE ESANTIONATE

5.4 Transformata Z

$$z = e^{sT}$$

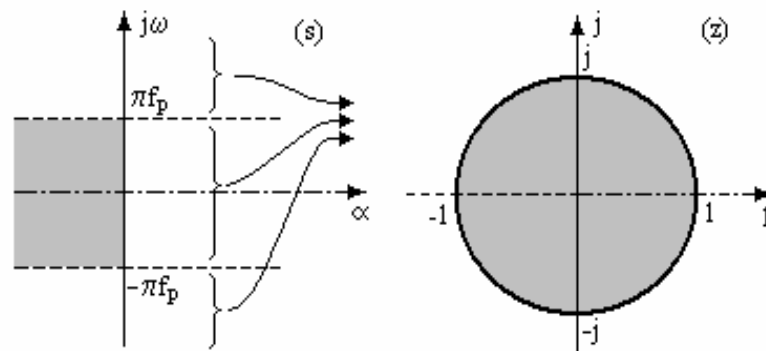


Figura 5.4. Legătura între planele (s) și (z).

5. SEMNALE ESANTIONATE

5.4 Transformata Z

Proprietati:

$$x(t) \Leftrightarrow X(z)$$

Liniaritatea

$$\alpha \cdot x_1(n) + \beta \cdot x_2(n) \Leftrightarrow \alpha \cdot X_1(z) + \beta \cdot X_2(z)$$

Intarzierea secventei

$$x_1(n) = \{x(n - k)\} \Leftrightarrow X_1(z) = z^{-k} X(z)$$

Convolutia secventelor

$$\{y(n)\} = \{x(n)\} \otimes \{h(n)\} = \sum_{k=0}^{\infty} \{x(k)\} \{h(n - k)\} \Leftrightarrow Y(z) = X(z) \cdot H(z)$$

5. SEMNALE ESANTIONATE

5.4 Transformata Z

Transformarea Z-biliniară (TZB)

$$\begin{aligned}\ln(1+x) &= x - \frac{x^2}{2} + \frac{x^3}{3} - \frac{x^4}{4} + \dots \\ \ln(1-x) &= -x - \frac{x^2}{2} - \frac{x^3}{3} - \frac{x^4}{4} - \dots\end{aligned}\Rightarrow \ln \frac{1+x}{1-x} = 2\left(x + \frac{x^3}{3} + \frac{x^5}{5} - \dots\right)$$

$$\Rightarrow s = \frac{1}{T} \ln z = \frac{1}{T} \ln \frac{1+x}{1-x} \simeq \frac{2}{T} \frac{z-1}{z+1}$$

$$TZB\{x(t)\} = \frac{1}{T} X(s) \Big|_{s = \frac{2}{T} \frac{z-1}{z+1}}$$

5. SEMNALE ESANTIONATE

5.5 Reconstituirea semnalelor esantionate

Filtrarea ideală (prin interpolare)

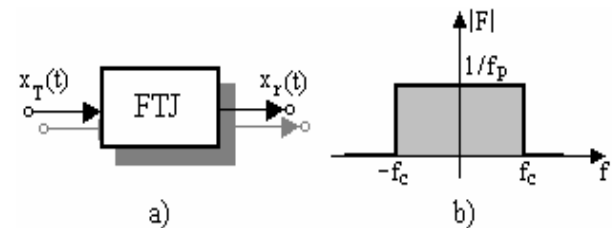
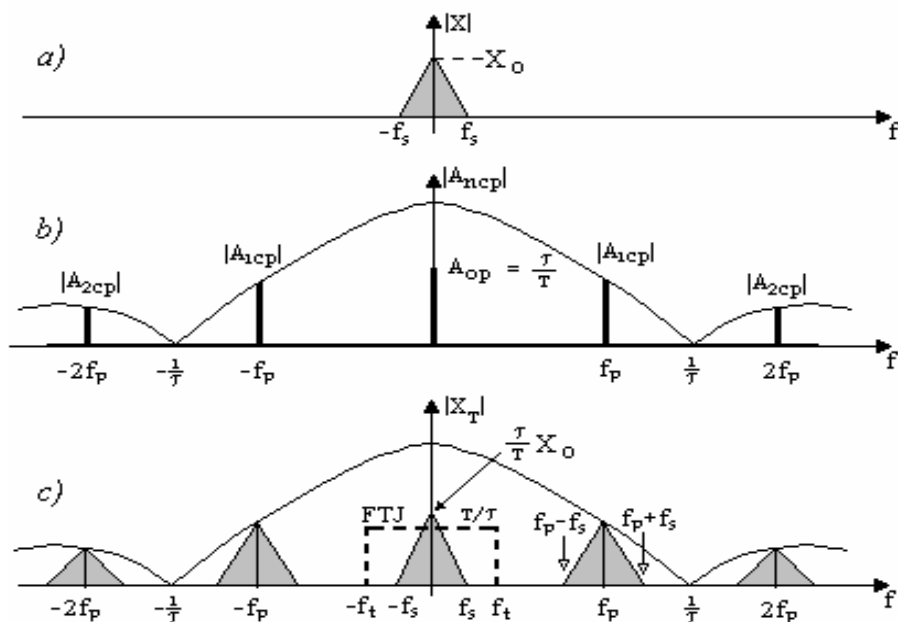


Figura 5.6. Filtrarea semnalului eșantionat (a) și caracteristica ideală (b).

$$X_r(f) = X_T(f) \cdot F(f)$$

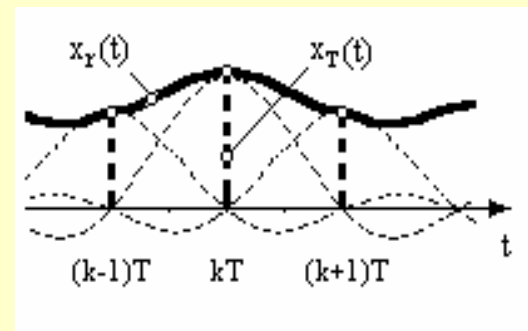
5. SEMNALE ESANTIONATE

5.5 Reconstituirea semnalelor esantionate

$$X_r(f) = X_T(f) \cdot F(f) \Rightarrow x_r(t) = x_T(t) \otimes \varphi(t) \text{ unde } \varphi(t) = \frac{2f_c}{f_p} \cdot \text{Sa}(2\pi f_c t)$$

$$x_r(t) = \int_{-\infty}^{\infty} \sum_{k=-\infty}^{\infty} x(kT) \delta(\tau - kT) \text{Sa} [2\pi f_c(t - \tau)] d\tau = \sum_{k=-\infty}^{\infty} x(kT) \int_{-\infty}^{\infty} \delta(\tau - kT) \text{Sa} [\pi f_p(t - \tau)] d\tau$$

$$x(t) = \sum_{k=-\infty}^{\infty} x(kT) \text{Sa}[\pi f_p(t - kT)]$$



5. SEMNALE ESANTIONATE

5.5 Reconstituirea semnalelor esantionate

Filtrarea prin extrapolare

$$x_r(t) = x(kT) + x'(kT)(t - kT) + \frac{x''(kT)}{2}(t - kT)^2 + \dots, \quad t \in [kT, (k+1)T)$$

$$x'(kT) = \frac{1}{T} \{x(kT) - x[(k-1)T]\}$$

$$\text{unde: } x''(kT) = \frac{1}{T^2} \{x(kT) - 2x[(k-1)T] + x[(k-2)T]\}$$

...

5. SEMNALE ESANTIONATE

5.5 Reconstituirea semnalelor esantionate

Extrapolatorul de ordin zero

$$x_r(t) = x(kT), \quad t \in [kT, (k+1)T]$$

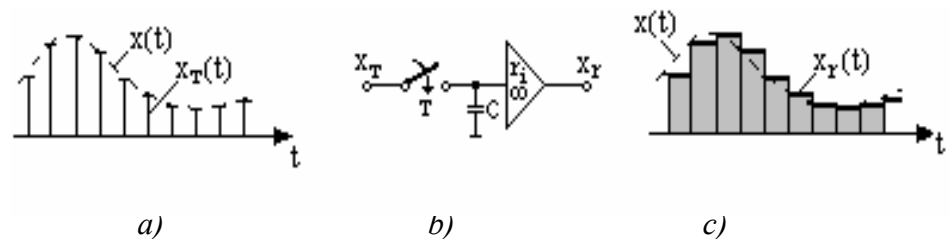


Figura 5.8. Extrapolator de ordinul zero.

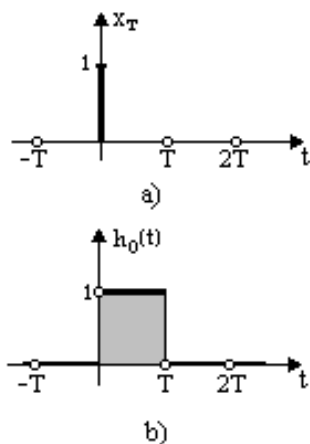


Figura 5.9. Funcția pondere a extrapolatorului de ordin zero.

$$\Rightarrow H_0(f) = T \cdot \text{Sa}(\pi fT) \cdot e^{-j2\pi f \frac{T}{2}}$$

5. SEMNALE ESANTIONATE

5.5 Reconstituirea semnalelor esantionate

$$X_r(f) = X_T(f) \cdot H_0(f)$$

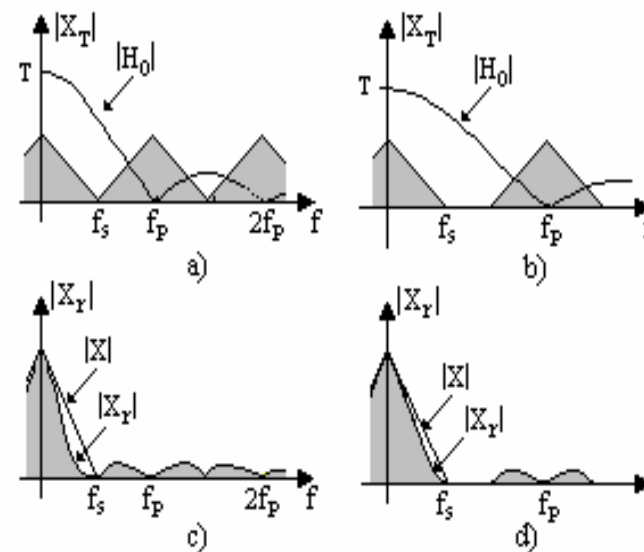


Figura 5.10. Analiza în frecvență a extrapolatorului de ordinul zero.

5. SEMNALE ESANTIONATE

5.5 Reconstituirea semnalelor esantionate

Extrapolatorul de ordinul I

$$x_r(t) = x(kT) + \frac{x(kT) - x[(k-1)T]}{T}(t - kT) , \text{ pentru } t \in [kT, (k+1)T]$$

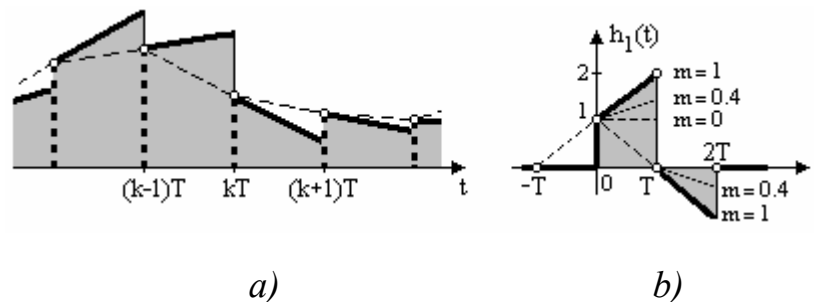


Figura 5.11. Răspunsul extrapolatorului de ordinul I (a)
și funcția sa pondere (b).

5. SEMNALE ESANTIONATE

5.5 Reconstituirea semnalelor esantionate

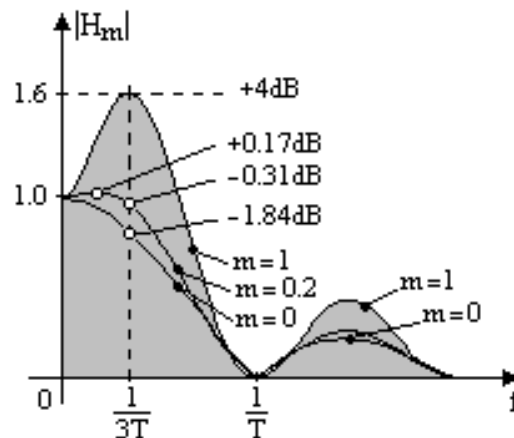


Figura 5.12. Caracteristici de frecvență ale extrapolatoarelor de ordin cuprins între 0 și 1

5. SEMNALE ESANTIONATE

5.5 Reconstituirea semnalelor esantionate

Filtrarea combinată

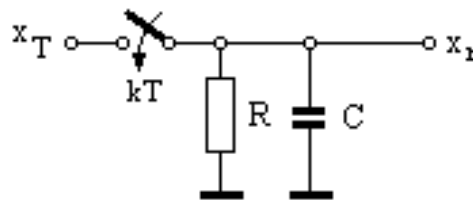
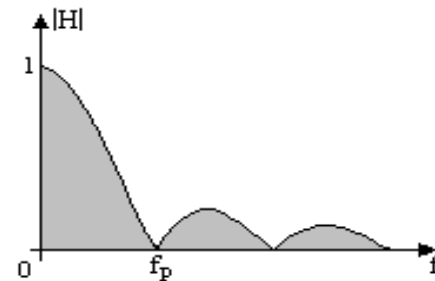
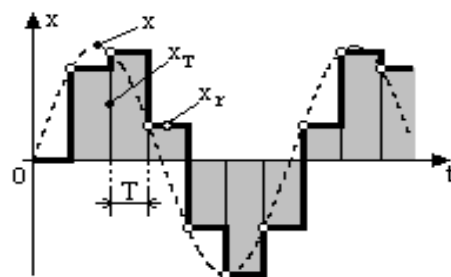


Figura 5.13. Filtru RC trece-jos.

5. SEMNALE ESANTIONATE

5.5 Reconstituirea semnalelor esantionate

$\tau \gg T$



$\tau = 2T$

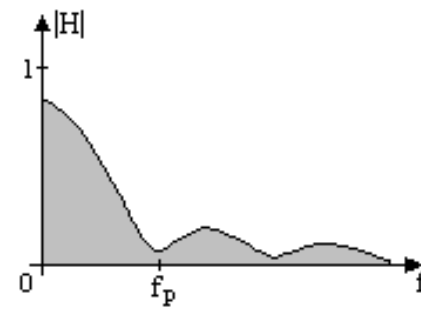
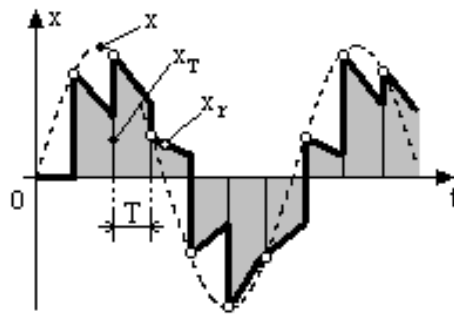


Figura 5.14-15. Comportarea filtrului din figura 5.13

5. SEMNALE ESANTIONATE

5.5 Reconstituirea semnalelor esantionate

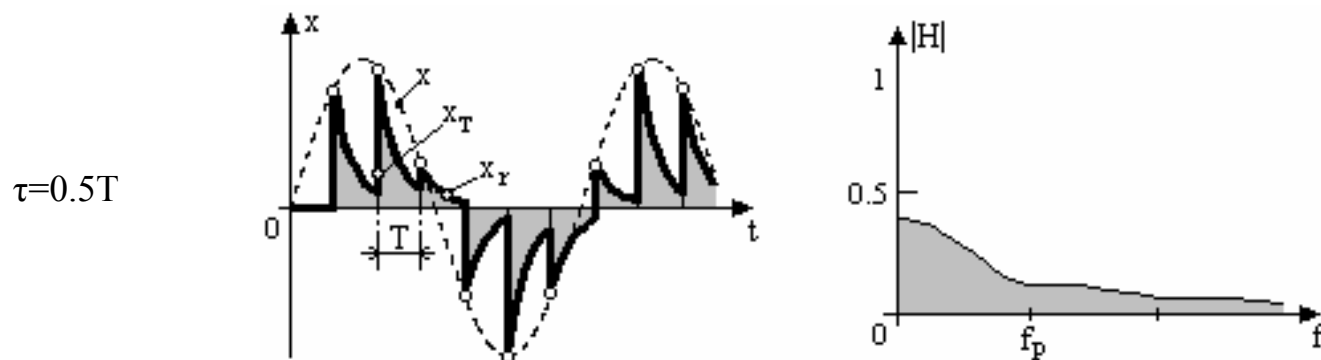


Figura 5.16. Comportarea filtrului din figura 5.13

SCS I : Teoria semnalelor

Capitolul 1. **Introducere**

Capitolul 2. **O privire generală**

Capitolul 3. **Semnale periodice**

Capitolul 4. **Semnale aperiodice**

Capitolul 5. **Semnale eşantionate**

Capitolul 6. ***Semnale modulate***

6. SEMNALE MODULATE

6.1 Consideratii generale

6.2 Modulatia in amplitudine cu purtatoare armonica

6.3 Procedee speciale de modulatie in amplitudine

6.4 Semnale modulate in faza si frecventa

6.5 Efectul perturbatiilor asupra semnalelor modulate

6. SEMNALE MODULATE

6.1 Consideratii generale

Modulatie = transpunerea informatiei continute in *semnalul modulator* asupra unui *semnal purtator* => *semnalul modulat*

Modulatie cu semnalul purtator:

- armonic;
- impulsuri.

6. SEMNALE MODULATE

6.1 Consideratii generale

Modulatie cu semnal purtator armonic:

- semnalul purtator $x_p(t) = X_p \cdot \cos(2\pi f_p t + \varphi_p)$
- semnalul modulat $x_M(t) = X(t) \cdot \cos \Phi(t) = X(t) \cdot \cos(2\pi f_p t + \varphi(t))$
- semnalul modulator $x_m(t)$

Modulatie in amplitudine MA $X(t) \sim x_m(t), \varphi(t) = \varphi_p = cst$

Modulatie in faza MP $X(t) = X_p = cst, \varphi(t) \sim x_m(t)$

Modulatie in frecventa MF $X(t) = X_p = cst, \frac{d\varphi(t)}{dt} \sim x_m(t)$

6. SEMNALE MODULATE

6.1 Consideratii generale

Modulatie cu semnal purtator armonic

$$x_M(t) = X(t) \cdot \cos \Phi(t) = X(t) \cdot \cos(2\pi f_p t + \varphi(t))$$

\Downarrow

$$\text{fazor} \quad \underline{x_M} = X(t) \cdot e^{j\varphi(t)}$$

$$x_M(t) = \operatorname{Re} \left\{ \underline{x_M} \cdot e^{j2\pi f_p t} \right\}$$

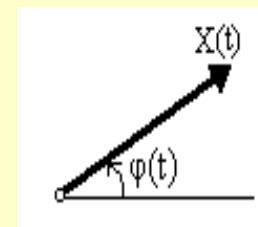


Figura 6.1. Reprezentarea fazorială a unui semnal modulat.

6. SEMNALE MODULATE

6.2 Modulația în amplitudine cu purtătoare armonică

$$x_{MA}(t) = X_p [1 + m \cdot x_m(t)] \cdot \cos(2\pi f_p t + \varphi_p) = X_p [1 + g_m(t)] \cdot \cos(2\pi f_p t + \varphi_p)$$

Dacă $\min\{x_m(t)\} = -1 \Rightarrow m = \text{grad de modulație}$

Anvelope:

$$I_+ = X_p [1 + g_m(t)] = X_p [1 + m x_m(t)]$$

$$I_- = -X_p [1 + g_m(t)] = -X_p [1 + m x_m(t)]$$

Dacă $\min\{g_m(t)\} < -1 \Rightarrow \text{intrepatrunderea anvelopelor} = \text{supramodulație (figura 6.2c)}$

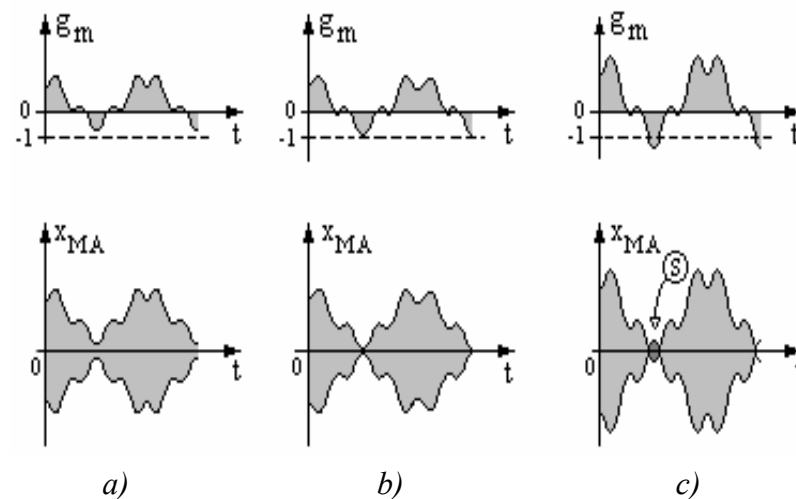


Figura 6.2. Funcția modulatorie controlează amplitudinea semnalului modulat.

6. SEMNALE MODULATE

6.2 Modulația în amplitudine cu purtătoare armonică

Pt. modulator armonic: $x_{MA}(t) = X_p [1 + m \cos(2\pi f_m t + \varphi_m)] \cdot \cos(2\pi f_p t + \varphi_p)$

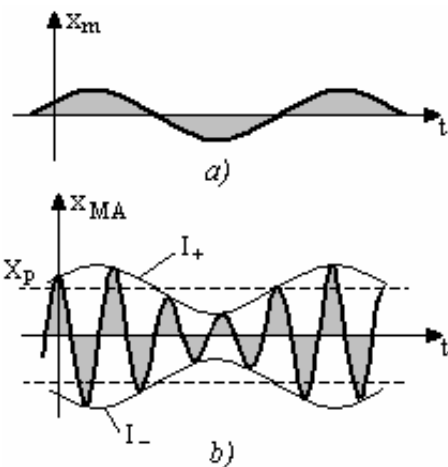


Figura 6.3. (a) – semnalul modulator armonic; (b) – SMA corespunzător.

$$m = \frac{X_{\max} - X_{\min}}{X_{\max} + X_{\min}}$$

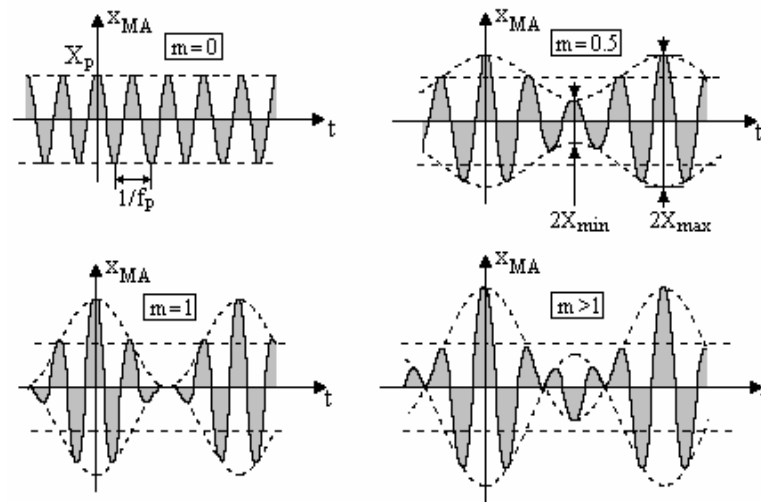


Figura 6.4. Semnale MA cu diferite grade de modulație.

6. SEMNALE MODULATE

6.2 Modulația în amplitudine cu purtătoare armonică

pt. modulator armonic: $x_m(t) = \cos(2\pi f_m t + \varphi_m)$

$$\begin{aligned} x_{MA}(t) &= X_p \left[1 + m \cos(2\pi f_m t + \varphi_m) \right] \cdot \cos(2\pi f_p t + \varphi_p) = \\ &= X_p \cdot \cos(2\pi f_p t + \varphi_p) + \\ &+ \frac{m}{2} \cdot X_p \cdot \cos \left[2\pi(f_p + f_m)t + \varphi_p + \varphi_m \right] + \\ &+ \frac{m}{2} \cdot X_p \cdot \cos \left[2\pi(f_p - f_m)t + \varphi_p - \varphi_m \right] \end{aligned}$$

$$P_{MA} = P_p \cdot \left(1 + \frac{m^2}{2} \right) \quad P_p \leq P_{MA} \leq 1.5 P_p$$

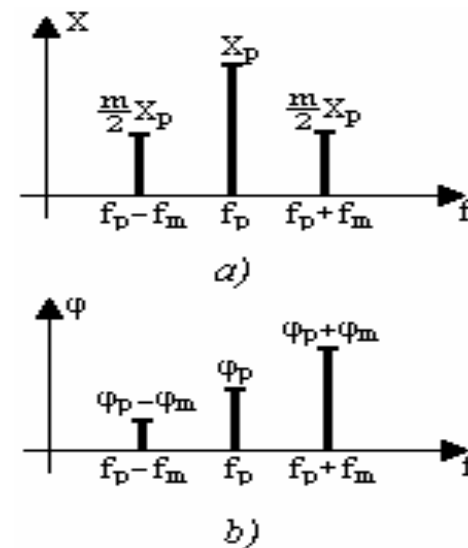


Figura 6.5. Spectrul unui SMA cu modulator armonică.

6. SEMNALE MODULATE

6.2 Modulația în amplitudine cu purtătoare armonică

Pt. modulatori armonici

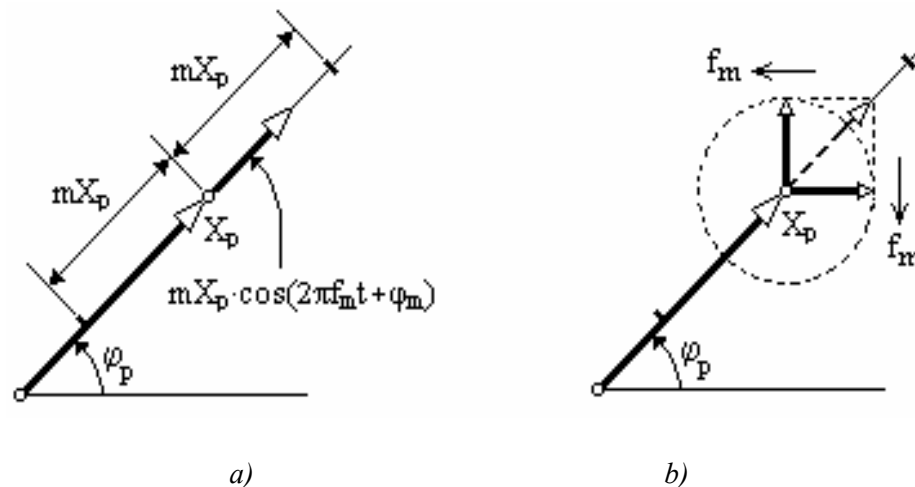


Figura 6.6. Reprezentări vectoriale.

6. SEMNALE MODULATE

6.2 Modulația în amplitudine cu purtătoare armonică

pt. modulația periodică sau cvasiperiodică: $x_m(t) = \sum_{k=1}^{\infty} X_k \cdot \cos(2\pi f_k t + \varphi_k)$

$$x_{MA}(t) = X_p \left[1 + \sum_{k=1}^{\infty} m_k \cdot \cos(2\pi f_k t + \varphi_k) \right] \cdot \cos(2\pi f_p t + \varphi_p)$$

$$P_{MA} = P_p \left(1 + \frac{1}{2} \sum_{k=1}^{\infty} m_k^2 \right)$$

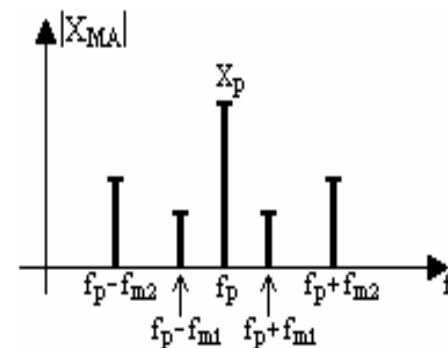


Figura 6.7. Spectrul SMA.

6. SEMNALE MODULATE

6.2 Modulația în amplitudine cu purtătoare armonică

pt. modulator impuls:

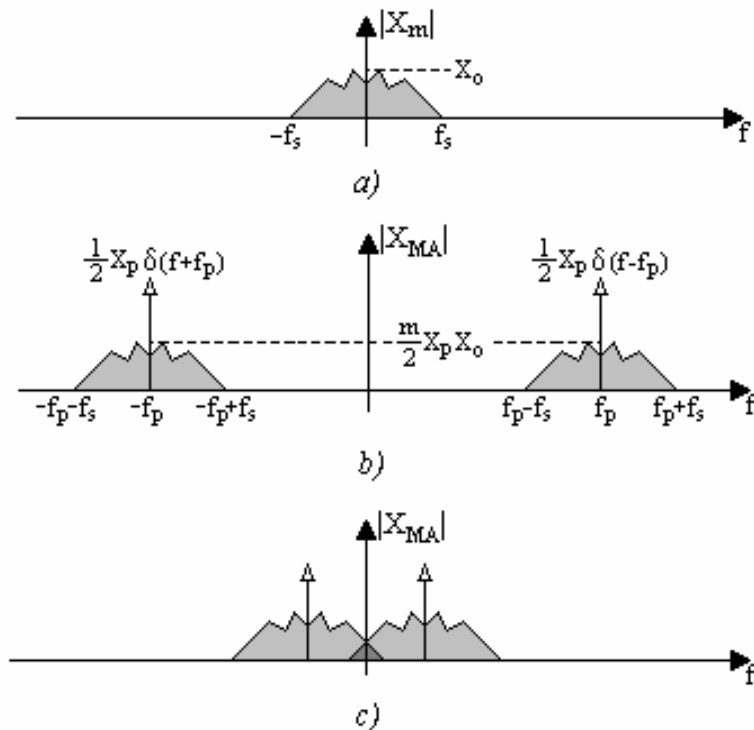
$$x_{MA}(t) = X_p \cdot \cos(2\pi f_p t + \varphi_p) + \\ + \frac{m}{2} \cdot X_p \cdot e^{j\varphi_p} \left[x_m(t) \cdot e^{j2\pi f_p t} \right] + \frac{m}{2} \cdot X_p \cdot e^{-j\varphi_p} \left[x_m(t) \cdot e^{-j2\pi f_p t} \right]$$

⇓

$$X_{MA}(f) = \frac{1}{2} X_p \left[e^{j\varphi_p} \cdot \delta(f - f_p) + e^{-j\varphi_p} \cdot \delta(f + f_p) \right] + \\ + \frac{m}{2} \cdot X_p \cdot e^{j\varphi_p} \cdot X_m(f - f_p) + \frac{m}{2} \cdot X_p \cdot e^{-j\varphi_p} \cdot X_m(f + f_p)$$

6. SEMNALE MODULATE

6.2 Modulația în amplitudine cu purtătoare armonică



$$f_p - f_s > 0 \Rightarrow f_p > f_s$$

Figura 6.8. Spectrul SMA cu modulator impuls.

6. SEMNALE MODULATE

6.2 Modulația în amplitudine cu purtătoare armonică

Demodularea semnalelor MA = Detectie de anvelopă

Detector de anvelopă = redresor + filtru trece-jos

Redresare dubla-alternanță

$$x_{r2}(t) = \frac{2}{\pi} X_p + \frac{2}{\pi} m X_p x_m(t) +$$

$$+ \frac{4}{3\pi} X_p [1 + m x_m(t)] \cos(2\pi \cdot 2f_p t + 2\varphi_p) -$$

$$- \frac{4}{15\pi} X_p [1 + m x_m(t)] \cos(2\pi \cdot 4f_p t + 4\varphi_p) + \dots$$

Redresare mono-alternanță

$$x_{r1}(t) = \frac{1}{\pi} + \frac{1}{2} \cos(2\pi f_p t + \varphi_p) + \frac{2}{3\pi} \cos(2\pi \cdot 2f_p t + 2\varphi_p) -$$

$$- \frac{2}{15\pi} \cos(2\pi \cdot 4f_p t + 4\varphi_p) + \dots$$

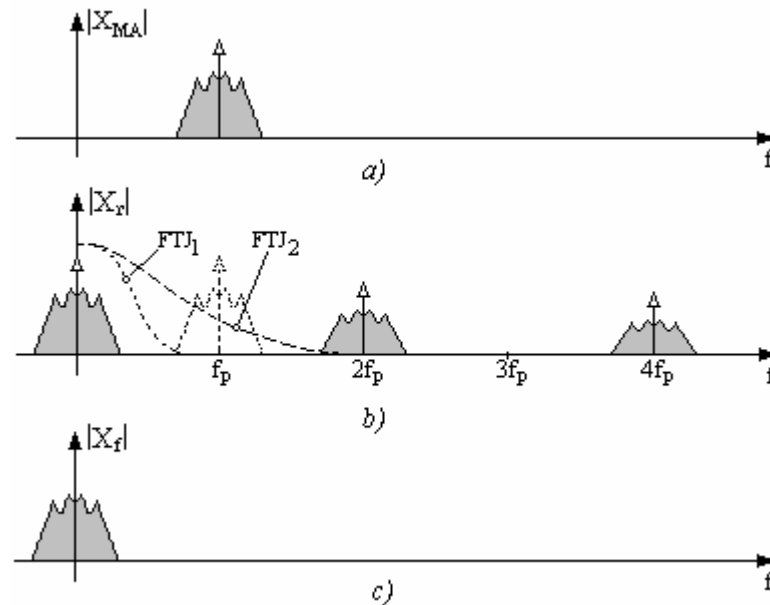


Figura 6.9. Demodularea semnalului MA – spectre.

6. SEMNALE MODULATE

6.2 Modulația în amplitudine cu purtătoare armonică

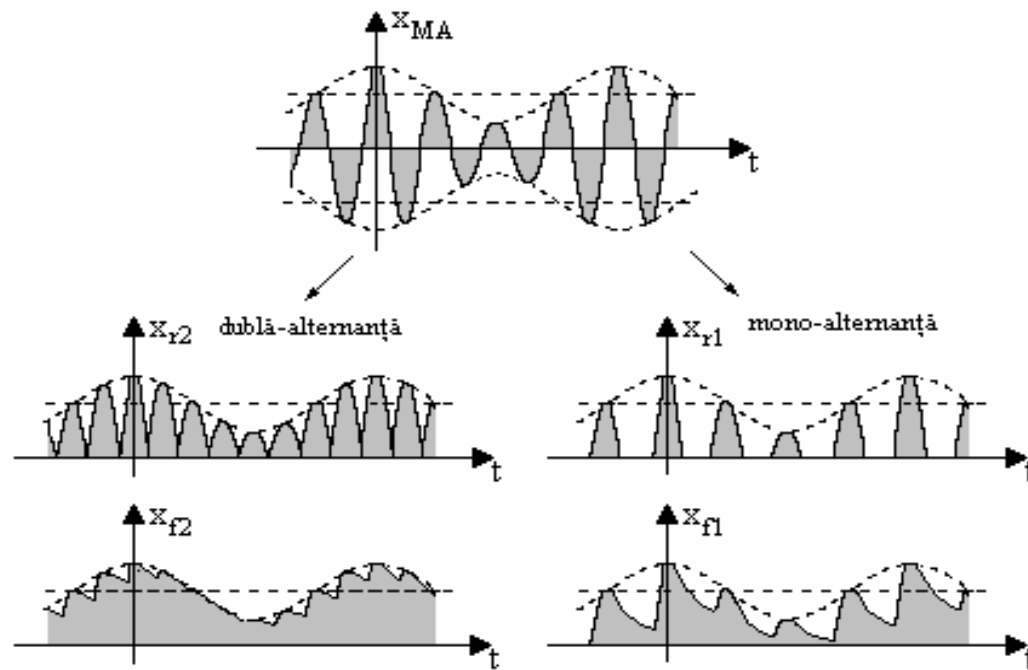


Figura 6.10. Demodularea semnalelor MA – domeniul timp.

6. SEMNALE MODULATE

6.3 Procedee speciale de modulație în amplitudine

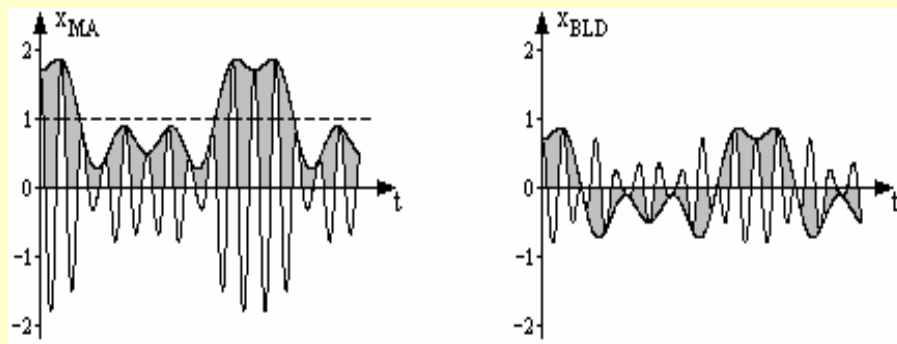
- **modulație cu banda laterală dublă – BLD**
- **modulație cu banda laterală unică – BLU**
- **modulație cu rest de bandă laterală – RBL**
- **dublă modulație în amplitudine – DMA**
- **modulația polară – MPO**
- **dublă modulație în cuadratură - DMC**

6. SEMNALE MODULATE

6.3 Procedee speciale de modulație în amplitudine

BLD = banda laterală dubla (și purtătoare suprimată)

$$x_{BLD}(t) = m \cdot x_m(t) \cdot X_p \cos(2\pi f_p t + \varphi_p)$$



a)

b)

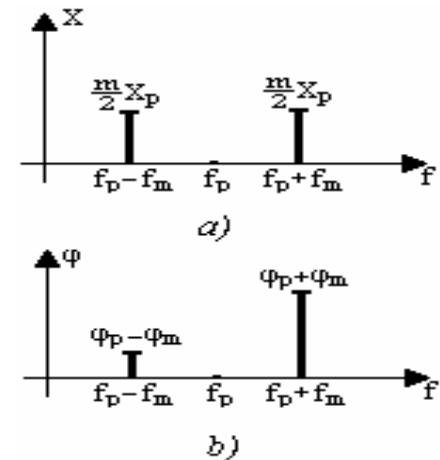
Figura 6.11. Comparație între MA și modulația BLD.

6. SEMNALE MODULATE

6.3 Procedee speciale de modulație în amplitudine

BLD cu modulatorare armonică: $x_m(t) = \cos(2\pi f_m t + \varphi_m)$

$$\begin{aligned} x_{BLD}(t) &= m \cos(2\pi f_m t + \varphi_m) X_p \cos(2\pi f_p t + \varphi_p) = \\ &= \frac{m}{2} X_p \cos[2\pi(f_p + f_m)t + \varphi_p + \varphi_m] + \\ &+ \frac{m}{2} X_p \cos[2\pi(f_p - f_m)t + \varphi_p - \varphi_m] \end{aligned}$$



Spectrul unui BLD cu modulatorare armonică.

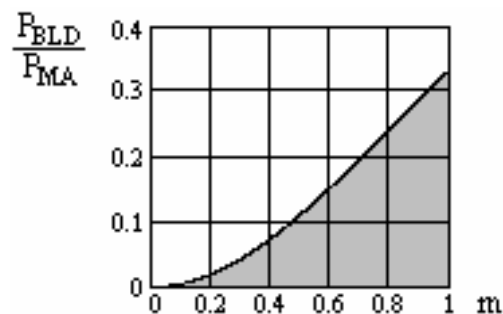


Figura 6.12. Reducerea de putere.

$$P_{BLD} = \frac{m^2}{2} P_p \Rightarrow \frac{P_{BLD}}{P_{MA}} = \frac{m^2}{2 + m^2}$$

$$B_{BLD} = 2B_m$$

6. SEMNALE MODULATE

6.3 Procedee speciale de modulație în amplitudine

Demodularea BLD = detecție sincronă

Generare oscilație locală:

$$x_{OL}(t) = \cos(2\pi f_{OL}t + \varphi_{OL}) \text{ unde } f_{OL} \simeq f_p, \varphi_{OL} \simeq \varphi_p$$

Modulație de produs:

$$x_r(t) = x_{BLD}(t) \cdot x_{OL}(t) = mX_p x_m(t) \cdot \cos(2\pi f_p t + \varphi_p) \cdot \cos(2\pi f_{OL}t + \varphi_{OL})$$

$$\text{Dacă } f_p - f_{OL} = \Delta f ; \varphi_p - \varphi_{OL} = \Delta \varphi ; f_p + f_{OL} \cong 2f_p$$

$$\text{atunci } x_r(t) = \frac{m}{2} X_p x_m(t) \cdot \cos(2\pi \Delta f \cdot t + \Delta \varphi) + \frac{m}{2} X_p x_m(t) \cdot \cos(2\pi \cdot 2f_p t + \varphi_p + \varphi_{OL})$$

Filtrare:

$$x_f(t) = \frac{m}{2} X_p x_m(t) \cdot \cos(2\pi \Delta f \cdot t + \Delta \varphi)$$

6. SEMNALE MODULATE

6.3 Procedee speciale de modulație în amplitudine

$$x_f(t) = \frac{m}{2} X_p x_m(t) \cdot \cos(2\pi \Delta f \cdot t + \Delta \varphi)$$

Acord în fază și frecvență:

$$\Delta f = 0, \Delta \varphi = 0 \Rightarrow x_f(t) = \frac{m}{2} X_p x_m(t)$$

Dezacord în fază

$$\Delta f = 0, \Delta \varphi \neq 0 \Rightarrow x_f(t) = \frac{m}{2} X_p x_m(t) \cdot \cos \Delta \varphi$$

$$!! \Delta \varphi = \frac{\pi}{2} \Rightarrow x_f(t) = 0$$

Dezacord în frecvență → batai

$$\Delta f \neq 0, \Delta \varphi = 0 \Rightarrow x_f(t) = \frac{m}{2} X_p x_m(t) \cdot \cos(2\pi \Delta f \cdot t)$$

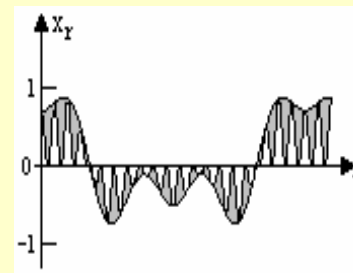


Figura 6.13. Detecția sincronă

6. SEMNALE MODULATE

6.3 Procedee speciale de modulație în amplitudine

BLU = banda laterală unică

→ suprimarea purtătoarei și a unei benzi laterale

$$B_{BLU} = B_m$$

BLU cu modulator armonic: $x_m(t) = \cos(2\pi f_m t + \varphi_m)$

$$x_{BLU_s}(t) = \frac{m}{2} X_p \cos[2\pi(f_p + f_m)t + \varphi_p + \varphi_m]$$

$$x_{BLU_i}(t) = \frac{m}{2} X_p \cos[2\pi(f_p - f_m)t + \varphi_p - \varphi_m]$$

$$P_{BLU} = \frac{1}{2} \frac{m^2}{2} P_p = \frac{1}{2} P_{BLD}$$

6. SEMNALE MODULATE

6.3 Procedee speciale de modulație în amplitudine

Demodularea BLU = detecție sincronă

Pentru $x_{BLU}(t) = \frac{m}{2} X_p \cos[2\pi(f_p + f_m)t + \varphi_p + \varphi_m]$

$$\Rightarrow x_r(t) = x_{BLU}(t) \cdot x_{OL}(t) =$$

$$= \frac{m}{2} X_p \cos[2\pi(f_p + f_m)t + \varphi_p + \varphi_m] \cdot \cos(2\pi f_{OL}t + \varphi_{OL}) =$$

$$= \frac{m}{4} X_p \cos[2\pi(f_m + \Delta f)t + \varphi_m + \Delta\varphi] +$$

$$+ \frac{m}{4} X_p \cos[2\pi(2f_p + f_m)t + \varphi_p + \varphi_{OL} + \varphi_m]$$

$$x_f(t) = \frac{m}{4} X_p \cos[2\pi(f_m + \Delta f)t + \varphi_m + \Delta\varphi]$$

6. SEMNALE MODULATE

6.3 Procedee speciale de modulație în amplitudine

$$x_f(t) = \frac{m}{4} X_p \cos[2\pi(f_m + \Delta f)t + \varphi_m + \Delta\varphi]$$

Acord în fază și frecvență:

$$\Delta f = 0, \Delta\varphi = 0 \Rightarrow x_f(t) = \frac{m}{4} X_p \cos(2\pi f_m t + \varphi_m)$$

Dezacord în fază

$$\Delta f = 0, \Delta\varphi \neq 0 \Rightarrow x_f(t) = \frac{m}{2} X_p \cdot \cos(2\pi f_m t + \varphi_m + \Delta\varphi)$$

Dezacord în frecvență

$$\Delta f \neq 0, \Delta\varphi = 0 \Rightarrow x_f(t) = \frac{m}{2} X_p \cdot \cos[2\pi(f_m + \Delta f)t + \varphi_m]$$

SCS I : Teoria semnalelor

Capitolul 1. **Introducere**

Capitolul 2. **O privire generală**

Capitolul 3. **Semnale periodice**

Capitolul 4. **Semnale aperiodice**

Capitolul 5. **Semnale eşantionate**

Capitolul 6. ***Semnale modulate***

6. SEMNALE MODULATE

6.1 Consideratii generale

6.2 Modulatia in amplitudine cu purtatoare armonica

6.3 Procedee speciale de modulatie in amplitudine

6.4 Semnale modulate in faza si frecventa

6.5 Efectul perturbatiilor asupra semnalelor modulate

6. SEMNALE MODULATE

6.1 Consideratii generale

Modulatie cu semnal purtator armonic:

- semnalul purtator $x_p(t) = X_p \cdot \cos(2\pi f_p t + \varphi_p)$
- semnalul modulat $x_M(t) = X(t) \cdot \cos \Phi(t) = X(t) \cdot \cos(2\pi f_p t + \varphi(t))$
- semnalul modulator $x_m(t)$

Modulatie in amplitudine MA $X(t) \sim x_m(t), \varphi(t) = \varphi_p = cst$

Modulatie in faza MP $X(t) = X_p = cst, \varphi(t) \sim x_m(t)$

Modulatie in frecventa MF $X(t) = X_p = cst, \frac{d\varphi(t)}{dt} \sim x_m(t)$

6. SEMNALE MODULATE

6.2 Modulația în amplitudine cu purtătoare armonică

$$x_{MA}(t) = X_p [1 + m \cdot x_m(t)] \cdot \cos(2\pi f_p t + \varphi_p) = X_p [1 + g_m(t)] \cdot \cos(2\pi f_p t + \varphi_p)$$

Dacă $\min\{x_m(t)\} = -1 \Rightarrow m = \text{grad de modulație}$

Anvelope:

$$I_+ = X_p [1 + g_m(t)] = X_p [1 + m x_m(t)]$$

$$I_- = -X_p [1 + g_m(t)] = -X_p [1 + m x_m(t)]$$

Dacă $\min\{g_m(t)\} < -1 \Rightarrow \text{intrepatrunderea anvelopelor} = \text{supramodulație (figura 6.2c)}$

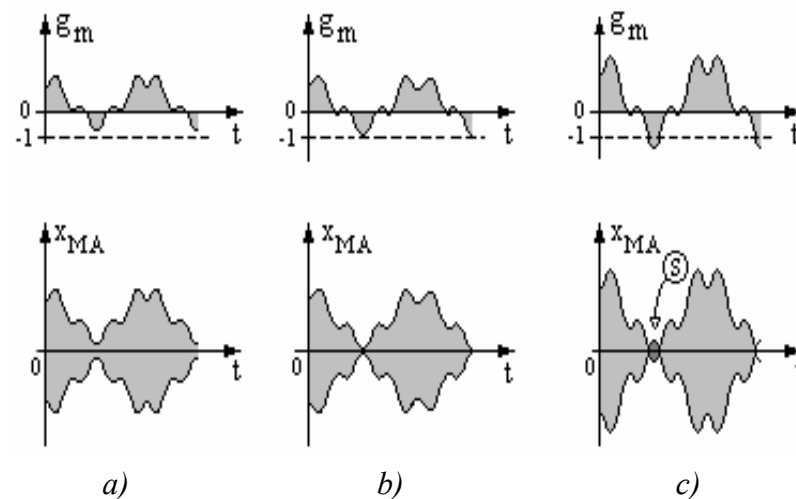


Figura 6.2. Funcția modulatorie controlează amplitudinea semnalului modulat.

6. SEMNALE MODULATE

6.3 Procedee speciale de modulație în amplitudine

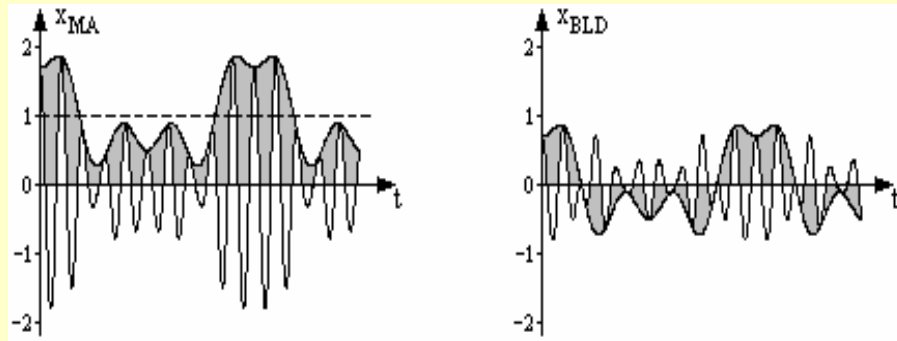
- **modulație cu banda laterală dublă – BLD**
- **modulație cu banda laterală unică – BLU**
- **modulație cu rest de bandă laterală – RBL**
- **dublă modulație în amplitudine – DMA**
- **modulația polară – MPO**
- **dublă modulație în cuadratură - DMC**

6. SEMNALE MODULATE

6.3 Procedee speciale de modulație în amplitudine

BLD = banda laterală dubla (și purtătoare suprimată)

$$x_{BLD}(t) = m \cdot x_m(t) \cdot X_p \cos(2\pi f_p t + \varphi_p)$$



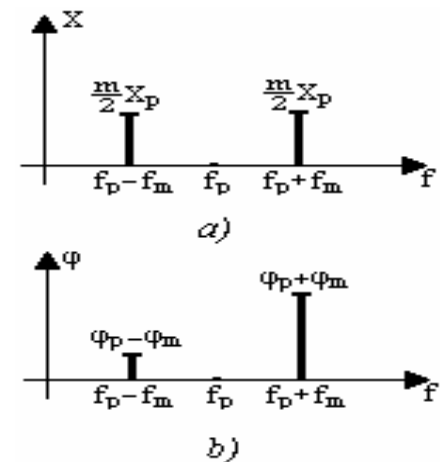
a) b)
Figura 6.11. Comparație între MA și modulația BLD.

6. SEMNALE MODULATE

6.3 Procedee speciale de modulație în amplitudine

BLD cu modulatorare armonică: $x_m(t) = \cos(2\pi f_m t + \varphi_m)$

$$\begin{aligned} x_{BLD}(t) &= m \cos(2\pi f_m t + \varphi_m) X_p \cos(2\pi f_p t + \varphi_p) = \\ &= \frac{m}{2} X_p \cos[2\pi(f_p + f_m)t + \varphi_p + \varphi_m] + \\ &+ \frac{m}{2} X_p \cos[2\pi(f_p - f_m)t + \varphi_p - \varphi_m] \end{aligned}$$



Spectrul unui BLD cu modulatorare armonică.

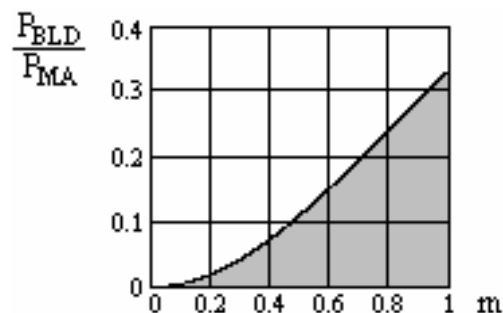


Figura 6.12. Reducerea de putere.

$$P_{BLD} = \frac{m^2}{2} P_p \Rightarrow \frac{P_{BLD}}{P_{MA}} = \frac{m^2}{2 + m^2}$$

$$B_{BLD} = 2B_m$$

6. SEMNALE MODULATE

6.3 Procedee speciale de modulație în amplitudine

Demodularea BLD = detecție sincronă

Generare oscilație locală:

$$x_{OL}(t) = \cos(2\pi f_{OL}t + \varphi_{OL}) \text{ unde } f_{OL} \simeq f_p, \varphi_{OL} \simeq \varphi_p$$

Modulație de produs:

$$x_r(t) = x_{BLD}(t) \cdot x_{OL}(t) = mX_p x_m(t) \cdot \cos(2\pi f_p t + \varphi_p) \cdot \cos(2\pi f_{OL}t + \varphi_{OL})$$

$$\text{Dacă } f_p - f_{OL} = \Delta f ; \varphi_p - \varphi_{OL} = \Delta\varphi ; f_p + f_{OL} \cong 2f_p$$

$$\text{atunci } x_r(t) = \frac{m}{2} X_p x_m(t) \cdot \cos(2\pi \Delta f \cdot t + \Delta\varphi) + \frac{m}{2} X_p x_m(t) \cdot \cos(2\pi \cdot 2f_p t + \varphi_p + \varphi_{OL})$$

Filtrare:

$$x_f(t) = \frac{m}{2} X_p x_m(t) \cdot \cos(2\pi \Delta f \cdot t + \Delta\varphi)$$

6. SEMNALE MODULATE

6.3 Procedee speciale de modulație în amplitudine

$$x_f(t) = \frac{m}{2} X_p x_m(t) \cdot \cos(2\pi \Delta f \cdot t + \Delta \varphi)$$

Acord în fază și frecvență:

$$\Delta f = 0, \Delta \varphi = 0 \Rightarrow x_f(t) = \frac{m}{2} X_p x_m(t)$$

Dezacord în fază

$$\Delta f = 0, \Delta \varphi \neq 0 \Rightarrow x_f(t) = \frac{m}{2} X_p x_m(t) \cdot \cos \Delta \varphi$$

$$!! \Delta \varphi = \frac{\pi}{2} \Rightarrow x_f(t) = 0$$

Dezacord în frecvență → batai

$$\Delta f \neq 0, \Delta \varphi = 0 \Rightarrow x_f(t) = \frac{m}{2} X_p x_m(t) \cdot \cos(2\pi \Delta f \cdot t)$$

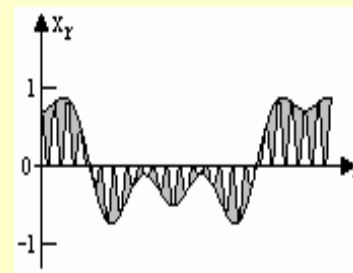


Figura 6.13. Detecția sincronă

6. SEMNALE MODULATE

6.3 Procedee speciale de modulație în amplitudine

BLU = banda laterală unică

→ suprimarea purtătoarei și a unei benzi laterale

$$B_{BLU} = B_m$$

BLU cu modulator armonic: $x_m(t) = \cos(2\pi f_m t + \varphi_m)$

$$x_{BLU_s}(t) = \frac{m}{2} X_p \cos[2\pi(f_p + f_m)t + \varphi_p + \varphi_m]$$

$$x_{BLU_i}(t) = \frac{m}{2} X_p \cos[2\pi(f_p - f_m)t + \varphi_p - \varphi_m]$$

$$P_{BLU} = \frac{1}{2} \frac{m^2}{2} P_p = \frac{1}{2} P_{BLD}$$

6. SEMNALE MODULATE

6.3 Procedee speciale de modulație în amplitudine

Demodularea BLU = detecție sincronă

Pentru $x_{BLU}(t) = \frac{m}{2} X_p \cos[2\pi(f_p + f_m)t + \varphi_p + \varphi_m]$

$$\Rightarrow x_r(t) = x_{BLU}(t) \cdot x_{OL}(t) =$$

$$= \frac{m}{2} X_p \cos[2\pi(f_p + f_m)t + \varphi_p + \varphi_m] \cdot \cos(2\pi f_{OL}t + \varphi_{OL}) =$$

$$= \frac{m}{4} X_p \cos[2\pi(f_m + \Delta f)t + \varphi_m + \Delta\varphi] +$$

$$+ \frac{m}{4} X_p \cos[2\pi(2f_p + f_m)t + \varphi_p + \varphi_{OL} + \varphi_m]$$

$$x_f(t) = \frac{m}{4} X_p \cos[2\pi(f_m + \Delta f)t + \varphi_m + \Delta\varphi]$$

6. SEMNALE MODULATE

6.3 Procedee speciale de modulație în amplitudine

$$x_f(t) = \frac{m}{4} X_p \cos[2\pi(f_m + \Delta f)t + \varphi_m + \Delta\varphi]$$

Acord în fază și frecvență:

$$\Delta f = 0, \Delta\varphi = 0 \Rightarrow x_f(t) = \frac{m}{4} X_p \cos(2\pi f_m t + \varphi_m)$$

Dezacord în fază

$$\Delta f = 0, \Delta\varphi \neq 0 \Rightarrow x_f(t) = \frac{m}{2} X_p \cdot \cos(2\pi f_m t + \varphi_m + \Delta\varphi)$$

Dezacord în frecvență

$$\Delta f \neq 0, \Delta\varphi = 0 \Rightarrow x_f(t) = \frac{m}{2} X_p \cdot \cos[2\pi(f_m + \Delta f)t + \varphi_m]$$

6. SEMNALE MODULATE

6.3 Procedee speciale de modulație în amplitudine

RBL = rest de bandă laterală

→ suprimarea parțială a unei benzi laterale

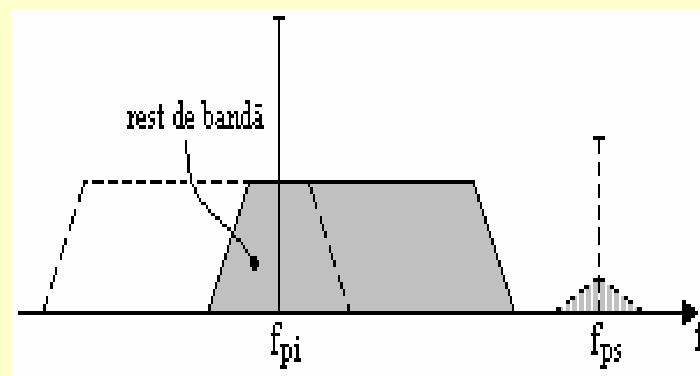


Figura 6.17. Spectrul semnalului RBL

6. SEMNALE MODULATE

6.3 Procedee speciale de modulație în amplitudine

DMA = dubla modulație de amplitudine

$$x_{DMA}(t) = X_p \left\{ 1 + [1 + m \cdot x_m(t)] \cdot \cos(2\pi f_{sp}t + \varphi_{sp}) \right\} \cdot \cos(2\pi f_p t)$$

$$B_{DMA} = 2(f_{sp} + B_m)$$

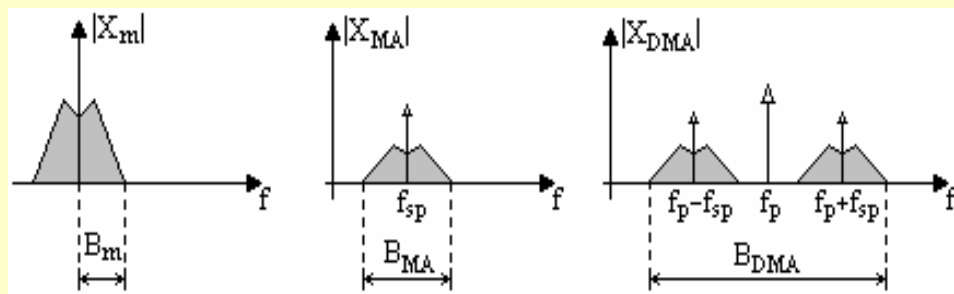


Figura 6.18. Spectrul semnalului DMA.

6. SEMNALE MODULATE

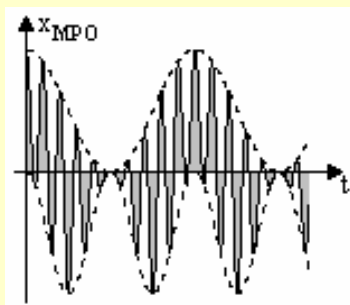
6.3 Procedee speciale de modulație în amplitudine

MPO = modulație polară

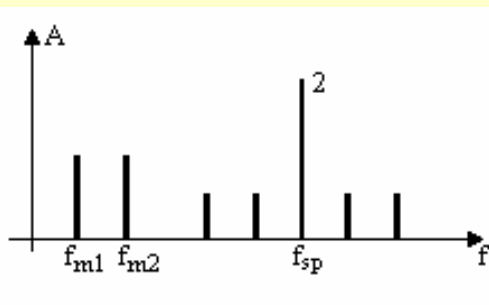
$$x_{MPO}(t) = [x_{m1}(t) + x_{m2}(t)] + [2 + x_{m1}(t) - x_{m2}(t)] \cdot \cos(2\pi f_{sp}t)$$

anvelope $I_+ = 2 [1 + x_{m1}(t)]$
 $I_- = -2 [1 + x_{m2}(t)]$

$$B_{MPO} = f_{sp} + \max(B_{m1}, B_{m2})$$



a)



b)

Figura 6.19. Semnal modulată polară (a) și spectrul său (b).

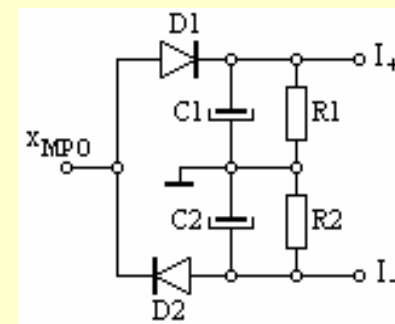


Figura 6.20. Demodularea semnalului MPO.

6. SEMNALE MODULATE

6.3 Procedee speciale de modulație în amplitudine

Semnalul stereo-multiplex SSM

$$x_{SM}(t) = M(t) + S(t) \cdot \cos(2\pi f_{sp}t) + P \cdot \cos\left(2\pi \frac{f_{sp}}{2}t\right)$$

unde: $M(t) = \frac{1}{2} \cdot [L(t) + R(t)]$; $S(t) = \frac{1}{2} \cdot [L(t) - R(t)]$

$L(t)$ = semnalul audio canal stang; $R(t)$ = semnalul audio canal drept

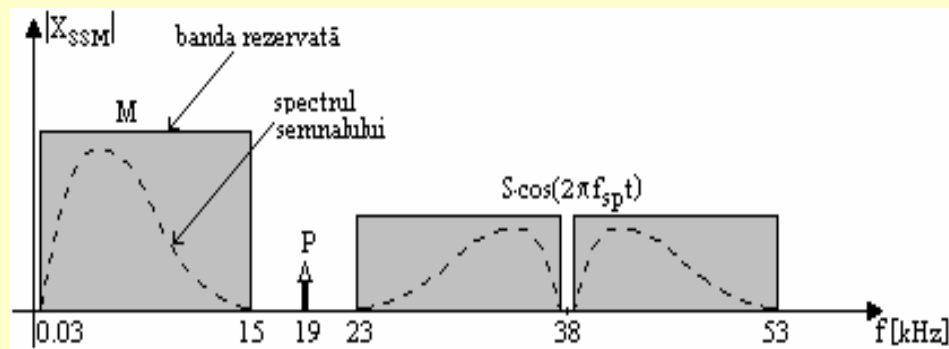


Fig.6.21. Benzile rezervate componentelor SSM.

6. SEMNALE MODULATE

6.3 Procedee speciale de modulație în amplitudine

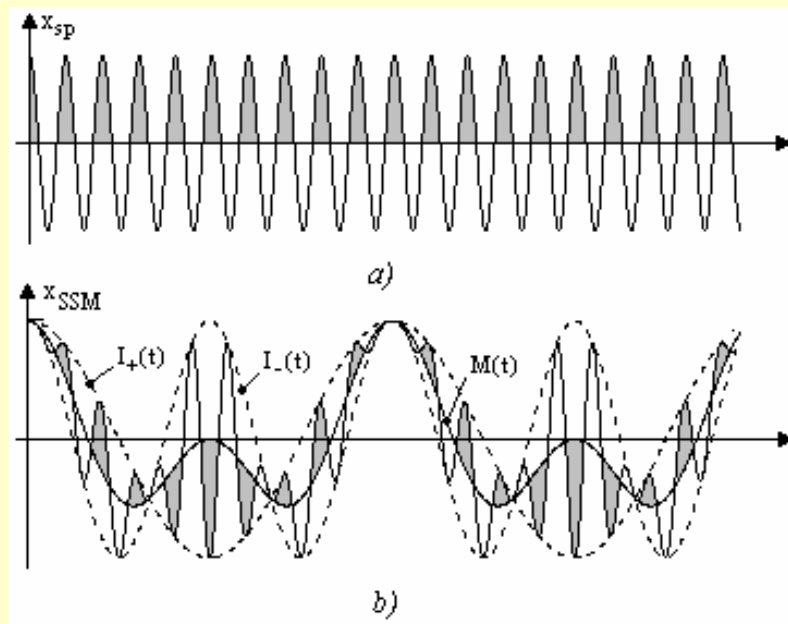


Figura 6.22. Exemplu de semnal stereo-multiplex.

6. SEMNALE MODULATE

6.3 Procedee speciale de modulație în amplitudine

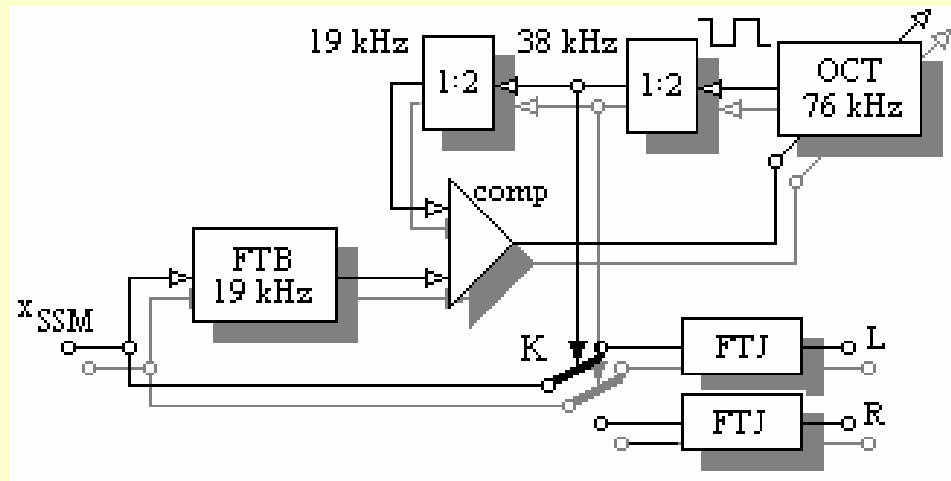


Figura 6.23. Schema de principiu a decodorului stereo.

6. SEMNALE MODULATE

6.3 Procedee speciale de modulație în amplitudine

DMC = dubla modulație în cuadratură

MA: $x_{DMC}(t) = X_p [1 + m_1 x_{m1}(t)] \cdot \cos(2\pi f_{sp} t) + X_p [1 + m_2 x_{m2}(t)] \cdot \sin(2\pi f_{sp} t)$

BLD: $x_{DMC}(t) = m_1 X_p x_{m1}(t) \cdot \cos(2\pi f_{sp} t) + m_2 X_p x_{m2}(t) \cdot \sin(2\pi f_{sp} t)$

$$B_{DMC} = 2 \max(B_{m1}, B_{m2})$$

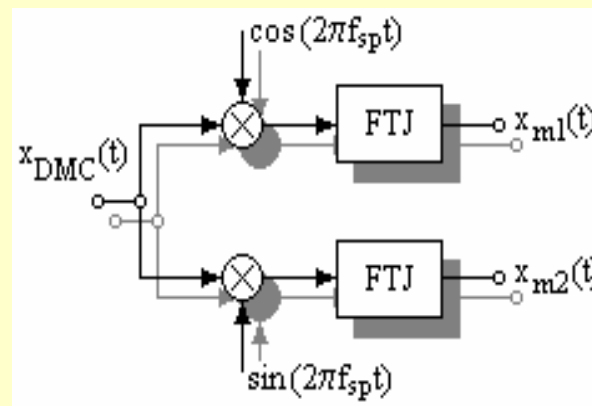


Figura 6.24. Demodularea semnalului DMC.

6. SEMNALE MODULATE

6.3 Procedee speciale de modulație în amplitudine

Semnalul video – color complex (CVBS)

$$X_{CVBS}(t) = X_L(t) + X_C(t) + S_{HVC}(t)$$

unde:

$$X_L(t) = 0.30 \cdot X_R(t) + 0.59 \cdot X_G(t) + 0.11 \cdot X_B(t) \quad \text{- luminanța}$$

$$X_C(t) = 0.493 \cdot [X_B(t) - X_L(t)] \cdot \cos(2\pi f_{sp}t) \pm$$

- crominanța

$$\pm 0.887 \cdot [X_R(t) - X_L(t)] \cdot \sin(2\pi f_{sp}t)$$

X_R - roșu

X_G - verde

X_B - albastru

S_{HVC} - semnale de sincronizare pe orizontală, pe verticală și de culoare.

6. SEMNALE MODULATE

6.4 Semnale modulate in faza si frecventa

Modulatie in faza MP

$$\varphi(t) = \varphi_p + g_m(t) \Rightarrow x_{MP}(t) = X_p \cos(2\pi f_p t + \varphi_p + g_m(t))$$

Daca

$$x_m(t) = X_m \cos(2\pi f_m t + \varphi_m)$$

atunci

$$g_m(t) = \Delta\varphi \cdot \cos(2\pi f_m t + \varphi_m)$$

$$x_{MP}(t) = X_p \cos[2\pi f_p t + \varphi_p + \Delta\varphi \cdot \cos(2\pi f_m t + \varphi_m)]$$

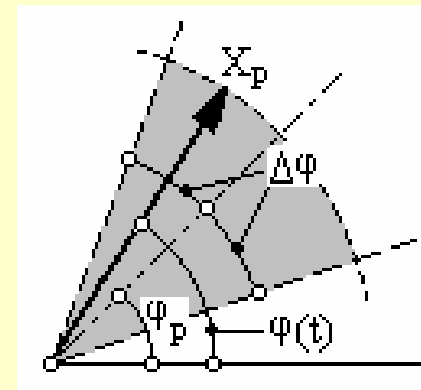


Figura 6.25. Diagrama fazorială.

6. SEMNALE MODULATE

6.4 Semnale modulate în faza și frecvență

Modulație în frecvență MF

$$\begin{aligned}f(t) &= f_p + g_m(t) \\f(t) &= \frac{1}{2\pi} \cdot \frac{d\Phi(t)}{dt} \Rightarrow \Phi(t) = 2\pi f_p \cdot t + \varphi_p + 2\pi \int g_m(t) dt \\ \Rightarrow \quad &\boxed{x_{MF}(t) = X_p \cdot \cos\left(2\pi f_p t + \varphi_p + 2\pi \int g_m(t) dt\right)}\end{aligned}$$

!!! Semnalul modulat în **frecvență** cu funcția $g_m(t)$ este echivalent cu semnalul modulat în **fază** cu integrala funcției $g_m(t)$.

6. SEMNALE MODULATE

6.4 Semnale modulate in faza si frecventa

Daca

$$g_m(t) = \Delta f \cdot \cos(2\pi f_m t + \varphi_m)$$

atunci

$$x_{MF}(t) = X_p \cdot \cos \left[2\pi f_p t + \varphi_p + \frac{\Delta f}{f_m} \cdot \sin(2\pi f_m t + \varphi_m) \right]$$

$$\beta = \frac{\Delta f}{f_m} = \text{indice de modulație}$$

$$x_{MF}(t) = X_p \cdot \cos \left[2\pi f_p t + \varphi_p + \beta \cdot \sin(2\pi f_m t + \varphi_m) \right]$$

6. SEMNALE MODULATE

6.4 Semnale modulate in faza si frecventa

$$x_{MF}(t) = X_p \cdot \cos[2\pi f_p t + \varphi_p + \beta \cdot \sin(2\pi f_m t + \varphi_m)] =$$

$$= X_p \cos \alpha_p \cos(\beta \sin \alpha_m) - X_p \sin \alpha_p \sin(\beta \sin \alpha_m)$$

$$\text{unde : } \alpha_p = 2\pi f_p t + \varphi_p ; \alpha_m = 2\pi f_m t + \varphi_m$$

$$\text{Daca } \begin{cases} \cos(\beta \sin \alpha_m) = J_0(\beta) + 2 \sum_{k=1}^{\infty} J_{2k}(\beta) \cdot \cos(2k\alpha_m) \\ \sin(\beta \sin \alpha_m) = 2 \sum_{k=0}^{\infty} J_{2k+1}(\beta) \cdot \sin[(2k+1)\alpha_m] , \\ (-1)^i J_i(\beta) = J_{-i}(\beta) \end{cases}$$

$$\text{atunci } x_{MF}(t) = \sum_{n=-\infty}^{\infty} X_p J_n(\beta) \cdot \cos(2\pi(f_p + nf_m)t + \varphi_p + n\varphi_m)$$

6. SEMNALE MODULATE

6.4 Semnale modulate in faza si frecventa

$$x_{MF}(t) = \sum_{n=-\infty}^{\infty} X_p J_n(\beta) \cos(2\pi(f_p + nf_m)t + \varphi_p + n\varphi_m)$$

$$P_{MF} = P_{MP} = P_p = \frac{1}{2} X_p^2$$

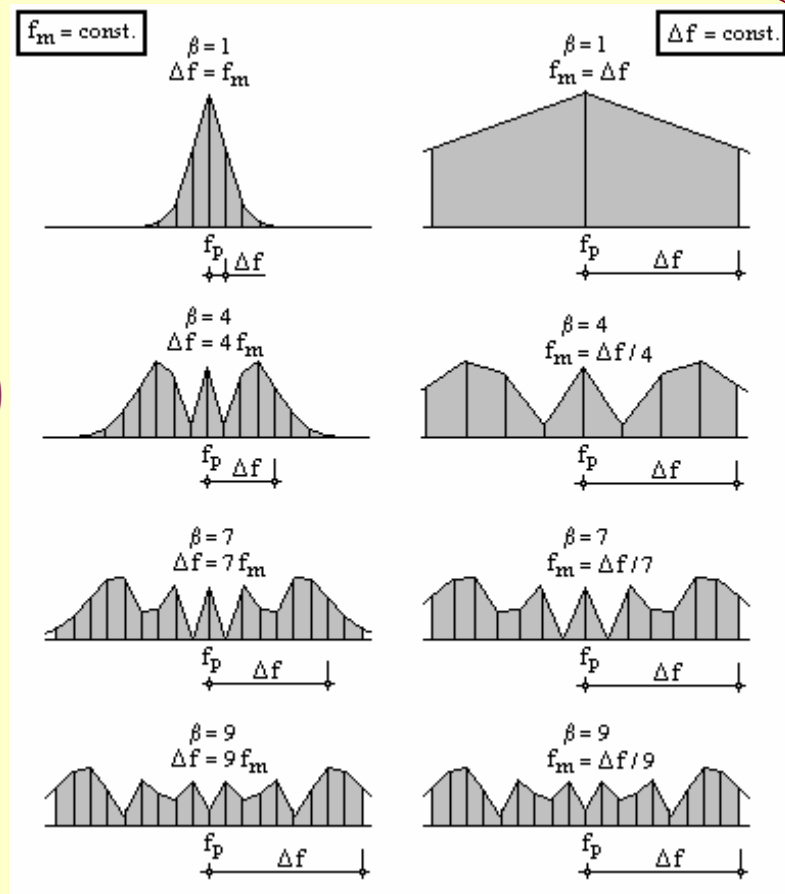


Figura 6.29. Spectrul semnalului MF.

6. SEMNALE MODULATE

6.4 Semnale modulate în faza și frecvență

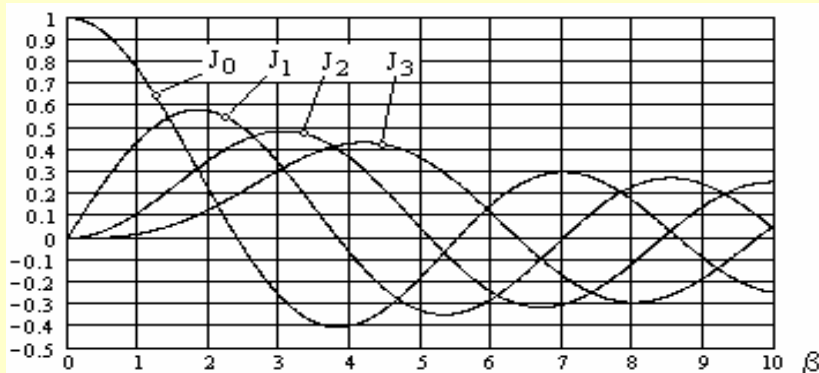


Figura 6.27. Funcții Bessel de speța I-a.

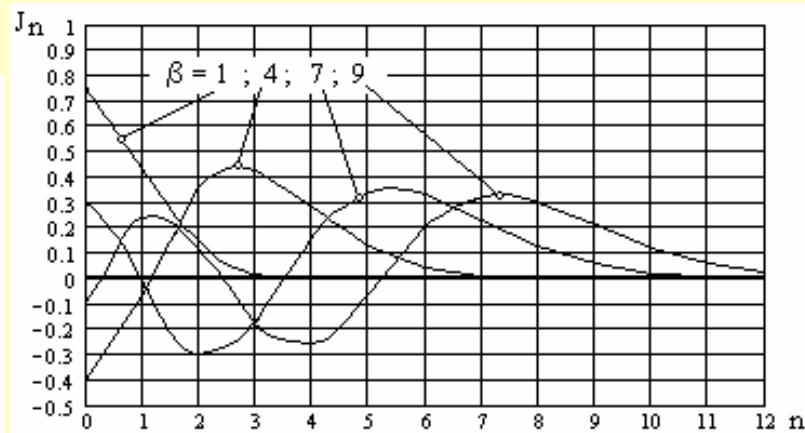


Figura 6.28. Funcții Bessel în funcție de indicii lor (n), având indicii de modulație β ca parametru.

6. SEMNALE MODULATE

6.4 Semnale modulate in faza si frecventa

SMF de banda ingusta - $\beta < 0.4$

Daca $\beta < 0.4$

atunci $J_0(\beta) \cong 1$; $J_{\pm 1}(\beta) \cong \pm \frac{\beta}{2}$; $J_n(\beta) \cong 0$, pentru $n \geq 2$

$$\text{si } x_{MF}(t) = X_p \cos(2\pi f_p t + \varphi_p) + \frac{\beta}{2} \cdot X_p \cdot \cos[2\pi(f_p + f_m)t + \varphi_p + \varphi_m] - \\ - \frac{\beta}{2} \cdot X_p \cdot \cos[2\pi(f_p - f_m)t + \varphi_p - \varphi_m]$$

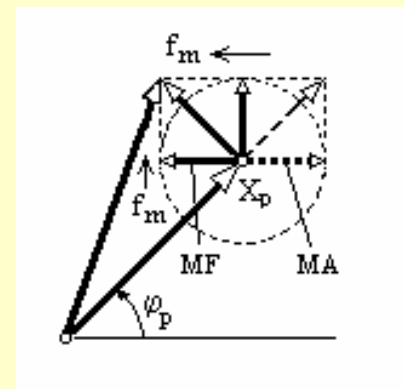


Figura 6.30. Diagramă fazorială.

6. SEMNALE MODULATE

6.4 Semnale modulate in faza si frecventa

SMF de banda larga - $\beta > 0.4$

$$B_{MF} = 2N f_m = 2(1 + \beta) f_m$$

$$B_{MF} = 2\left(1 + \beta + \sqrt{\beta}\right) f_m - \textit{relatia lui Manaev}$$

$$B_{MF} = 2(f_{m\max} + \Delta f) = 2B_m + 2\Delta f - \textit{relatia lui Carson}$$

SCS I : Teoria semnalelor

Capitolul 1. **Introducere**

Capitolul 2. **O privire generală**

Capitolul 3. **Semnale periodice**

Capitolul 4. **Semnale aperiodice**

Capitolul 5. **Semnale eşantionate**

Capitolul 6. ***Semnale modulate***

6. SEMNALE MODULATE

6.1 Consideratii generale

6.2 Modulatia in amplitudine cu purtatoare armonica

6.3 Procedee speciale de modulatie in amplitudine

6.4 Semnale modulate in faza si frecventa

6.5 Efectul perturbatiilor asupra semnalelor modulate

6. SEMNALE MODULATE

6.1 Consideratii generale

Modulatie cu semnal purtator armonic:

- semnalul purtator $x_p(t) = X_p \cdot \cos(2\pi f_p t + \varphi_p)$
- semnalul modulat $x_M(t) = X(t) \cdot \cos \Phi(t) = X(t) \cdot \cos(2\pi f_p t + \varphi(t))$
- semnalul modulator $x_m(t)$

Modulatie in amplitudine MA $X(t) \sim x_m(t), \varphi(t) = \varphi_p = cst$

Modulatie in faza MP $X(t) = X_p = cst, \varphi(t) \sim x_m(t)$

Modulatie in frecventa MF $X(t) = X_p = cst, \frac{d\varphi(t)}{dt} \sim x_m(t)$

6. SEMNALE MODULATE

6.4 Semnale modulate in faza si frecventa

6.4.1 Semnale modulate in faza (SMP)

6.4.2 Semnale modulate in frecventa (SMF)

6.4.3 Spectrul semnalelor MP sau MF

6. SEMNALE MODULATE

6.4 Semnale modulate in faza si frecventa

Semnale modulate in faza MP

$$\varphi(t) = \varphi_p + g_m(t) \Rightarrow x_{MP}(t) = X_p \cos(2\pi f_p t + \varphi_p + g_m(t))$$

Daca

$$x_m(t) = X_m \cos(2\pi f_m t + \varphi_m)$$

atunci

$$g_m(t) = \Delta\varphi \cdot \cos(2\pi f_m t + \varphi_m)$$

$$x_{MP}(t) = X_p \cos[2\pi f_p t + \varphi_p + \Delta\varphi \cdot \cos(2\pi f_m t + \varphi_m)]$$

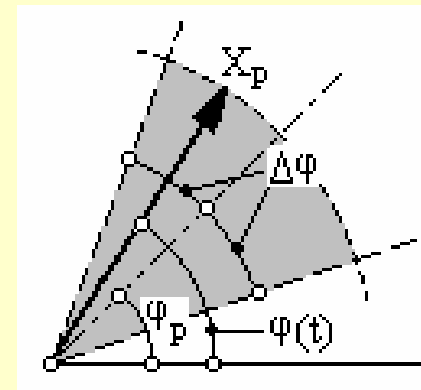


Figura 6.25. Diagrama fazorială.

6. SEMNALE MODULATE

6.4 Semnale modulate in faza si frecventa

Daca

$$x_m(t) = \sum_{k=1}^{\infty} X_{m_k} \cdot \cos(2\pi f_{m_k} t + \varphi_{m_k})$$

atunci

$$x_{MP}(t) = X_p \cdot \cos \left[2\pi f_p t + \varphi_p + \sum_{k=1}^{\infty} \Delta \varphi_{m_k} \cdot \cos(2\pi f_{m_k} t + \varphi_{m_k}) \right] \neq$$

$$\neq X_p \cdot \sum_{k=1}^{\infty} \cos \left[2\pi f_p t + \varphi_p + \Delta \varphi_{m_k} \cdot \cos(2\pi f_{m_k} t + \varphi_{m_k}) \right]$$

MP este neliniara!!!

6. SEMNALE MODULATE

6.4 Semnale modulate în faza și frecvență

Semnale modulate în frecvență MF

$$\begin{aligned}f(t) &= f_p + g_m(t) \\f(t) &= \frac{1}{2\pi} \cdot \frac{d\Phi(t)}{dt} \Rightarrow \Phi(t) = 2\pi f_p \cdot t + \varphi_p + 2\pi \int g_m(t) dt \\&\Rightarrow x_{MF}(t) = X_p \cdot \cos\left(2\pi f_p t + \varphi_p + 2\pi \int g_m(t) dt\right)\end{aligned}$$

!!! Semnalul modulat în **frecvență** cu funcția $g_m(t)$ este echivalent cu semnalul modulat în **fază** cu integrala funcției $g_m(t)$.

6. SEMNALE MODULATE

6.4 Semnale modulate in faza si frecventa

Daca

$$g_m(t) = \Delta f \cdot \cos(2\pi f_m t + \varphi_m)$$

atunci

$$x_{MF}(t) = X_p \cdot \cos \left[2\pi f_p t + \varphi_p + \frac{\Delta f}{f_m} \cdot \sin(2\pi f_m t + \varphi_m) \right]$$

$$\beta = \frac{\Delta f}{f_m} = \text{indice de modulație}$$

$$x_{MF}(t) = X_p \cdot \cos \left[2\pi f_p t + \varphi_p + \beta \cdot \sin(2\pi f_m t + \varphi_m) \right]$$

6. SEMNALE MODULATE

6.4 Semnale modulate in faza si frecventa

Daca

$$x_m(t) = \sum_{k=1}^{\infty} X_{m_k} \cdot \cos(2\pi f_{m_k} t + \varphi_{m_k})$$

atunci

$$x_{MF}(t) = X_p \cdot \cos \left[2\pi f_p t + \varphi_p + \sum_{k=1}^{\infty} \beta_{m_k} \cdot \sin(2\pi f_{m_k} t + \varphi_{m_k}) \right] \neq$$

$$\neq X_p \cdot \sum_{k=1}^{\infty} \cos \left[2\pi f_p t + \varphi_p + \beta_{m_k} \cdot \sin(2\pi f_{m_k} t + \varphi_{m_k}) \right]$$

MF este neliniara!!!

6. SEMNALE MODULATE

6.4 Semnale modulate in faza si frecventa

Modulatia in amplitudine MA = *Modulatie liniara*

**{ Modulatia in pozitie MP
 Modulatia in frecventa MF = *Modulatie neliniara***

6. SEMNALE MODULATE

6.4 Semnale modulate in faza si frecventa

Spectrul semnalelor modulate in frecventa MF

$$x_{MF}(t) = X_p \cdot \cos[2\pi f_p t + \varphi_p + \beta \cdot \sin(2\pi f_m t + \varphi_m)] = \\ = X_p \cos \alpha_p \cos(\beta \sin \alpha_m) - X_p \sin \alpha_p \sin(\beta \sin \alpha_m)$$

$$\text{unde : } \alpha_p = 2\pi f_p t + \varphi_p ; \alpha_m = 2\pi f_m t + \varphi_m$$

$$\text{Daca } \left\{ \begin{array}{l} \cos(\beta \sin \alpha_m) = J_0(\beta) + 2 \sum_{k=1}^{\infty} J_{2k}(\beta) \cdot \cos(2k\alpha_m) \\ \sin(\beta \sin \alpha_m) = 2 \sum_{k=0}^{\infty} J_{2k+1}(\beta) \cdot \sin[(2k+1)\alpha_m] \quad , \\ (-1)^i J_i(\beta) = J_{-i}(\beta) \end{array} \right.$$

$$\text{atunci } x_{MF}(t) = \sum_{n=-\infty}^{\infty} X_p J_n(\beta) \cdot \cos(2\pi(f_p + n f_m)t + \varphi_p + n\varphi_m)$$

6. SEMNALE MODULATE

6.4 Semnale modulate in faza si frecventa

$$x_{MF}(t) = \sum_{n=-\infty}^{\infty} X_p J_n(\beta) \cos(2\pi(f_p + nf_m)t + \varphi_p + n\varphi_m)$$

$$P_{MF} = P_{MP} = P_p = \frac{1}{2} X_p^2$$

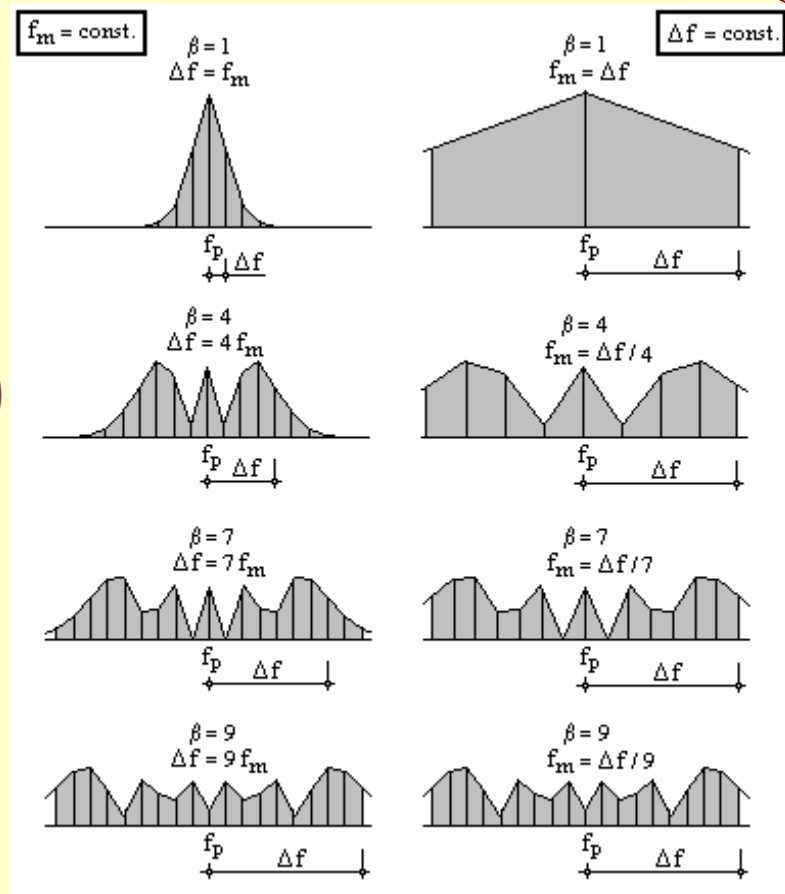


Figura 6.29. Spectrul semnalului MF.

6. SEMNALE MODULATE

6.4 Semnale modulate în faza și frecvență

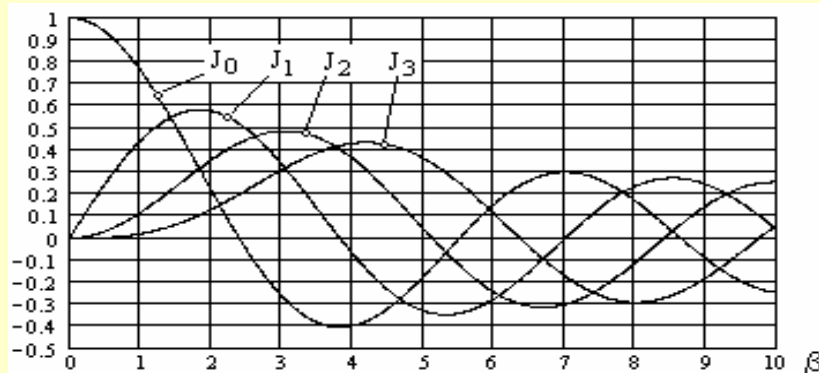


Figura 6.27. Funcții Bessel de speța I-a.

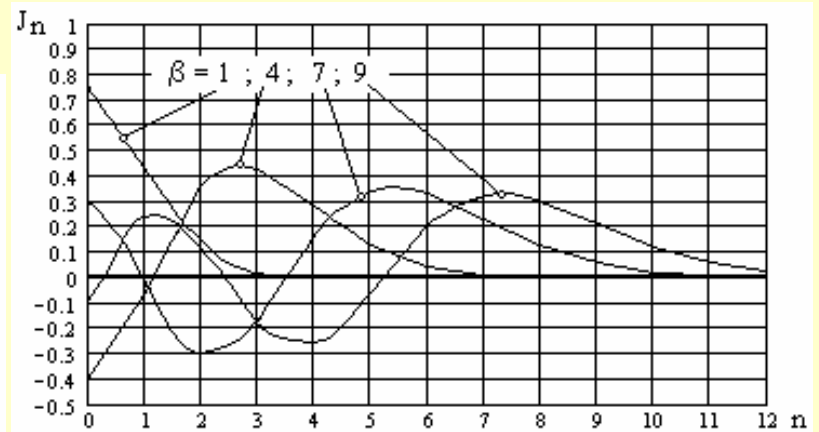


Figura 6.28. Funcții Bessel în funcție de indicii lor (n), având indicii de modulație β ca parametru.

6. SEMNALE MODULATE

6.4 Semnale modulate in faza si frecventa

SMF de banda ingusta - $\beta < 0.4$

Daca $\beta < 0.4$

atunci $J_0(\beta) \cong 1$; $J_{\pm 1}(\beta) \cong \pm \frac{\beta}{2}$; $J_n(\beta) \cong 0$, pentru $n \geq 2$

$$\text{si } x_{MF}(t) = X_p \cos(2\pi f_p t + \varphi_p) + \frac{\beta}{2} \cdot X_p \cdot \cos[2\pi(f_p + f_m)t + \varphi_p + \varphi_m] - \\ - \frac{\beta}{2} \cdot X_p \cdot \cos[2\pi(f_p - f_m)t + \varphi_p - \varphi_m]$$

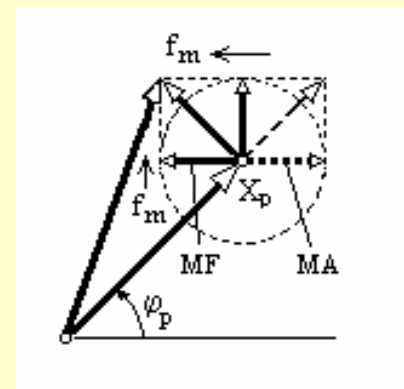


Figura 6.30. Diagramă fazorială.

6. SEMNALE MODULATE

6.4 Semnale modulate în fază și frecvență

SMF de bandă largă - $\beta > 0.4$

$$B_{MF} = 2N f_m = 2(1 + \beta) f_m$$

$$B_{MF} = 2\left(1 + \beta + \sqrt{\beta}\right) f_m - \text{relatia lui Manaev}$$

$$B_{MF} = 2(f_{m\max} + \Delta f) = 2B_m + 2\Delta f - \text{relatia lui Carson}$$